Soluções de Exercícios: EUF

De Nerdyard

Olá! Esse artigo está sendo escrito no sentido de auxiliar qualquer estudante de graduação que queira se preparar para um exame de pós-graduação. Eu tentei usar outras ferramentas baseadas no Latex, mas elas se provaram menos eficientes para o meu propósito.

Apenas para avisar: se for encontrado algum erro, notifiquem-me na página de discussão ou editem a correção, por favor.

Então vamos ao que interessa.

Tabela de conteúdo

- 1 EUF 2008/1
 - 1.1 Questão 9
- 2 EUF 2008/2
 - 2.1 Questão 2
 - 2.2 Questão 4
 - 2.3 Questão 6
- 3 EUF 2009/2
 - 3.1 Questão 1
 - 3.2 Questão 2
 - 3.3 Questão 3
 - 3.4 Questão 4
 - 3.5 Questão 5
 - 3.6 Questão 7
 - 3.7 Questão 8
- 4 EUF 2010/1
 - 4.1 Questão 2
 - 4.2 Questão 4
 - 4.3 Questão 5
 - 4.4 Questão 7
- 5 EUF 2010/2
 - 5.1 Questão 1
 - 5.2 Questão 3
 - 5.3 Questão 8
- 6 EUF 2011/1
 - 6.1 Questão 3
 - 6.2 Questão 6
 - 6.3 Questão 8
 - 6.4 Questão 9
 - 6.5 Questão 10
- 7 EUF 2011/2
 - 7.1 Questão 8
 - 7.2 Questão 9
 - 7.3 Questão 10
- 8 EUF 2012/1
 - 8.1 Questão 1
 - 8.2 Questão 4
- 9 Formulário
 - 9.1 Constantes Físicas
 - 9.2 Constantes Numéricas
 - 9.3 Mecânica Clássica
 - 9.4 Eletromagnetismo

EUF - 2008/1

Questão 9

O modelo de Einstein para a capacidade térmica de sólidos equivale a um conjunto de 3N osciladores quânticos unidimensionais localizados de mesma frequência angular ω . As possíveis energias de um oscilador são dadas por:

 $E = \hbar\omega(n+1/2) \text{ com } n \in \mathbb{N}$

a) Compute a função de partição Z e a energia interna U do sistema de 3N osciladores como funções da temperatura.

b) Calcule a entropia S e a capacidade térmica C do sistema como funções da temperatura.

c) Determine os limites de C para baixas e altas temperaturas e esboce o gráfico dessa grandeza como função da temperatura.

Solução:

a) A função de partição é dada por:

$$Z = \frac{z_0^{3N}}{(3N)!}$$

Sendo zo a função de partição de um único oscilador. Assim:

$$z_0 = \sum_r e^{-\beta E_r} = \sum_{n=0}^{\infty} e^{-\beta \hbar \omega (n+1/2)} = \frac{e^{-\beta \hbar \omega /2}}{1 - e^{-\beta \hbar \omega}}$$

Logo:

$$Z = \frac{1}{(3N)!} \left(\frac{e^{-\beta\hbar\omega/2}}{1 - e^{-\beta\hbar\omega}} \right)^{3N} = \frac{1}{(3N)!} \left(\frac{e^{-\hbar\omega/2kT}}{1 - e^{-\hbar\omega/kT}} \right)^{3N}$$

já que
$$\beta = \frac{1}{kT}$$
.

Já a energia média, U, é dada por:

$$U = -\frac{\partial \ln(Z)}{\partial \beta} = -3N \frac{\partial \ln(z_0)}{\partial \beta} - \frac{\partial \ln((3N)!)}{\partial \beta} = 3N \frac{\partial}{\partial \beta} \left(\frac{\beta \hbar \omega}{2} + \ln(1 - e^{-\beta \hbar \omega}) \right) = 3N \frac{\hbar \omega}{2} + 3N \frac{\hbar \omega e^{-\beta \hbar \omega}}{1 - e^{-\beta \hbar \omega}} = 3N \hbar \omega \left(\frac{1}{2} + \frac{1}{e^{\beta \hbar \omega} - 1} \right) = 3N \hbar \omega \left(\frac{1}{2} + \frac{1}{e^{\hbar \omega/kT} - 1} \right) = 3N \hbar \omega \left(\frac{1}{2} + \frac{1}{e^{\hbar \omega/kT} - 1} \right) = 3N \hbar \omega \left(\frac{1}{2} + \frac{1}{e^{\hbar \omega/kT} - 1} \right) = 3N \hbar \omega \left(\frac{1}{2} + \frac{1}{e^{\hbar \omega/kT} - 1} \right) = 3N \hbar \omega \left(\frac{1}{2} + \frac{1}{e^{\hbar \omega/kT} - 1} \right) = 3N \hbar \omega \left(\frac{1}{2} + \frac{1}{e^{\hbar \omega/kT} - 1} \right) = 3N \hbar \omega \left(\frac{1}{2} + \frac{1}{e^{\hbar \omega/kT} - 1} \right) = 3N \hbar \omega \left(\frac{1}{2} + \frac{1}{e^{\hbar \omega/kT} - 1} \right) = 3N \hbar \omega \left(\frac{1}{2} + \frac{1}{e^{\hbar \omega/kT} - 1} \right) = 3N \hbar \omega \left(\frac{1}{2} + \frac{1}{e^{\hbar \omega/kT} - 1} \right) = 3N \hbar \omega \left(\frac{1}{2} + \frac{1}{e^{\hbar \omega/kT} - 1} \right) = 3N \hbar \omega \left(\frac{1}{2} + \frac{1}{e^{\hbar \omega/kT} - 1} \right) = 3N \hbar \omega \left(\frac{1}{2} + \frac{1}{e^{\hbar \omega/kT} - 1} \right) = 3N \hbar \omega \left(\frac{1}{2} + \frac{1}{e^{\hbar \omega/kT} - 1} \right) = 3N \hbar \omega \left(\frac{1}{2} + \frac{1}{e^{\hbar \omega/kT} - 1} \right) = 3N \hbar \omega \left(\frac{1}{2} + \frac{1}{e^{\hbar \omega/kT} - 1} \right) = 3N \hbar \omega \left(\frac{1}{2} + \frac{1}{e^{\hbar \omega/kT} - 1} \right) = 3N \hbar \omega \left(\frac{1}{2} + \frac{1}{e^{\hbar \omega/kT} - 1} \right) = 3N \hbar \omega \left(\frac{1}{2} + \frac{1}{e^{\hbar \omega/kT} - 1} \right) = 3N \hbar \omega \left(\frac{1}{2} + \frac{1}{e^{\hbar \omega/kT} - 1} \right) = 3N \hbar \omega \left(\frac{1}{2} + \frac{1}{e^{\hbar \omega/kT} - 1} \right) = 3N \hbar \omega \left(\frac{1}{2} + \frac{1}{e^{\hbar \omega/kT} - 1} \right) = 3N \hbar \omega \left(\frac{1}{2} + \frac{1}{e^{\hbar \omega/kT} - 1} \right) = 3N \hbar \omega \left(\frac{1}{2} + \frac{1}{e^{\hbar \omega/kT} - 1} \right) = 3N \hbar \omega \left(\frac{1}{2} + \frac{1}{e^{\hbar \omega/kT} - 1} \right) = 3N \hbar \omega \left(\frac{1}{2} + \frac{1}{e^{\hbar \omega/kT} - 1} \right) = 3N \hbar \omega \left(\frac{1}{2} + \frac{1}{e^{\hbar \omega/kT} - 1} \right) = 3N \hbar \omega \left(\frac{1}{2} + \frac{1}{e^{\hbar \omega/kT} - 1} \right) = 3N \hbar \omega \left(\frac{1}{2} + \frac{1}{e^{\hbar \omega/kT} - 1} \right) = 3N \hbar \omega \left(\frac{1}{2} + \frac{1}{e^{\hbar \omega/kT} - 1} \right) = 3N \hbar \omega \left(\frac{1}{2} + \frac{1}{e^{\hbar \omega/kT} - 1} \right) = 3N \hbar \omega \left(\frac{1}{2} + \frac{1}{e^{\hbar \omega/kT} - 1} \right) = 3N \hbar \omega \left(\frac{1}{2} + \frac{1}{e^{\hbar \omega/kT} - 1} \right) = 3N \hbar \omega \left(\frac{1}{2} + \frac{1}{e^{\hbar \omega/kT} - 1} \right) = 3N \hbar \omega \left(\frac{1}{2} + \frac{1}{e^{\hbar \omega/kT} - 1} \right) = 3N \hbar \omega \left(\frac{1}{2} + \frac{1}{e^{\hbar \omega/kT} - 1} \right) = 3N \hbar \omega \left(\frac{1}{2} + \frac{1}{e^{\hbar \omega/kT} - 1} \right) = 3N \hbar \omega \left(\frac{1}{2} + \frac{1}{e^{\hbar \omega/kT} - 1} \right) = 3N \hbar \omega \left(\frac{1}{2} + \frac{1}{e^{\hbar \omega/kT} - 1} \right) = 3N \hbar \omega \left(\frac{1}{2} + \frac{1}{e^{\hbar \omega/$$

b) Para obtermos a entropia basta calcular:

$$S = k(\ln(Z) + \beta U) = 3Nk\beta\hbar\omega \left(\frac{1}{2} + \frac{1}{e^{\beta\hbar\omega} - 1}\right) - \frac{3Nk\beta\hbar\omega}{2} - 3Nk\ln(1 - e^{-\beta\hbar\omega}) - k\ln((3N)!) \approx 3Nk\left(\frac{\beta\hbar\omega}{e^{\beta\hbar\omega} - 1} - \ln(3N) + 1 - \ln(1 - e^{-\beta\hbar\omega})\right)$$

$$= 3Nk\left(\frac{\beta\hbar\omega}{e^{\beta\hbar\omega} - 1} + 1 - \ln(3N(1 - e^{-\beta\hbar\omega}))\right) = 3N\left(\frac{\hbar\omega}{T(e^{\hbar\omega/kT} - 1)} - k\ln(3N(1 - e^{-\hbar\omega/kT})) + k\right)$$

Já a capacidade térmica é dada por:

$$C = \frac{\partial U}{\partial T} = \left(\frac{\partial \beta}{\partial T}\right) \frac{\partial U}{\partial \beta} = \frac{3Nk(\beta\hbar\omega)^2 e^{\beta\hbar\omega}}{(e^{\beta\hbar\omega}-1)^2} = 3Nk \left(\frac{\hbar\omega}{kT}\right)^2 \frac{e^{\hbar\omega/kT}}{(e^{\hbar\omega/kT}-1)^2}$$

c) Vou fazer primeiro o gráfico para eta pois possui uma análise mais simples. Depois faço o gráfico para T:

Para $\beta \to 0$ (ou $T \to \infty$) podemos realizar a seguinte aproximação:

$$C \approx 3Nk \frac{(\beta\hbar\omega)^2}{(1+\beta\hbar\omega-1)^2} = 3Nk$$

Para $\beta \to \infty$ (ou $T \to 0^+$) podemos realizar a seguinte aproximação:

$$C \approx 3Nk(\beta\hbar\omega)^2 e^{-\beta\hbar\omega}$$

Para visualizar, veja o gráfico ao lado.

EUF - 2008/2

Questão 2

Considere um pêndulo plano formado por uma haste inexpensível de comprimento 1 e massa desprezível tendo na sua extremidade uma partícula pontual de massa m .

- a) Escreva as equações de movimento da partícula em coordenadas polares $\,r\,$ e $\,\theta\,$.
- b) Suponha que o pêndulo seja lançado de $\theta(0) = \theta_0$ com $\theta(0) = 0$. Calcule o valor máximo que a tensão na haste atinge durante o movimento.
- c) Encontre $\theta(t)$ na aproximação de pequenas oscilações supondo $\theta(0) = \theta_0$ e $\theta(0) = 0$.
- d) Esboce um gráfico mostrando como o período do movimento da partícula varia com a sua energia.

Solução:

$$T = \frac{m\dot{r}^2}{2} + \frac{mr^2\dot{\theta}^2}{2}; V = mgr(1 - \cos(\theta))$$

Logo:

$$\mathcal{L} = T - V = \frac{m\dot{r}^2}{2} + \frac{mr^2\dot{\theta}^2}{2} - mgr(1 - \cos(\theta))$$

Suporei que a partícula possui massa constante.

a) As equações de movimento são:

$$\frac{\mathrm{d}}{\mathrm{d}t} \left(\frac{\partial \mathcal{L}}{\partial \dot{r}} \right) - \frac{\partial \mathcal{L}}{\partial r} = 0$$

$$\frac{\mathrm{d}}{\mathrm{d}t} \left(\frac{\partial \mathcal{L}}{\partial \dot{r}} \right) - \frac{\partial \mathcal{L}}{\partial r} = 0$$

$$\frac{\mathrm{d}}{\mathrm{d}t} \left(\frac{\partial \mathcal{L}}{\partial \dot{\theta}} \right) - \frac{\partial \mathcal{L}}{\partial \theta} = 0$$

Como:

$$\frac{\mathrm{d}}{\mathrm{d}t} \left(\frac{\partial \mathcal{L}}{\partial \dot{r}} \right) = \frac{\mathrm{d}}{\mathrm{d}t} (m\dot{r}) = m\ddot{r} ; \frac{\partial \mathcal{L}}{\partial r} = mr^2 \dot{\theta}^2 - mg(1 - \cos(\theta))$$

Temos a equação de movimento em relação a r:

$$m\ddot{r} - mr^2\dot{\theta}^2 + mg(1 - \cos(\theta)) = 0 \Rightarrow \ddot{r} - r^2\dot{\theta}^2 + g(1 - \cos(\theta)) = 0$$

E como:

$$\frac{\mathrm{d}}{\mathrm{d}t} \left(\frac{\partial \mathcal{L}}{\partial \dot{\theta}} \right) = \frac{\mathrm{d}}{\mathrm{d}t} (mr^2 \dot{\theta}) = mr^2 \ddot{\theta} + 2mr \dot{r} \dot{\theta} ; \frac{\partial \mathcal{L}}{\partial \theta} = -mgrsen(\theta)$$

Temos a equação de movimento em relação a θ :

$$mr^2\ddot{\theta} + 2mr\dot{r}\dot{\theta} + mgrsen(\theta) = 0 \Rightarrow r^2\ddot{\theta} + 2r\dot{r}\dot{\theta} + grsen(\theta) = 0$$

Como $r=l; \dot{r}=0$, temos:

$$ml^2\ddot{\theta} + mglsen(\theta) = 0 \Rightarrow \ddot{\theta} + \frac{g}{l}sen(\theta) = 0$$

c) Utilizando os vínculos $(r = l; \dot{r} = 0)$ nas equações de movimento, vemos que uma delas se torna familiar no caso de pequenas oscilações:

$$r^2\ddot{\theta} + 2r\dot{r}\dot{\theta} + grsen(\theta) = 0 \Rightarrow_{Vinculos} l^2\ddot{\theta} + glsen(\theta) = 0 \Rightarrow \ddot{\theta} + \frac{g}{l}sen(\theta) = 0$$

Para $\theta << 1$ vale a aproximação:

$$sen(\theta) = \sum_{n=0}^{\infty} \frac{\theta^{2n+1}}{(2n+1)!} = \theta + \frac{\theta^3}{3!} + \frac{\theta^5}{5!} + (\cdots) \approx \theta$$

Logo:

$$\ddot{\theta} + \frac{g}{1}sen(\theta) = 0 \Rightarrow \ddot{\theta} + \frac{g}{1}\theta = \ddot{\theta} + \omega^2\theta = 0$$

Que é a equação do oscilador harmônico, cuja freqüência é dada por:

$$\omega = \sqrt{\frac{g}{l}}$$

A solução da equação diferencial:

$$\ddot{\theta} + \omega^2 \theta = 0$$

É dada por:

$$\theta(t) = A\cos(\omega t + \varphi)$$

Com A e φ constantes fixadas pelas condições iniciais. Para demonstrar que esta é a solução, basta testarmos:

$$\ddot{\theta} + \omega^2 \theta = \frac{\mathrm{d}^2}{\mathrm{d}t^2} A \cos(\omega t + \varphi) + \omega^2 A \cos(\omega t + \varphi) = -\omega \frac{\mathrm{d}}{\mathrm{d}t} A \sin(\omega t + \varphi) + \omega^2 A \cos(\omega t + \varphi) = -A\omega^2 \cos(\omega t + \varphi) + \omega^2 A \cos(\omega t + \varphi) = 0$$

Portanto a função dada é solução da equação acima.

Quanto às constantes, fixemo-las a partir das condições iniciais e tomando $0 \le \varphi < 2\pi$:

$$\theta(0) = A\cos(\varphi) = \theta_0 \Rightarrow A = \frac{\theta_0}{\cos(\varphi)}; \dot{\theta}(0) = -\omega A \sin(\varphi) = -\frac{\omega \theta_0}{\cos(\varphi)} \sin(\varphi) = -\theta_0 \omega \tan(\varphi) = 0 \Rightarrow \varphi = 0 \Rightarrow A = \theta_0$$

$$\theta(t) = \theta_0 cos(\omega t)$$

d) Como:

$$\omega = \sqrt{\frac{g}{l}}$$

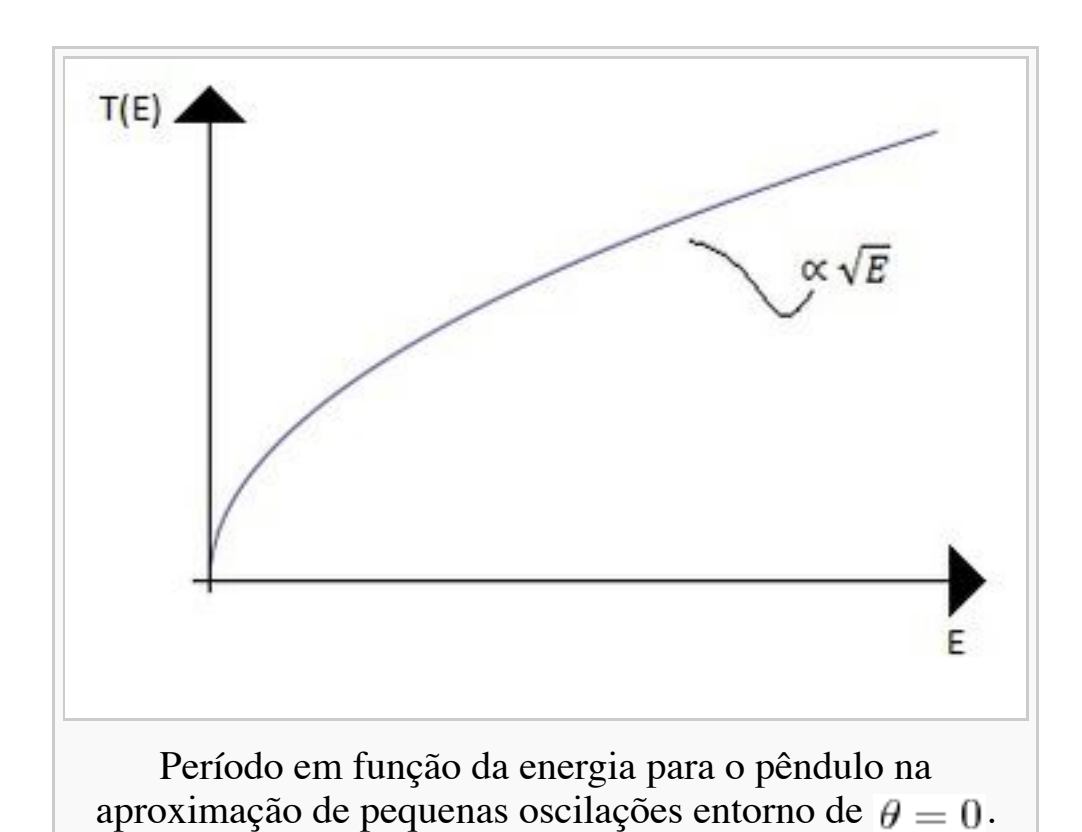
A energia total do sistema é dada por - se expressar esta em termos das variáveis especificadas nas condições iniciais:

$$E = mgl(1 - cos(\theta_0)) \Rightarrow l = \frac{E}{mg(1 - cos(\theta_0))}$$

Logo, como $\omega = \frac{2\pi}{T}$, temos como espressar o período como função da energia E:

$$T = 2\pi \sqrt{\frac{E}{g^2 m (1 - \cos(\theta_0))}} \approx 2\pi \sqrt{\frac{2E}{g^2 m \theta_0^2}}$$

Que nos fornece o gráfico abaixo:



Questão 4

O Hamiltoniano:

$$H = \frac{\omega}{\hbar} (L_x^2 - L_y^2)$$

oferece uma boa aproximação para descrever os estados quânticos de um sistema com momento angular l=1 colocado num gradiente de campo elétrico. Na expressão do Hamiltoniano, L_x e L_y são as componentes x e y do operador momento angular orbital \vec{L} e ω é uma constante real. Os autoestados $|-1\rangle$, $|0\rangle$ e $|1\rangle$ e L_x com autovalores $-\hbar$, 0, \hbar formam uma base do espaço de estados desse sistema.

- a) Escreva a matriz que representa H na base de L_z citada acima.
- b) Encontre os autovalores de H e os correspondentes autovetores na base de L_z , citada acima.
- c) Suponha que no instante t = 0 o sistema se encontre no estado

$$|\Psi(0)\rangle = \frac{|1\rangle - |-1\rangle}{\sqrt{2}}$$

Qual é a probabilidade de se encontrar \hbar numa medida de L_z num instante de tempo posterior t?

Solução:

a) Sabemos que:

$$L_{+} = L_{x} + iL_{y}; L_{-} = L_{x} - iL_{y}$$

Portanto
$$L_x = \frac{L_+ + L_-}{2}$$
; $L_y = \frac{L_+ - L_-}{2i}$

Sabemos, também, que:

$$L_{+}|l,m\rangle = \hbar\sqrt{l(l+1) - m(m+1)}|l,m+1\rangle$$

$$L_{-}|l,m\rangle = \hbar \sqrt{l(l+1) - m(m-1)}|l,m-1\rangle$$

Logo, como para l = 1, os estados possíveis são:

$$|1,1\rangle$$
; $|1,0\rangle$ e $|1,-1\rangle$

Dessa forma:

$$L_{+}|1,1\rangle = \hbar\sqrt{1(1+1)-1(1+1)}|1,2\rangle = 0|1,2\rangle$$

$$L_{+}|1,0\rangle = \hbar\sqrt{1(1+1) - 0(0+1)}|1,1\rangle = \hbar\sqrt{2}|1,1\rangle$$

$$L_{+}|1,-1\rangle = \hbar\sqrt{1(1+1)-(-1)(-1+1)}|1,0\rangle = \hbar\sqrt{2}|1,0\rangle$$

Portanto os elementos de matriz não nulos são:

$$\langle 1,1|L_+|1,0\rangle=\hbar\sqrt{2}\langle 1,1|1,1\rangle=\hbar\sqrt{2}$$

$$\langle 1,0|L_+|1,-1\rangle=\hbar\sqrt{2}\langle 1,0|1,0\rangle=\hbar\sqrt{2}$$

Sendo todos os outros elementos de matriz nulos, incluindo:

 $\langle 1, 1|L_{+}|1, 1\rangle = 0\langle 1, 1|1, 2\rangle = 0$

Dessa forma fazemos a identificação:

$$L_{+} \rightarrow \begin{bmatrix} \langle 1, 1|L_{+}|1, 1\rangle & \langle 1, 1|L_{+}|1, 0\rangle & \langle 1, 1|L_{+}|1, -1\rangle \\ \langle 1, 0|L_{+}|1, 1\rangle & \langle 1, 0|L_{+}|1, 0\rangle & \langle 1, 0|L_{+}|1, -1\rangle \end{bmatrix} = \begin{bmatrix} 0 & \hbar\sqrt{2} & 0 \\ 0 & 0 & \hbar\sqrt{2} \\ 0 & 0 & 0 \end{bmatrix}$$

Analogamente:

$$L_{-}|1,1\rangle = \hbar\sqrt{1(1+1)-1(1-1)}|1,0\rangle = \hbar\sqrt{2}|1,0\rangle$$

 $L_{-}|1,0\rangle = \hbar\sqrt{1(1+1)-0(0-1)}|1,-1\rangle = \hbar\sqrt{2}|1,-1\rangle$

$$L_{-}|1,-1\rangle = \hbar\sqrt{1(1+1)-(-1)(-1-1)}|1,-2\rangle = 0|1,-2\rangle$$

$$L=|1, 1\rangle = n\sqrt{1(1+1)}$$
 (1)(1-1)|1, $L=|1|$

Portanto os elementos de matriz não nulos são:

$$\langle 1, 0|L_-|1, 1\rangle = \hbar\sqrt{2}\langle 1, 0|1, 0\rangle = \hbar\sqrt{2}$$

$$\langle 1, -1|L_{-}|1, 0\rangle = \hbar\sqrt{2}\langle 1, -1|1, -1\rangle = \hbar\sqrt{2}$$

Sendo todos os outros elementos de matriz nulos, incluindo:

$$\langle 1, -1|L_{-}|1, -1\rangle = 0\langle 1, -1|1, -2\rangle = 0$$

Dessa forma fazemos a identificação:

$$L_{-} \rightarrow \begin{bmatrix} \langle 1, 1|L_{-}|1, 1\rangle & \langle 1, 1|L_{-}|1, 0\rangle & \langle 1, 1|L_{-}|1, -1\rangle \\ \langle 1, 0|L_{-}|1, 1\rangle & \langle 1, 0|L_{-}|1, 0\rangle & \langle 1, 0|L_{-}|1, -1\rangle \end{bmatrix} = \begin{bmatrix} 0 & 0 & 0 \\ \hbar\sqrt{2} & 0 & 0 \\ 0 & \hbar\sqrt{2} & 0 \end{bmatrix}$$

Logo:

$$L_{x} = \frac{L_{+} + L_{-}}{2} \to \frac{1}{2} \begin{bmatrix} 0 & \hbar\sqrt{2} & 0 \\ 0 & 0 & \hbar\sqrt{2} \\ 0 & 0 & 0 \end{bmatrix} + \frac{1}{2} \begin{bmatrix} 0 & 0 & 0 \\ \hbar\sqrt{2} & 0 & 0 \\ 0 & \hbar\sqrt{2} & 0 \end{bmatrix} = \frac{1}{2} \begin{bmatrix} 0 & \hbar\sqrt{2} & 0 \\ \hbar\sqrt{2} & 0 & \hbar\sqrt{2} \\ 0 & \hbar\sqrt{2} & 0 \end{bmatrix} = \frac{\hbar}{\sqrt{2}} \begin{bmatrix} 0 & 1 & 0 \\ 1 & 0 & 1 \\ 0 & 1 & 0 \end{bmatrix}$$

$$L_{y} = \frac{L_{+} - L_{-}}{2i} \to \frac{1}{2i} \begin{bmatrix} 0 & \hbar\sqrt{2} & 0 \\ 0 & 0 & \hbar\sqrt{2} \\ 0 & 0 & 0 \end{bmatrix} - \frac{1}{2i} \begin{bmatrix} 0 & 0 & 0 \\ \hbar\sqrt{2} & 0 & 0 \\ 0 & \hbar\sqrt{2} & 0 \end{bmatrix} = \frac{1}{2i} \begin{bmatrix} 0 & \hbar\sqrt{2} & 0 \\ -\hbar\sqrt{2} & 0 & \hbar\sqrt{2} \\ 0 & -\hbar\sqrt{2} & 0 \end{bmatrix} = \frac{\hbar}{\sqrt{2}} \begin{bmatrix} 0 & i & 0 \\ -i & 0 & i \\ 0 & -i & 0 \end{bmatrix}$$

Portanto:

$$H = \frac{\omega}{\hbar} \frac{\hbar^2}{2} \left(\begin{bmatrix} 0 & 1 & 0 \\ 1 & 0 & 1 \\ 0 & 1 & 0 \end{bmatrix} \cdot \begin{bmatrix} 0 & 1 & 0 \\ 1 & 0 & 1 \\ 0 & 1 & 0 \end{bmatrix} - \begin{bmatrix} 0 & i & 0 \\ -i & 0 & i \\ 0 & -i & 0 \end{bmatrix} \cdot \begin{bmatrix} 0 & i & 0 \\ -i & 0 & i \\ 0 & -i & 0 \end{bmatrix} \right) = \frac{\hbar\omega}{2} \left(\begin{bmatrix} 1 & 0 & 1 \\ 0 & 2 & 0 \\ 1 & 0 & 1 \end{bmatrix} - \begin{bmatrix} 1 & 0 & -1 \\ 0 & 2 & 0 \\ -1 & 0 & 1 \end{bmatrix} \right) = \hbar\omega \begin{bmatrix} 0 & 0 & 1 \\ 0 & 0 & 0 \\ 1 & 0 & 0 \end{bmatrix}$$

b) Para calcular os autovalores de H basta efetuar:

$$\det \begin{pmatrix} -\lambda & 0 & \hbar\omega \\ 0 & -\lambda & 0 \\ \hbar\omega & 0 & -\lambda \end{pmatrix} = 0 = (-\lambda)^3 + \lambda (\hbar\omega)^2 \Rightarrow \lambda^3 - \lambda (\hbar\omega)^2 = 0 \Rightarrow \lambda (\lambda - \hbar\omega)(\lambda + \hbar\omega) = 0$$

Portanto os autovalores dessa matriz são:

$$\lambda_{+} = \hbar \omega$$
; $\lambda_{0} = 0$; $\lambda_{-} = -\hbar \omega$

Quanto aos autovetores para calculá-los basta efetuar:

$$H|\Psi\rangle = \lambda |\Psi\rangle \rightarrow \hbar\omega \begin{bmatrix} 0 & 0 & 1 \\ 0 & 0 & 0 \\ 1 & 0 & 0 \end{bmatrix} \begin{bmatrix} a \\ b \\ c \end{bmatrix} = \lambda \begin{bmatrix} a \\ b \\ c \end{bmatrix} = \hbar\omega \begin{bmatrix} c \\ 0 \\ a \end{bmatrix} \therefore \frac{\lambda}{\hbar\omega} a = c; \frac{\lambda}{\hbar\omega} c = a; \frac{\lambda}{\hbar\omega} b = 0$$

Se $\lambda = \hbar \omega$: a = c; c = a; b = 0, de forma que o autovetor é dado por:

$$\begin{bmatrix} a \\ 0 \\ a \end{bmatrix} \xrightarrow{normalizando} \begin{bmatrix} \frac{1}{\sqrt{2}} \\ 0 \\ \frac{1}{\sqrt{2}} \end{bmatrix} \equiv |+_{H}\rangle$$

Se $\lambda = 0$: 0 = c; 0 = a; $b \in arbitr ario$, de forma que o autovetor é dado por:

$$\begin{bmatrix} 0 \\ b \\ 0 \end{bmatrix} \xrightarrow{normalizando} \begin{bmatrix} 0 \\ 1 \\ 0 \end{bmatrix} \equiv |0_H\rangle$$

Se $\lambda = -\hbar\omega$: -a = c; -c = a; -b = 0, de forma que o autovetor é dado por:

$$\begin{bmatrix} -a \\ 0 \\ a \end{bmatrix} \xrightarrow{normalizando} \begin{bmatrix} \frac{1}{\sqrt{2}} \\ 0 \\ -\frac{1}{\sqrt{2}} \end{bmatrix} \equiv |-_H\rangle$$

c) Como:

$$|\Psi(0)\rangle = \frac{|1\rangle - |-1\rangle}{\sqrt{2}} = |-_H\rangle$$

é autoestado de ${\it H}$, logo sua evolução temporal será:

$$|\Psi(t)\rangle = e^{i\omega t}|-H\rangle$$

Logo, a probabilidade de se encontrar \hbar numa medida de L_z - que na realidade é obter |1
angle - será:

$$\mathcal{P}(t) = |\langle 1|\Psi(t)\rangle|^2 = |e^{i\omega t}\langle 1|-_H\rangle|^2 = |\langle 1|-_H\rangle|^2 = \left|\frac{1}{\sqrt{2}}\right|^2 = \frac{1}{2} = 0, 5 = 50\%$$

Questão 6

Um cilindro muito longo de raio R fabricado com um material isolante cuja constante dielétrico é $K=rac{\epsilon}{\epsilon_0}$ e que possui uma densidade de carga livre cilindricamente simétrica, mas não uniforme ho(r).

- a) Determine ho(r) tal que o campo elétrico dentro do cilindro seja radial apontando para fora do mesmo e com módulo constante E_0 .
- b) Para a densidade de carga determinada em a), calcule o campo elétrico $\vec{E}(\vec{r})$ fora do cilindro.
- c) Se o cilindro for então envolvido por uma casca cilíndrica condutora neutra, concêntrica com relação ao cilindro, de raio interno a com a > R e raio externo b com b > a -, determine as densidades de carga induzidas nas superfícies da casca condutora.
- d) Para a situação do item c), esboce um gráfico do módulo do campo elétrico E(r) em função da distância ao eixo do cilíndro, em todo o espaço.

Solução:

a) Usando como superfície um cilindro concêntrico de raio r - tal que este seja menor que R - e altura h, temos, pela lei de Gauss, ignorando o caráter finito do cilindro:

$$\oint \vec{E}(\vec{r}) \cdot d\vec{S} = \frac{q_{int}}{\epsilon}$$

Utilizando $d\vec{S} = dA\hat{r}$.

I ogo:

$$\oint \vec{E}(\vec{r}) \cdot \mathrm{d}\vec{S} = \frac{q_{int}}{\epsilon} = 2\pi r h |\vec{E}(\vec{r})| = \frac{1}{K\epsilon_0} \int_0^r \int_0^h \int_0^{2\pi} \rho(r') \, \mathrm{d}^3r' = \frac{1}{K\epsilon_0} \int_0^r \int_0^h \int_0^{2\pi} \rho(r') \, r' \, \mathrm{d}\theta' \, \mathrm{d}z' \, \mathrm{d}r' = \frac{2\pi h}{K\epsilon_0} \int_0^r \rho(r') \, r' \, \mathrm{d}r'$$

Portanto:

$$|\vec{E}(\vec{r})| = \frac{1}{K\epsilon_0 r} \int_0^r \rho(r') r' dr'$$

Como desejamos que $\left.
ho(r') \right| |ec{E}| = E_0, \, \forall r \in [0,R]$, temos:

$$|\vec{E}(\vec{r})| = E_0 = \frac{1}{K\epsilon_0 r} \int_0^r \rho(r') \, r' \, \mathrm{d}r' \Rightarrow E_0 K\epsilon_0 r = \alpha r = \int_0^r \rho(r') \, r' \, \mathrm{d}r'$$

Sabemos que:

$$\int_{0}^{r} \alpha \, dr' = \alpha r' \Big|_{0}^{r} = \alpha r$$

Logo:

$$\rho(r') r' = \alpha \Rightarrow \rho(r') = \frac{\alpha}{r'} = \frac{E_0 K \epsilon_0}{r'}$$

b) Como a carga interna é:

$$q_{int} = \int_0^R \int_0^h \int_0^{2\pi} \rho(r) \, r \, \mathrm{d}\theta \, \mathrm{d}z \, \mathrm{d}r = 2\pi h \int_0^R E_0 K \epsilon_0 \mathrm{d}r' = 2\pi h E_0 K \epsilon_0 r \Big|_0^R = 2\pi h E_0 K \epsilon_0 R$$

Usando como superfície um cilindro concêntrico de raio r - tal que este seja maior que R - e altura h , temos, pela lei de Gauss:

$$\oint \vec{E}(\vec{r}) \cdot d\vec{S} = \frac{q_{int}}{\epsilon_0}$$

Logo:

$$\oint \vec{E}(\vec{r}) \cdot d\vec{S} = \frac{q_{int}}{\epsilon_0} = 2\pi h E_0 K R = 2\pi r h |\vec{E}(\vec{r})|$$

Portanto, usando a simetria (adotando o sinal 'positivo' para a cargas positivas), sendo \hat{r} o versor radial do cilindro, que aponta 'para fora' deste:

$$|\vec{E}(\vec{r})| = \frac{E_0 KR}{r} \Rightarrow \vec{E}(\vec{r}) = \frac{E_0 KR}{r} \hat{r}$$

c) Como os metais são condutores, o campo elétrico dentro deles deve ser nulo. Logo, ao efetuar uma lei de Gauss no interior do metal, sabemos que $\forall r \in (a,b)$ deve valer:

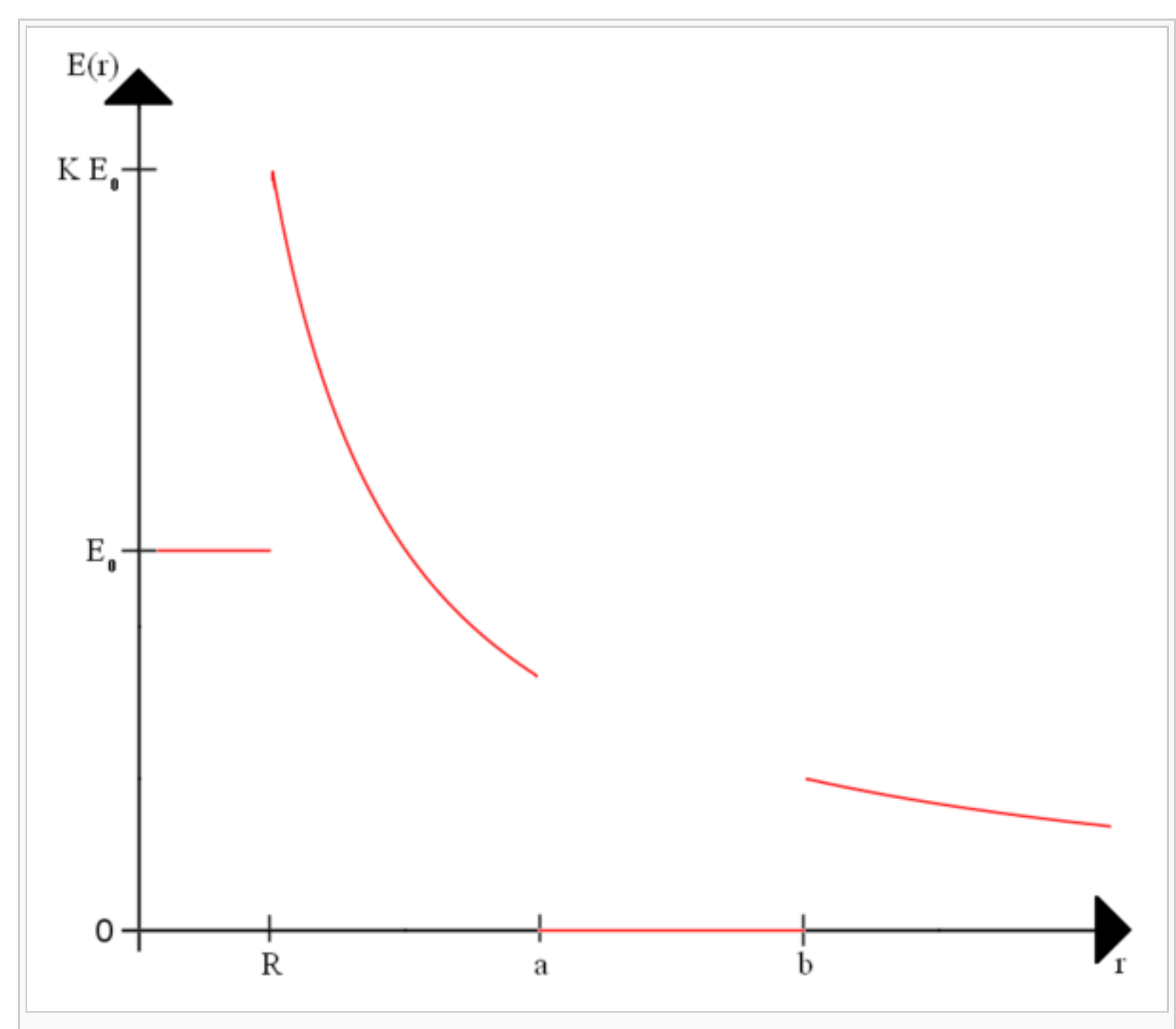
$$\oint \vec{E}(\vec{r}) \cdot d\vec{S} = 0 = \frac{q_{int}}{\epsilon_0} \Rightarrow q_{int} = 0$$

Para que isso ocorra só há uma alternativa: deve haver uma carga de valor $-q_{int}$ na superfície interna do metal, distribuída uniformemente ao longo da superfície interna do cilindro. Supondo que o metal seja eletricamente neutro, se efetuarmos outra lei de Gauss para r > b, notamos que a superfície externa do metal deve possuir carga q_{int} também uniformemente distribuída, na superfície externa do cilindro.

As densidades de carga serão, se h for a altura do cilindro, com $\lambda = \frac{q_{int}}{h}$ $\sigma_{-} = \frac{\lambda}{h} e \sigma_{b} = \frac{\lambda}{h}$

,
$$\sigma_a = \frac{\lambda}{2\pi a}$$
 e $\sigma_b = \frac{\lambda}{2\pi b}$:

- Se por densidade de carga entendermos densidade linear de carga, a superfície interna possui densidade de carga $-\lambda$ e a superfície externa possui densidade de carga λ .
- Se por densidade de carga entendermos densidade superficial de carga, a superfície interna possui densidade de carga $-\sigma_a$ e a superfície externa possui densidade de carga σ_b .



Este é o gráfico do campo elétrico do exercício acima. Note que o gráfico é descontínuo devido às mudanças de meios (dielétrico 1 - dielétrico 2 - metal - dielétrico 2). Note que o campo dentro do metal é nulo, e dentro do dielétrico 1 é menor devido ao maior efeito de polarizabilidade das moléculas nesta região.

d) Vide figura à direita.

EUF - 2009/2

Questão 1

Um disco uniforme, de seção circular de raio R, massa M e momento de inércia I (com relação ao eixo perpendicular ao plano do disco e que passa pelo seu centro), encontra-se preso a uma mola de constante k, massa desprezível e um certo comprimento de repouso, como é mostrado na figura ao lado. O disco rola sobre a suprefície sem deslizar e seu movimento está confinado ao plano da figura.

- 1. Escreva a equação para a energia mecânica do sistema em função da velocidade do centro de massa e da distensão da mola.
- 2. Obtenha a equação de movimento para o centro de massa do disco.
- 3. Determine a frequência angular de oscilação do centro de massa do disco.

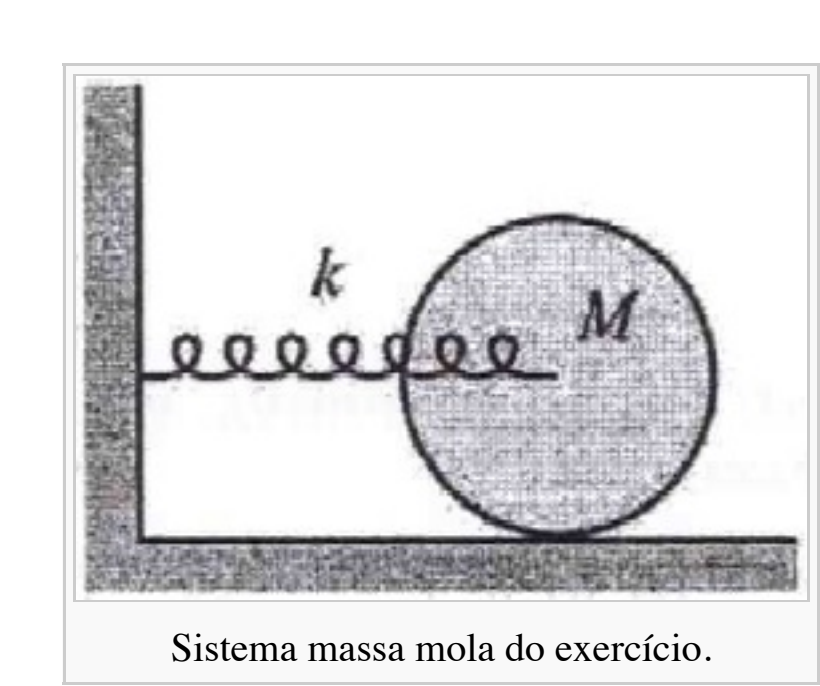
Solução:

Note que há um vínculo: $\theta = \frac{x}{R} \Rightarrow \dot{\theta} = \frac{x}{R}$.

$$T = \frac{I\dot{\theta}^2}{2} + \frac{M\dot{x}^2}{2}; V = \frac{kx^2}{2}$$

Como a densidade é uniforme:

$$\sigma = \frac{M}{\pi R^2}$$



Apenas para fazer uma observação adicional, calcularei o momento de inércia do cilindro, cujo raio é R e cuja distribuição de massa é uniforme. A distância do eixo do cilindro a um ponto arbitrário será batizada de r. O eixo de rotação desse cilindro se encontra no centro deste, de forma que temos a seguinte integral:

$$I = \iint r^2 dm = \iint r^2 \sigma(r) d^2r = \int_0^R \int_0^{2\pi} r^2 dm = \int_0^R \int_0^{2\pi} \frac{Mr^3}{\pi R^2} dr d\theta = \frac{2M}{R^2} \int_0^R r^3 dr = \frac{2MR^4}{4R^2} = \frac{MR^2}{2}$$

1) Vê-se que:

$$E = T + V = \frac{kx^2}{2} + \frac{I\dot{\theta}^2}{2} + \frac{M\dot{x}^2}{2}$$

Apenas vou utilizar o vínculo para expressar tudo em termos da coordenada x:

$$E = \frac{kx^2}{2} + \frac{\dot{x}^2}{2} \left(M + \frac{I}{R^2} \right) = \frac{kx^2}{2} + \frac{3M\dot{x}^2}{4}$$

2) Sabemos que:

$$L = T - V = \frac{\dot{x}^2}{2} \left(M + \frac{I}{R^2} \right) - \frac{kx^2}{2} = \frac{3M\dot{x}^2}{4} - \frac{kx^2}{2}$$

A equação de Euler-Lagrange é dada por:

$$\frac{\mathrm{d}}{\mathrm{d}t} \left(\frac{\partial \mathcal{L}}{\partial \dot{x}} \right) - \frac{\partial \mathcal{L}}{\partial x} = 0$$

$$\frac{\partial \mathcal{L}}{\partial x} = -kx$$

$$\frac{\partial \mathcal{L}}{\partial \dot{x}} = \left(M + \frac{I}{R^2}\right)\dot{x} = \frac{3M}{2}\dot{x} \Rightarrow \frac{\mathrm{d}}{\mathrm{d}t}\left(\frac{\partial \mathcal{L}}{\partial \dot{x}}\right) = \left(M + \frac{I}{R^2}\right)\ddot{x} = \frac{3M}{2}\ddot{x}$$

Logo, a equação de movimento do centro de massa é:

$$\left(M+\frac{I}{R^2}\right)\ddot{x}+kx=0\Rightarrow \ddot{x}+\left(\frac{k}{M+I/R^2}\right)x=0\Rightarrow \ddot{x}+\frac{2k}{3M}x=0$$

3) Através da equação de movimento, vemos que a freqüência angular é:

$$\omega = \sqrt{\left(\frac{k}{M + I/R^2}\right)} = \sqrt{\frac{2k}{3M}}$$

Questão 2

Uma partícula de massa m move-se em um potencial V(r), dado por:

$$V(r) = -\frac{C}{3r^3}$$

sendo C uma constante positiva. Considere que a partícula possua momento angular L diferente de zero.

- 1. Escreva a equação para a energia mecânica da partícula em termos da distância r à origem, da sua derivada temporal \dot{r} , do momento angular L, da massa m e da constante C.
- 2. Considerando os termos que só dependem de r na energia mecânica como um potencial efetivo $V_{ef}(r)$, esboce o gráfico de $V_{ef}(r)$.
- 3. Existem órbitas circulares para essa partícula? Em caso afirmativo, determine o raio de cada uma dessas possíveis órbitas e discuta a estabilidade das mesmas.
- 4. Calcule a energia mecânica mínima, E_{min} , acima da qual a partícula vinda do infinito é capturada pelo potencial, ou seja, não retorna mais para o infinito.

Solução:

A energia cinética de um potencial tipo central é:

$$T = \frac{m\dot{r}^2}{2} + \frac{mr^2\dot{\theta}^2}{2} = \frac{m\dot{r}^2}{2} + \frac{L^2}{2mr^2}$$

Sendo:

$$L = mr^2\dot{\theta}$$

1) Para um potencial central vale a expressão:

$$E = T + V = \frac{m\dot{r}^2}{2} + \frac{mr^2\dot{\theta}^2}{2} - \frac{C}{3r^3} = \frac{m\dot{r}^2}{2} + \frac{L^2}{2mr^2} - \frac{C}{3r^3}$$

2) Utilizando a sugestão do enunciado:

$$V_{ef}(r) = \frac{L^2}{2mr^2} - \frac{C}{3r^3}$$

Veja o gráfico ao lado.

3) De fato, existem órbitas circulares para a partícula, pois:

$$\frac{\partial V_{ef}(r)}{\partial r}\Big|_{r_0} = 0 = \frac{\partial}{\partial r} \left(\frac{L^2}{2mr^2} - \frac{C}{3r^3} \right) \Big|_{r_0} = \left(\frac{C}{r^4} - \frac{L^2}{mr^3} \right) \Big|_{r_0} \Rightarrow \frac{C}{r_0^4} = \frac{L^2}{mr_0^3} \Rightarrow \begin{cases} r_0 = 0 \\ r_0 = \frac{Cm}{L^2} \end{cases}$$

A primeira solução não é válida (as funções não são definidas em zero).

Portanto, é possível a ocorrência de órbita para:

$$r_0 = \frac{Cm}{L^2}$$

Sobre a estabilidade da órbita, devemos analizar a derivada segunda:

$$\frac{\partial^2 V_{ef}(r)}{\partial r^2}\Big|_{r_0} = \left(\frac{3L^2}{mr^4} - \frac{4C}{r^5}\right)\Big|_{r_0} = \frac{3L^{10}}{C^4m^5} - \frac{4L^{10}}{C^4m^5} = -\frac{L^{10}}{C^4m^5} < 0 : \text{a \'orbita\'e instável}.$$

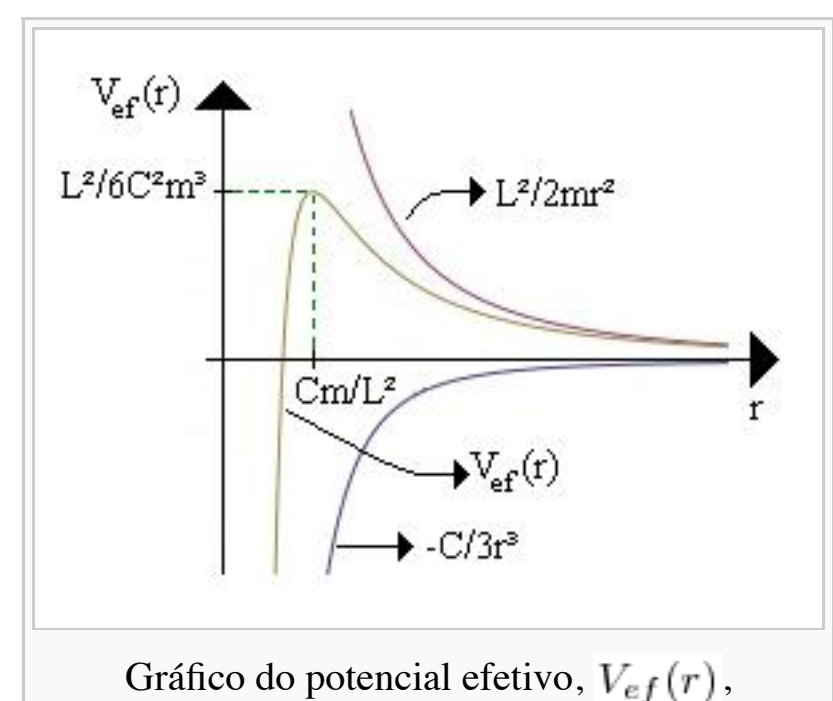


Gráfico do potencial efetivo, $V_{ef}(r)$, juntamente com os gráficos de $\frac{L^2}{2mr^2}$ e $-\frac{C}{3r^3}$.

Essa informação poderia ser retirada do gráfico, se notarmos que pequenas perturbações do sistema **não** levam-no de volta ao ponto de equilíbrio.

4) Se $E > V_{ef}(r_0)$, ocorre a 'captura' da partícula:

$$V_{ef}(r_0) = \frac{L^2}{2mr_0^2} - \frac{C}{3r_0^3} = \frac{L^6}{2C^2m^3} - \frac{L^6}{3C^2m^3} = \frac{L^6}{6C^2m^3}$$

Essa é a energia mecânica mínima necessária para que uma partícula vinda do infinito seja 'capturada'.

Questão 3

a) As seguintes afirmações se referen ao efito fotoelétrico. Responda Verdadeiro (V) ou Falso (F) e justifique brevemente a sua resposta (máximo de três linhas). Respostas sem justificativas ou com justificativas erradas não serão consideradas.

- 1. Incide-se luz num material fotoelétrico e não se observa a emissão de elétrons. Para que ocorra a emissão de elétrons no mesmo material basta que se aumente suficientemente a intensidade da luz incidente.
- 2. Incide-se luz num material fotoelétrico e não se observa a emissão de elétrons. Para que ocorra a emissão de elétrons no mesmo material basta que se aumente suficientemente a frequência da luz incidente.
- 3. No contexto do efeito fotoelétrico, o potencial de corte é a tensão necessária para deter os elétrons que escapam do metal com a **menor** velocidade possível.
- 4. Quando luz azul incide sobre uma placa de zinco, ela não produz efeito fotoelétrico, mas quando iluminada com luz vermelha ocorre emissão de elétrons.
- 5. Quanto maior for a frequência da luz incidente, maior será a energia cinética dos elétrons emitidos.
- b) Considere o efeito fotoelétrico inverso, ou seja, a emissão de fótons em conseqüência do bombardeio de um material com elétrons de alta velocidade. calcule a freqüência máxima que podem ter os fótons emitidos se a superfície é bombardeada com elétrons com velocidade c/2, onde c é a velocidade da luz.

Solução:

- 1. F. O efeito fotoelétrico associa-se à emissão de elétrons devido à incidência de fótons. A energia cinética máxima desses elétrons é $K_{max} = hf w$, sendo w a função trabalho do material que emite os elétrons. Não há relação imediata entre intensidade incidente e emissão de elétrons.
- 2. V. O efeito fotoelétrico associa-se diretamente com a frequência do fóton incidente e só ocorre emissão eletrônica a partir de uma frequência dada por $f_0 = w/h$. Assim que essa frequência for ultrapassada, ocorre emissão eletrônica de forma significativa.
- 3. F. O potencial de corte é a tensão necessária para deter os elétrons que escapam do metal com a maior velocidade (ou energia cinética) possível.
- 4. F. Quando a frequência diminui, se antes não se produzia efeito fotoelétrico, este **não** deve passar a ocorrer.
- 5. V. Sim, estatisticamente falando, de acordo com a relação $K_{max} = hf w$.

Questão 4

A energia da radiação de corpo negro, por unidade de volume e por unidade de intervalo de frequência, é dada por:

$$u_{\nu}(\nu) = \frac{8\pi h}{c^3} \frac{\nu^3}{e^{h\nu/k_B T} - 1}$$

onde ν representa a frequência do fóton e T a temperatura da radiação.

- 1. Deduza a expressão para a energia total E de um gás de fótons em um volume V. Qual é a dependência de E com a temperatura.
- 2. Esboce gráficos de $u_{\nu}(\nu)$ para duas temperaturas T_1 e T_2 , sendo $T_1 < T_2$.
- 3. Escreva as formas assintóticas de $u_{\nu}(\nu)$ no caso de frequências muito altas (lei de radiação de Wien) e no caso de frequências muito baixas (lei de radiação de Rayleigh-Jeans).
- 4. Imagine que o universo seja uma cavidade esférica de paredes impenetráveis e raio $10^{26}m$, contendo um gás de fótons em equilíbrio térmico. Se a temperatura dentro da cavidade for de 3K, estime a quantidade de energia contida nessa cavidade.
- 5. Supondo que o Universo se expanda adiabaticamente, calcule a temperatura que ele terá quando o seu volume for o dobro do valor atual (a entropia do gás de fótons é $S \propto VT^3$).

IMPORTANTE: originalmente eu havia feito a questão utilizando $k = k_B$ - a constante de Boltzmann, **não se trata do número de onda(!)**. Infelizmente fiz meus gráficos nessa notação, então vou refazê-los assim que possível.

Solução:

1) Conforme informa o enunciado:

$$\frac{E}{V} = \int_0^\infty u_{\nu}(\nu) d\nu = \int_0^\infty \frac{8\pi h}{c^3} \frac{\nu^3}{e^{h\nu/k_B T} - 1} d\nu$$

Utilizando a mudança de variável:

$$\nu = \frac{k_B T w}{h} \Rightarrow d\nu = \frac{k_B T}{h} dw$$

Consequentemente:

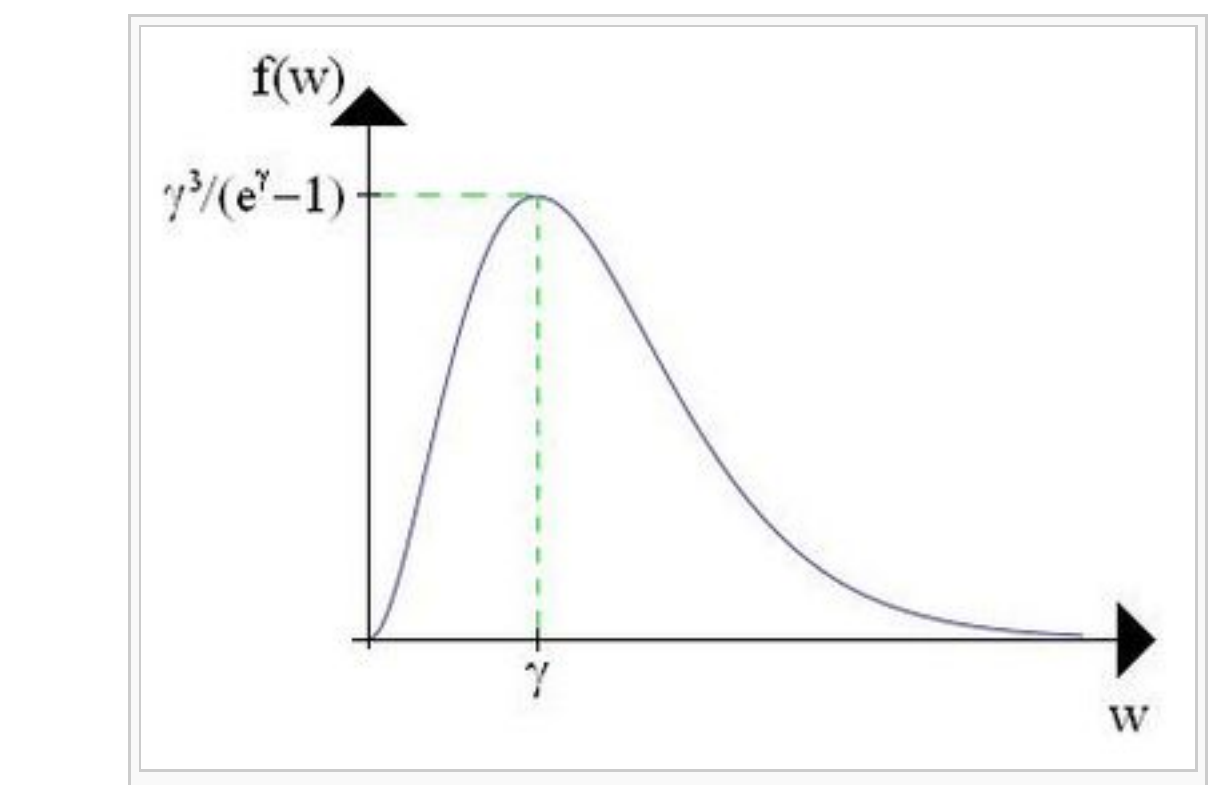
$$\frac{E}{V} = \frac{8\pi (k_B T)^4}{(ch)^3} \int_0^\infty \frac{w^3}{e^w - 1} dw$$

Da igualdade acima já é possível concluir que $E \propto T^4$. Mas vamos continuar o problema...

Como sabemos:

$$\int_{0}^{\infty} \frac{w^3}{e^w - 1} dw = \frac{\pi^4}{15}$$

De forma que:



$$\frac{E}{V} = \frac{8\pi (k_B T)^4}{(ch)^3} \frac{\pi^4}{15}$$

Se soubermos que:

$$\frac{8\pi^5 k_B^4}{15(ch)^3} = \frac{4\sigma}{c}$$

Sendo σ a constante de Stefan-Boltzmann, temos:

$$\frac{E}{V} = \frac{4\sigma T^4}{c} \Rightarrow E = \frac{4V\sigma T^4}{c} \propto T^4$$

OBS.: obviamente, nessa questão, não é necessário saber o valor da integral, basta saber que ela converge e fornece um número como resultado, já que este item só pede qual é a dependência de E com T. Pela mesma razão não é necessário saber quanto vale a constante de Boltzmann.

Nota:

2) Quando
$$\nu \to \infty$$
 , $\lim_{\nu \to \infty} u_{\nu}(\nu) \to 0$. Quando $\nu \to 0$, $\lim_{\nu \to 0} u_{\nu}(\nu) \to 0$.

(Observe que é mais fácil notar que as afirmações acima estão corretas se usarmos as aproximações: $\lim_{\nu \to \infty} u_{\nu}(\nu) \sim \lim_{\nu \to \infty} A\nu^{3} e^{-h\nu/kT} \to 0; \lim_{\nu \to 0} u_{\nu}(\nu) \sim \lim_{\nu \to 0} B\nu^{2} \to 0, \text{ com } A \text{ e } B \text{ constantes adequadas.})$

Para $\alpha > 0$ e $T_2 > T_1 > 0$, podemos concluir que:

$$T_2 > T_1 \Rightarrow \frac{1}{T_2} < \frac{1}{T_1} \Rightarrow \frac{\alpha}{T_2} < \frac{\alpha}{T_1} \Rightarrow e^{\alpha/T_1} > e^{\alpha/T_2} \Rightarrow e^{\alpha/T_1} - 1 > e^{\alpha/T_2} - 1$$
$$\Rightarrow \frac{1}{e^{\alpha/T_1} - 1} < \frac{1}{e^{\alpha/T_2} - 1} \Rightarrow u_{\nu}(\nu, T_2) > u_{\nu}(\nu, T_1), \forall \nu \in \mathbb{R}^+$$

O máximo de $u_{\nu}(\nu)$ segue a lei de Wien:

$$\lambda_{max} = \frac{c}{\nu_{max}} = \frac{b}{T} \Rightarrow \nu_{max} = \frac{cT}{b}$$

Com b é a constante do deslocamento de Wien e c é a velocidade da luz.

3) Para frequências muito altas, a forma assíntótica para $\nu \to \infty$ é dada por:

Para perceber a diferença na emissão espectral, vide o gráfico ao lado:

8−*b*

$$u_{\nu}(\nu >> \nu_{max}) \approx \frac{8\pi h}{c^3} \nu^3 e^{-h\nu/k_B T}$$

Essa é a lei de radiação de Wien.

Para frequências muito baixas, a forma assíntótica para $\nu \to 0$ é dada por:

$$u_{\nu}(\nu << \nu_{max}) \approx \frac{8\pi k_B T}{c^3} \nu^2$$

Essa é a lei de radiação de Rayleigh-Jeans.

4) Como:

$$E = \frac{4\sigma}{c}T^4V$$

Para uma esfera:

$$V = \frac{4\pi}{3}r^3$$

Assim, como:

$$\sigma \approx 5,67\cdot 10^{-8}W/m^2K^4$$
, $c\approx 3\cdot 10^8m/s$, $T=3K$ e $V\approx 4,19\cdot 10^{78}m^3$

Temos:

$$E \approx 2,57 \cdot 10^{65} J$$

5) Numa expansão adiabática:

$$\delta Q = T dS = 0 \Rightarrow dS = 0$$

Mas, se C e G são constantes adequadas:

$$S = CVT^3 \Rightarrow dS = CT^3dV + 3CT^2VdT = 0 \Rightarrow CT^3dV = -3CT^2VdT \Rightarrow \frac{dV}{V} = -3\frac{dT}{T} \Rightarrow \ln V = -3\ln T + \ln G \Rightarrow V = GT^{-3}dV = -3\frac{dT}{T} \Rightarrow \ln V = -3\ln T + \ln G \Rightarrow V = GT^{-3}dV = -3\frac{dT}{T} \Rightarrow \ln V = -3\ln T + \ln G \Rightarrow V = GT^{-3}dV = -3\frac{dT}{T} \Rightarrow \ln V = -3\ln T + \ln G \Rightarrow V = GT^{-3}dV = -3\frac{dT}{T} \Rightarrow \ln V = -3\ln T + \ln G \Rightarrow V = GT^{-3}dV = -3\frac{dT}{T} \Rightarrow \ln V = -3\ln T + \ln G \Rightarrow V = GT^{-3}dV = -3\frac{dT}{T} \Rightarrow \ln V = -3\ln T + \ln G \Rightarrow V = GT^{-3}dV = -3\frac{dT}{T} \Rightarrow \ln V = -3\ln T + \ln G \Rightarrow V = GT^{-3}dV = -3\frac{dT}{T} \Rightarrow \ln V = -3\ln T + \ln G \Rightarrow V = GT^{-3}dV = -3\frac{dT}{T} \Rightarrow \ln V = -3\ln T + \ln G \Rightarrow V = GT^{-3}dV = -3\frac{dT}{T} \Rightarrow \ln V =$$

Assim:

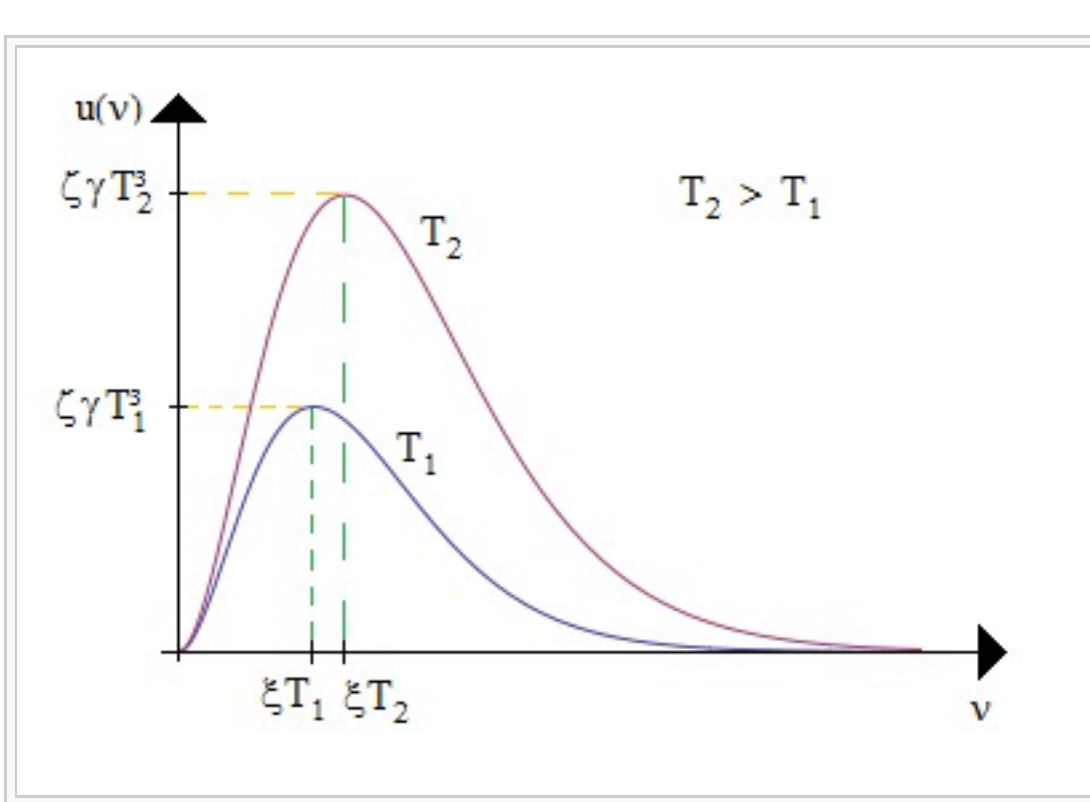


Gráfico da função $f(w) = \frac{w^3}{e^w - 1}$, com $\gamma \approx 2,82144$ sendo

o ponto de máximo. A área sob esta curva quando integrada de ()

até ∞ é $\frac{\pi^4}{15}$.

Gráfico da densidade de energia por freqüência versus a freqüência. Note que k é a constante de Boltzmann $\zeta = \frac{8\pi k^3}{c^3 h^2}$ $\xi = \frac{k}{h}, \ \gamma \approx 2,82144.$

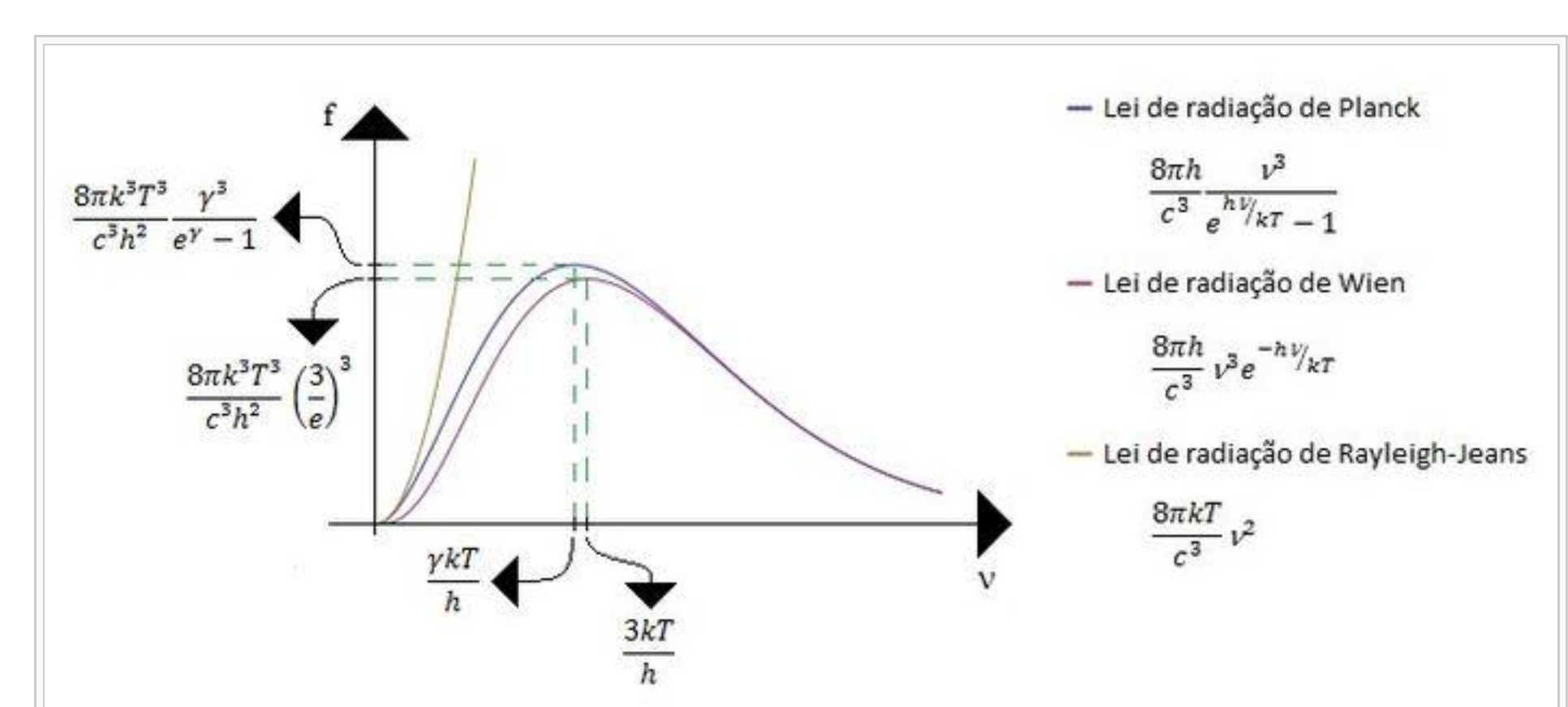


Gráfico da densidade de energia por freqüência versus a freqüência para as diversas leis de radiação (com T constante, e k a constante de Boltzmann, e e é o numero Neperiano). Lembrando que $\gamma \approx 2,82144$. Note como as leis de radiação de Rayleigh-Jeans e de Wien concordam com a lei de Planck, nos limites assintóticos apropriados.

$$T_0 = \left(\frac{G}{V_0}\right)^{1/3}$$

De forma que:

$$T_f = \left(\frac{G}{2V_0}\right)^{1/3} = \left(\frac{1}{2}\right)^{1/3} T_0 \approx 2,38K$$

Questão 5

Considere um sistema de N átomos localizados e não interagentes. Cada átomo pode estar em um dos três estados rotulados pelo número quântico k, com k = -1, 0, 1. Um átomo tem a mesma energia $\epsilon_1 > 0$ no estado k = 1 ou no estado k = -1. Um átomo no estado k = 0 tem energia $\epsilon_0 = 0$. Determine:

- 1. A função de partição do sistema.
- 2. A probabilidade p_0 de um átomo se encontrar no estado com energia 0. Determine o comportamento de p_0 nos limites de altas e baixas temperaturas e esboce o gráfico de p_0 versus T.
- 3. As expressões para a energia interna e para a entropia como função da temperatura T. Determine os valores assintóticos da energia e da entropia nos limites de altas e baixas temperaturas. A terceira lei da termodinâmica é observada?
- 4. Esboce o gráfico da entropia como função da temperatura.

Solução:

Estamos no ensemble canônico (temperatura definida), num caso no qual as partículas são distingüíveis, portanto, se zo é a função de partição de uma partícula, a função de partição do sistema será:

$$Z = (z_0)^N$$

1) Sabemos que:

$$z_0 = \sum_r e^{-\beta E_r}, \forall r$$

Os estados são $k = -1, 0, 1, \log 0$:

$$z_0 = \sum_{k=-1}^{1} e^{-\beta \epsilon_k} = e^{-\beta \epsilon_{-1}} + e^{-\beta \epsilon_0} + e^{-\beta \epsilon_1} = 1 + 2e^{-\beta \epsilon_1} \Rightarrow Z = (z_0)^N = (1 + 2e^{-\beta \epsilon_1})^N$$

2) Sabe-se que:

$$p_r = \frac{e^{-\beta E_r}}{\sum_r e^{-\beta E_r}} \Rightarrow p_0 = \frac{e^{-\beta \epsilon_0}}{z_0} = \frac{1}{1 + 2e^{-\beta \epsilon_1}}$$

Para
$$\beta \to \infty$$
 (ou $T \to 0^+$) $\Rightarrow e^{-\beta \epsilon_1} \to 0 \Rightarrow p_0 \to 1$.

Para
$$\beta \to 0$$
 (ou $T \to \infty$) $\Rightarrow e^{-\beta \epsilon_1} \to 1 \Rightarrow p_0 \to 1/3$.

(sobre o limite assíntótico...)

Veja os gráficos ao lado.

3) Sabemos que:

$$\bar{E} = -\frac{\partial \ln Z}{\partial \beta} = -\frac{\partial}{\partial \beta} \left(N \ln \left(1 + 2e^{-\beta \epsilon_1} \right) \right) = \frac{2N \epsilon_1 e^{-\beta \epsilon_1}}{1 + 2e^{-\beta \epsilon_1}} = \frac{2N \epsilon_1}{2 + e^{\beta \epsilon_1}}$$

Assim, se $\beta \to \infty$ (ou $T \to 0^+$), $\Rightarrow \bar{E} \sim 2N\epsilon_1 e^{-\beta\epsilon_1} \to 0$.

Assim, se
$$\beta \to 0$$
 (ou $T \to \infty$), $\Rightarrow \bar{E} \to \frac{2N\epsilon_1}{3}$.

4) A entropia é dada por:

$$S = k(\ln Z + \beta \bar{E}) = k \left(N \ln \left(1 + 2e^{-\beta \epsilon_1} \right) + \frac{2N\beta \epsilon_1}{2 + e^{\beta \epsilon_1}} \right)$$

Assim, se $\beta \to \infty$ (ou $T \to 0^+$), $\Rightarrow S \to 0$.

Assim, se $\beta \to 0$ (ou $T \to \infty$), $\Rightarrow S \to kN \ln 3$.

Questão 7

Durante uma tempestade, uma nuvem cobre a cidade de São Paulo a uma altura h = 500m em relação ao solo. Vamos supor que a largura da nuvem seja bem maior que essa altura h. Um balão meteorológico equipado com um sensor de campo elétrico é então lançado verticalemnte a partir do solo. Os dados coletados pelo sensor estão ilustrados na figura abaixo, onde E(z) é o **módulo** do campo elétrico em função da altitude (z = 0 no solo). A espessura da nuvem na direção vertical é igual a 1200m e sabe-se que a densidade de carga elétrica é sempre negativa no seu interior.

- 1. Indique, em um diagrama, a direção e sentido do campo elétrico nas regiões abaixo, dentro e acima da nuvem.
- 2. Calcule a densidade volumétrica de carga na atmosfera em função da altitude, $\rho(z)$, e esboce o seu gráfico.
- 3. Para quais valores de z o potencial elétrico é máximo ou mínimo? Calcule o potencial elétrico nesses pontos. Tome V=0 no solo.

Questão 8

Responda as questões abaixo o mais detalhadamente possível. Não deixe nada indicado. Conclua.

Considere um operador hermitiano H e mostre que:

- 1) Os autovalores de H são necessariamente reais;
- 2) Os autovalores de H correspondentes a autovetores diferentes são ortogonais.

Um operador A , que correspondente ao corresponde ao observável a , tem dois autoestados normalizados, $|arphi_1
angle\,$ e $|arphi_2
angle\,$, com autovalores a_1 e a_2 , respectivamente, e $a_1 \neq a_2$. Um outro operador B, que corresponde ao observável b, tem dois autoestados normalizados, $|\chi_1\rangle$ e $|\chi_2\rangle$, com autovalores b_1 e b_2 , respectivamente, e $b_1 \neq b_2$. Os dois conjuntos de autoestados (ou bases) estão relacionados por:

$$|\varphi_1\rangle = \frac{1}{\sqrt{10}} (|\chi_1\rangle + 3|\chi_2\rangle) \ e \ |\varphi_2\rangle = \frac{1}{\sqrt{10}} (3|\chi_1\rangle - |\chi_2\rangle).$$

- 3) Encontre a relação inversa entre as bases, ou seja, os $|\chi\rangle$ s em termos dos $|\varphi\rangle$ s.
- Sobre esse sistema, podem ser feitas medidas em seqüência. Calcule as probabilidades pedidas nos casos abaixo:
- 4) a é medido e é encontrado o autovalor a_1 . Imediatamente após, b é medido e é encontrado o autovalor b_1 . Em seguida, a é medido novamente. Qual é a probabilidade de se obter novamente o autovalor a_1 nessa última medida?
- 5) a é medido e é encontrado o autovalor a₁. Após essa medida de a, mede-se b e novamente a, nessa ordem. Qual é a probabilidade de se obter nessa seqüência de medidas os autovalores b_1 (na medida de b) e a_1 (na medida de a)?

Solução:

1) Dado H um operador hermitiano cujos autoestados constituem uma base $|\psi_i\rangle$, sendo que os autovalores de H quando atua nessa base são λ_i , ou seja:

$$H|\psi_i\rangle = \lambda_i|\psi_i\rangle$$

Como o operador é hermitiano:

$$\langle \psi_i | H^{\dagger} = \lambda_i^* \langle \psi_i |$$

Portanto, por ser hermitiano, o operador possui a seguinte propriedade:

$$\langle \psi_i | H | \psi_i \rangle = \langle \psi_i | H^\dagger | \psi_i \rangle \Rightarrow \langle \psi_i | H | \psi_i \rangle - \langle \psi_i | H^\dagger | \psi_i \rangle = 0 \Rightarrow \lambda_i \langle \psi_i | \psi_i \rangle - \lambda_i^* \langle \psi_i | \psi_i \rangle = (\lambda_i - \lambda_i^*) \langle \psi_i | \psi_i \rangle = (\lambda_i - \lambda_i^*) = 0 \Rightarrow \lambda_i = \lambda_i^* \Rightarrow \lambda_i \in \mathbb{R}$$

Observação: essa demonstração vale inclusive no caso degenerado.

Dada uma situação na qual:

$$H|\psi_i\rangle = \lambda_i |\psi_i\rangle$$

Com todas autovalores diferentes entre si, inclusive:

$$\lambda_1 \neq \lambda_2$$

Logo:

$$H(|\psi_1\rangle + |\psi_2\rangle) = \lambda_1 |\psi_1\rangle + \lambda_2 |\psi_2\rangle$$

Assim:

$$\langle \psi_1|H\left(|\psi_1\rangle+|\psi_2\rangle\right)=\lambda_1\langle \psi_1|\left(|\psi_1\rangle+|\psi_2\rangle\right)=\lambda_1\left[\langle \psi_1|\psi_1\rangle+\langle \psi_1|\psi_2\rangle\right]=\lambda_1\langle \psi_1|\psi_1\rangle+\lambda_1\langle \psi_1|\psi_2\rangle$$

Mas:

$$\left\langle \psi_{1}|H\left(|\psi_{1}\rangle+|\psi_{2}\rangle\right)=\left\langle \psi_{1}|\left(\lambda_{1}|\psi_{1}\rangle+\lambda_{2}|\psi_{2}\rangle\right)=\lambda_{1}\left\langle \psi_{1}|\psi_{1}\rangle+\lambda_{2}\langle\psi_{1}|\psi_{2}\rangle$$

Portanto:

$$\lambda_1 \langle \psi_1 | \psi_1 \rangle + \lambda_1 \langle \psi_1 | \psi_2 \rangle = \lambda_1 \langle \psi_1 | \psi_1 \rangle + \lambda_2 \langle \psi_1 | \psi_2 \rangle \Rightarrow \lambda_1 \langle \psi_1 | \psi_2 \rangle = \lambda_2 \langle \psi_1 | \psi_2 \rangle \Rightarrow (\lambda_1 - \lambda_2) \langle \psi_1 | \psi_2 \rangle = 0$$

Como, por hipótese $\lambda_1 \neq \lambda_2$, temos que:

$$\langle \psi_1 | \psi_2 \rangle = 0 : |\psi_1 \rangle, |\psi_2 \rangle$$
 são ortogonais.

Observação: essa demonstração não vale para o caso degenerado, pois nesse caso não é válido afirmar que todos os autovalores que correspondem aos autovetores são diferentes entre si.

3) Sabemos que:

$$|\varphi_1\rangle = \frac{1}{\sqrt{10}} (|\chi_1\rangle + 3|\chi_2\rangle); |\varphi_2\rangle = \frac{1}{\sqrt{10}} (3|\chi_1\rangle - |\chi_2\rangle)$$

$$|\varphi_1\rangle + 3|\varphi_2\rangle = \frac{10}{\sqrt{10}}|\chi_1\rangle = \sqrt{10}|\chi_1\rangle \Rightarrow |\chi_1\rangle = \frac{|\varphi_1\rangle + 3|\varphi_2\rangle}{\sqrt{10}}$$

Também temos que:

$$|\varphi_2\rangle - 3|\varphi_1\rangle = \frac{-10}{\sqrt{10}}|\chi_2\rangle = -\sqrt{10}|\chi_2\rangle \Rightarrow |\chi_2\rangle = \frac{3|\varphi_1\rangle - |\varphi_2\rangle}{\sqrt{10}}$$

4) De acordo com o enunciado:

$$\begin{cases} A|\varphi_1\rangle = a_1|\varphi_1\rangle \\ A|\varphi_2\rangle = a_2|\varphi_2\rangle \end{cases}$$

E:

$$\begin{cases} B|\chi_1\rangle = b_1|\chi_1\rangle \\ B|\chi_2\rangle = b_2|\chi_2\rangle \end{cases}$$

O enunciado informa que na primeira medida de a encontra-se a_1 , portanto o autoestado incidente é $\ket{arphi_1}$.

Após isso, mede-se b e encontra-se b_1 , portanto:

$$B|\varphi_1\rangle = \frac{1}{\sqrt{10}} (B|\chi_1\rangle + 3B|\chi_2\rangle) = \frac{1}{\sqrt{10}} (b_1|\chi_1\rangle + 3b_2|\chi_2\rangle)$$

Observação: a importância desse passo é meramente a de verificar que o estado $|\varphi_1\rangle$ possui alguma componente do estado $|\chi_1\rangle$

Ou seja, há um autoestado de B cujo autovalor corresponde a b_1 compondo o estado $|arphi_1
angle$, portanto o autoestado incidente passa a ser $|\chi_1
angle$.

Finalmente, mede-se a novamente e encontra-se a_1 , portanto:

$$A|\chi_1\rangle = \frac{1}{\sqrt{10}} \left(A|\varphi_1\rangle + 3A|\varphi_2\rangle \right) = \frac{1}{\sqrt{10}} \left(a_1|\varphi_1\rangle + 3a_2|\varphi_2\rangle \right)$$

Observação: a importância desse passo é meramente a de verificar que o estado $|\chi_1\rangle$ possui alguma componente do estado $|\varphi_1\rangle$

Ou seja, há um autoestado de A cujo autovalor corresponde a a_1 compondo o estado $|\chi_1\rangle$, portanto o autoestado medido passa a ser $|\varphi_1\rangle$.

Logo:

$$\mathcal{P}_{a_1} = \left| \langle \varphi_1 | \chi_1 \rangle \right|^2 = \left| \frac{1}{\sqrt{10}} \right|^2 = \frac{1}{10} = 0, 1 = 10\%$$

5) O enunciado informa que na primeira medida de a encontra-se a_1 , portanto o autoestado incidente é $|\varphi_1
angle$.

Após isso, mede-se b, de forma que:

$$B|\varphi_1\rangle = \frac{1}{\sqrt{10}} (B|\chi_1\rangle + 3B|\chi_2\rangle) = \frac{1}{\sqrt{10}} (b_1|\chi_1\rangle + 3b_2|\chi_2\rangle)$$

Ou seja, há um autoestado de B cujo autovalor corresponde a b_1 compondo o estado $|arphi_1
angle$, portanto o autoestado medido passa a ser $|\chi_1
angle$.

Logo:

$$\mathcal{P}_{b_1} = |\langle \chi_1 | \varphi_1 \rangle|^2 = \left| \frac{1}{\sqrt{10}} \right|^2 = \frac{1}{10} = 0, 1$$

Incidindo o estado $|\chi_1\rangle$ na próxima medida, teremos:

$$A|\chi_1\rangle = \frac{1}{\sqrt{10}} \left(A|\varphi_1\rangle + 3A|\varphi_2\rangle \right) = \frac{1}{\sqrt{10}} \left(a_1|\varphi_1\rangle + 3a_2|\varphi_2\rangle \right)$$

Ou seja, há um autoestado de A cujo autovalor corresponde a a_1 compondo o estado $|\chi_1
angle$, portanto o autoestado medido passa a ser $|arphi_1
angle$.

Logo:

$$\mathcal{P}_{a_1} = \left| \langle \varphi_1 | \chi_1 \rangle \right|^2 = \left| \frac{1}{\sqrt{10}} \right|^2 = \frac{1}{10} = 0, 1$$

Assim, a probabilidade de se medir b_1 e depois medir a_1 será:

$$\mathcal{P}_{b_1,a_1} = \mathcal{P}_{b_1} \cdot \mathcal{P}_{a_1} = \left(\frac{1}{10}\right)^2 = \frac{1}{100} = 0,01 = 1\%$$

EUF - 2010/1

Questão 2

Uma partícula de massa m pode se mover sem atrito num aro de raio R, como mostrado na figura abaixo. O aro gira com velocidade angular constante ω em torno do eixo vertical, conforme mostrado na figura. Considere a aceleração da gravidade valendo g.

- a) Determine a energia cinética da partícula em função de $\, heta\,$, $\,\dot{ heta}\,$, $\,R$, $\,m\,$ e $\,\omega\,$.
- b) Determine a lagrangiana da partícula, adotando energia potencial nula no ponto correspondente a $\theta = 0$.
- c) Determine a equação de movimento da partícula.
- d) Determine os pontos de equilíbrio.

Observação: Vamos tomar $\theta \in [-\pi, \pi]$

Solução:

Usaremos como origem do sistema de coordenadas o ponto central do aro.

$$T = \frac{m\omega^2R^2sen^2(\theta)}{2} + \frac{m\dot{\theta}^2R^2}{2}; \ V = mgR(1-cos(\theta))$$

a)
$$T = \frac{m\omega^2 R^2 sen^2(\theta)}{2} + \frac{m\dot{\theta}^2 R^2}{2}$$

b) O potencial que escolhi no começo do exercício já cumpre a condição dada acima, logo já podemos escrever a lagrangiana:

$$\mathcal{L} = T - V = \frac{m\omega^2 R^2 sen^2(\theta)}{2} + \frac{m\dot{\theta}^2 R^2}{2} - mgR(1 - cos(\theta))$$

Observação: se você escolheu um potencial a menos de uma constante, ou seja:

$$V(\theta) = C - mgRcos(\theta)$$

Logo, para cumprir a exigência do exercício:

$$V(\theta)|_{0} = V(0) = 0 = C - mgR \Rightarrow C = mgR$$

Portanto $V = mgR(1 - cos(\theta))$.

c) Equação do movimento pode ser obtida através da equação de Euler-Lagrange:

$$\frac{\mathrm{d}}{\mathrm{d}t} \left(\frac{\partial \mathcal{L}}{\partial \dot{\theta}} \right) - \frac{\partial \mathcal{L}}{\partial \theta} = 0$$

Com:

$$\frac{\partial \mathcal{L}}{\partial \theta} = mR^2 \omega^2 sen(\theta) cos(\theta) - mgRsen(\theta)$$

$$\frac{\partial \mathcal{L}}{\partial \dot{\theta}} = mR^2 \dot{\theta} \Rightarrow \frac{\mathrm{d}}{\mathrm{d}t} \left(\frac{\partial \mathcal{L}}{\partial \dot{\theta}} \right) = mR^2 \ddot{\theta}$$

Daí, a equação de movimento fica:

$$mR^2\ddot{\theta} - mR^2\omega^2 sen(\theta)cos(\theta) + mgRsen(\theta) = 0 \Rightarrow \ddot{\theta} + \left(\frac{g}{R} - \omega^2 cos(\theta)\right)sen(\theta) = 0$$

d) Um ponto de equilíbrio se caracteriza por ser um ponto no qual a força total que atua neste ponto ser nula, ou seja, no ponto, $ec{F} \equiv ec{0}$, ou $ec{
abla} V_{ef} = ec{0}$.

Antes de encontrar os pontos de equilíbrio, vamos notar duas coisas:

$$H = \dot{\theta} \frac{\partial \mathcal{L}}{\partial \dot{\theta}} - \mathcal{L} = \frac{mR^2 \dot{\theta}^2}{2} + mgR(1 - cos(\theta)) - \frac{mR^2 \omega^2 sen^2(\theta)}{2}$$

■ Pelas equações de Hamilton
$$\frac{\mathrm{d}H}{\mathrm{d}t} = -\frac{\partial \mathcal{L}}{\partial t}$$

Como L não depende explicitamente do tempo:

$$\frac{\partial \mathcal{L}}{\partial t} = 0$$

Assim, vê-se que H é uma constante do movimento. Diga-se de passagem:

$$H = \frac{mR^2\dot{\theta}^2}{2} + mgR(1 - cos(\theta)) - \frac{mR^2\omega^2 sen^2(\theta)}{2} \neq E = T + V = \frac{mR^2\dot{\theta}^2}{2} + mgR(1 - cos(\theta)) + \frac{mR^2\omega^2 sen^2(\theta)}{2} + mgR(1 - cos($$

Vamos definir o potencial efetivo a partir de H:

$$H = \frac{mR^{2}\dot{\theta}^{2}}{2} + mgR(1 - cos(\theta)) - \frac{mR^{2}\omega^{2}sen^{2}(\theta)}{2} = \frac{mR^{2}\dot{\theta}^{2}}{2} + V_{ef}(\theta) \Rightarrow V_{ef}(\theta) = mgR(1 - cos(\theta)) - \frac{mR^{2}\omega^{2}sen^{2}(\theta)}{2}$$

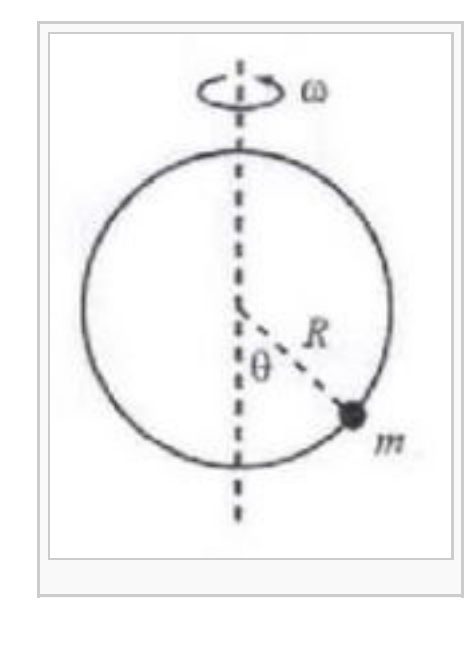
Assim, os pontos de equilíbrio são tais que:

 $\left(\frac{g}{R} - \omega^2 \cos(\theta_0)\right) \operatorname{sen}(\theta_0) = 0$

$$\left(\frac{\partial V_{ef}(\theta)}{\partial \theta}\right)\Big|_{\theta_0} = 0 = mgRsen(\theta_0) - mR^2\omega^2sen(\theta_0)cos(\theta_0)$$

Que nos fornece:

$$\Rightarrow \begin{cases} sen(\theta_0) = 0 \Rightarrow \theta_0 = 0 \text{ ou } \theta_0 = \pm \pi \\ \frac{g}{R} - \omega^2 cos(\theta_0) = 0 \Rightarrow \theta_0 = \pm arccos\left(\frac{g}{R\omega^2}\right) \end{cases}$$



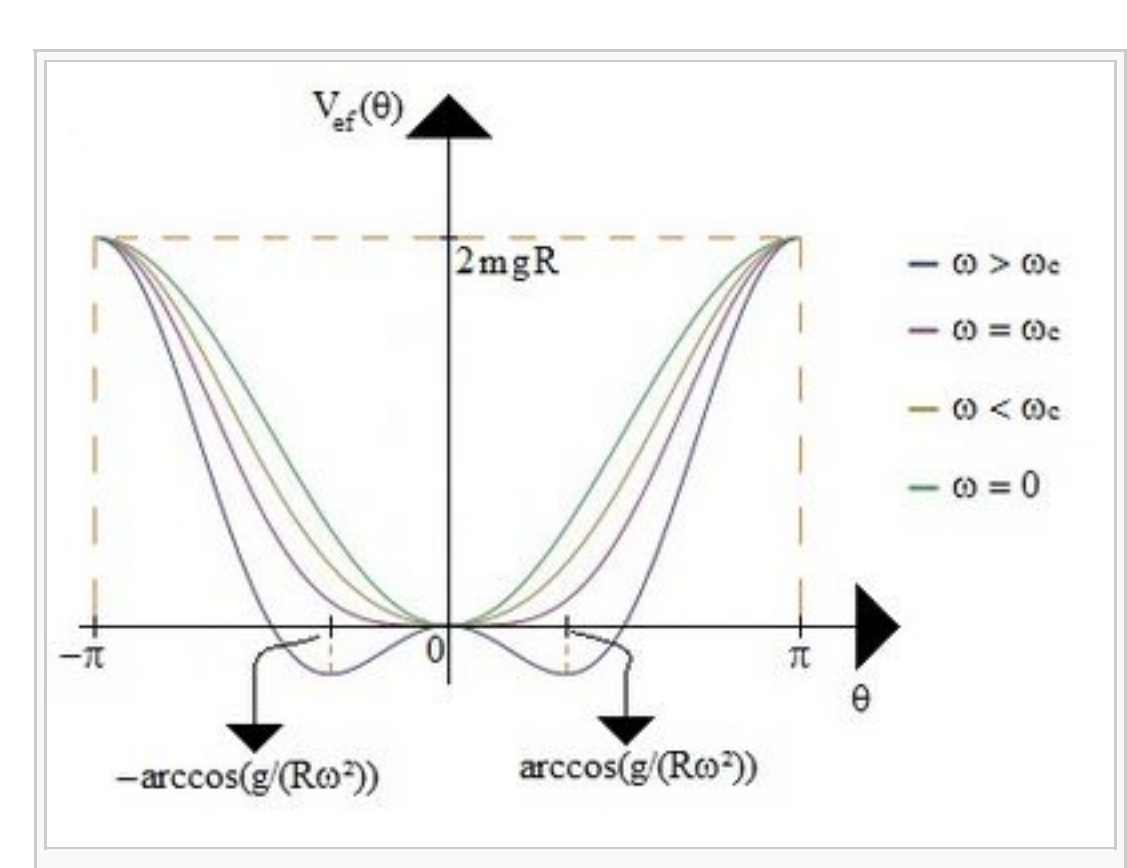


Gráfico do potencial efetivo,

$$V_{ef}(\theta) = mgR(1-cos(\theta)) - \frac{mR^2\omega^2sen^2(\theta)}{2}$$
 versus θ nos regimes de $\omega > \omega_c$, $\omega = \omega_c$ e $\omega < \omega_c$ e $\omega = 0$. Nesse gráfico reside a explicação física para o porquê do aparecimento da quebra de simetria: simplesmente deve-se à 'competição' entre o potencial gravitacional e o 'potencial girante'. De $\omega = 0$ até $\omega = \omega_c$ temos em $\theta_0 = 0$ um ponto de equilíbrio estável. A partir de uma certa freqüência (ω_c), o 'potencial girante' passa a superar o potencial gravitacional, para ângulos nas vizinhanças do ângulo zero, criando um ponto de equilíbrio instável em $\theta_0 = 0$, conforme evidenciado na figura. Daí, pequenas perturbações no sistema o obrigam a 'optar' por um dos dois pontos de equilíbrio

disponíveis ao sistema:
$$\theta_0 = \arccos\left(\frac{g}{R\omega^2}\right)$$
 e $\theta_0 = -\arccos\left(\frac{g}{R\omega^2}\right)$, o que origina a quebra de simetria.

$$\theta_0 = -arccos\left(\frac{g}{R\omega^2}\right)$$
, o que origina a quebra de simetria.

Definindo:

$$\omega_c = \sqrt{\frac{g}{R}}$$

Vemos que $\theta_0=\arccos\left(\frac{g}{R\omega^2}\right)$ só possui solução se $\omega\geq\omega_c$, sendo que $\theta_0=0$, se $\omega=\omega_c$.

Para obter uma informação mais visual, vide o gráfico ao lado.

Apenas como informação adicional, esse é um exercício que ilustra quebra de simetria.

Questão 4

Utilizando o Modelo de Bohr:

a) Deduza a expressão para os níveis de energia do íon He^+ , $(Z=2, M_{He^+} >> m_e)$ e calcule os valores das energias até n=5.

Com os resultados desse item, determine:

- b) a energia de ionização do He^+ ,
- c) o comprimento de onda de uma linha de emissão do He^+ na região do espectro visível,
- d) Dois íons de He^+ no estado fundamental e com mesma energia cinética colidem frontalmente. Cada qual emite um fóton de comprimento de onda de 120 nm e fica com energia cinética final nula, no estado fundamental. Qual é a velocidade dos íons antes da colisão?

Solução:

Dados úteis:

$$m_e \approx 9,11 \cdot 10^{-31} Kg = 9,11 \cdot 10^{-28} g$$

$$M_{He} \approx 4M_H \approx 4 \cdot 1836 \cdot m_e$$

Ou, como M_{lpha} é a massa da partícula alfa:

$$M_{He} \approx M_{\alpha} \approx 6, 6 \cdot 10^{-27} Kg$$

$$h \approx 6, 6 \cdot 10^{-34} J \cdot s$$

$$\hbar \approx 1, 1 \cdot 10^{-34} J \cdot s$$

$$e \approx 1, 6 \cdot 10^{-19} C$$

$$c \approx 3 \cdot 10^8 m/s = 3 \cdot 10^{10} cm/s$$

a) O módulo da força exercida por uma partícula de carga Z_e sobre o elétron é dada por (CGS):

$$F = \frac{Ze^2}{r^2} = \mu a$$

Com:

$$\mu = \frac{(M_{He^+}) \cdot m_e}{(M_{He^+}) + m_e} \approx m_e$$

Já que:

$$M_{He^+} >> m_e$$

Para um movimento circular uniformemente acelerado, vale a relação:

$$a = \frac{v^2}{r}$$

Daí:

$$\frac{Ze^2}{m_e r^2} = \frac{v^2}{r} \Rightarrow r = \frac{m_e v^2}{Ze^2}$$

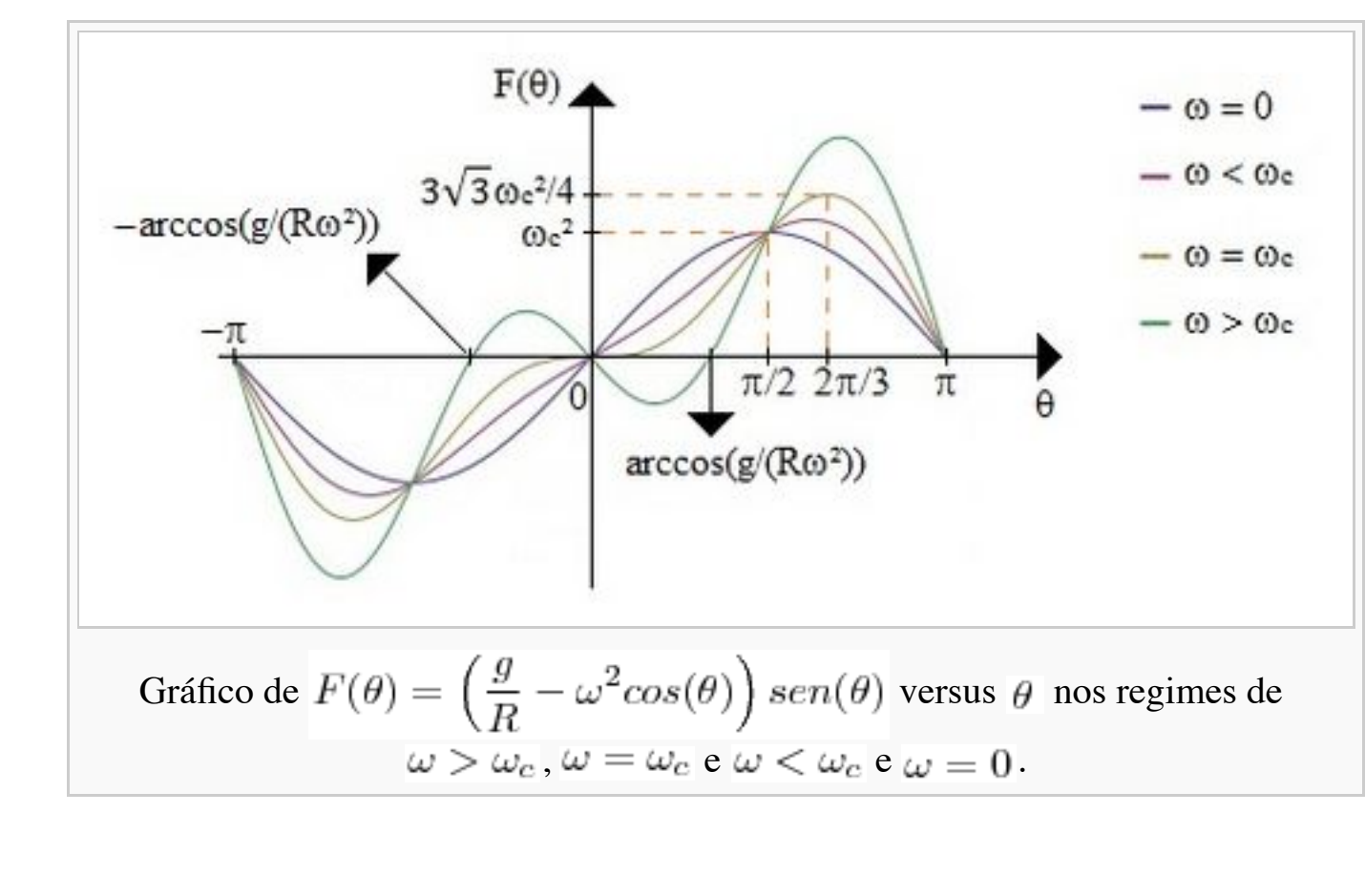
As órbitas de Bohr obedecem à condição:

$$L = m_e v r = n\hbar \Rightarrow v = \frac{n\hbar}{m_e r}$$

Com isso:

$$r = \frac{n^2 \hbar^2}{Ze^2 m_e}$$

Consequentemente:



$$v = \frac{Ze^2}{n\hbar}$$

Para o átomo hidrogenóide a energia é dada por:

$$E = \frac{\mu v^2}{2} - \frac{Ze^2}{r} \approx \frac{m_e v^2}{2} - \frac{Ze^2}{r} = \frac{m_e Z^2 e^4}{2n^2 \hbar^2} - \frac{m_e Z^2 e^4}{n^2 \hbar^2} = -\frac{m_e Z^2 e^4}{2n^2 \hbar^2}$$

Sabe-se que o estado fundamental do átomo de Hidrogênio possui energia:

$$E_{1H} \approx -\frac{m_e e^4}{2\hbar^2} = -13,6eV$$

Portanto:

$$E_{1He^{+}} \approx -4 \frac{m_e e^4}{2\hbar^2} = -54, 4eV$$

$$E_{2He^{+}} \approx -4 \frac{m_e e^4}{8\hbar^2} = -13,6eV$$

$$E_{3He^{+}} \approx -4 \frac{m_e e^4}{18 \pi^2} \approx -6,0 eV$$

$$E_{4He^{+}} \approx -4 \frac{m_e e^4}{32\hbar^2} = -3,4eV$$

$$E_{5He^{+}} \approx -4 \frac{m_{e}e^{4}}{50\hbar^{2}} \approx -2,2eV$$

b) A energia de ionização resulta da transição entre os estados $n \equiv 0$ e ' $n = \infty$ ', de forma que:

$$E_{ioniza\tilde{a}o} = E_{1He^{+}} \approx -4 \frac{m_{e}e^{4}}{2\hbar^{2}} = -54, 4eV$$

c) O espectro visível está, aproximadamente, no intervalo de:

$$(400 \sim 700)nm = (4 \sim 7) \cdot 10^{-7}m$$

Como:

$$\Delta E = h\Delta \nu = \frac{hc}{\Delta \lambda} = \frac{(4,95 \sim 2,83) \cdot 10^{-19}}{1.6 \cdot 10^{-19}} eV = (3,09 \sim 1,77) eV$$

Como:

$$E_{6He^{+}} \approx -4 \frac{m_e e^4}{72 \hbar^2} \approx -1,5 eV$$

A energia do estado cujo número quântico n=6 está fora da região do visível.

Dessa forma apenas n = 5 possui energia no intervalo do visível.

Nota: esse exercício depende de como se define a faixa do visível, mas o resultado deve ser o mesmo se você escolheu um intervalo razoável para os comprimentos de onda. Eu apenas fiz a escolha que achei mais conveniente.

d) Por conservação de energia:

$$h\nu = \frac{(M_{He^+})v^2}{2} \Rightarrow v = \sqrt{\frac{2h\nu}{m}} = \sqrt{\frac{2hc}{(M_{He^+})\lambda}} \approx 2, 2 \cdot 10^4 m/s$$

Questão 5

Um gás ideal de moléculas diatômicas polares, cada uma com momento de dipolo elétrico $\vec{\mu}$, encontra-se a uma temperatura T e está sujeito a um campo elétrico $\vec{\epsilon}$. As orientações dos dipolos são definidas pelos ângulos $\theta \in [0, \pi]$ e $\varphi \in [0, 2\pi]$ de um sistema de coordenadas esféricas cujo eixo-z é paralelo ao campo elétrico. A probabilidade de encontrar uma molécula com orientação do dipolo dentro do elemento $d\theta d\varphi$ vale $\rho(\theta, \varphi)d\theta d\varphi$ onde a densidade de probabilidade $\rho(\theta, \varphi)$ é dada por:

$$\rho(\theta, \varphi) = \frac{1}{A} sen(\theta) e^{-\beta E(\theta)}$$

e está normalizada de acordo com:

$$\int_0^{2\pi} \int_0^{\pi} \rho(\theta, \varphi) d\theta d\varphi = 1$$

A constante A é um fator de normalização, $\beta = 1/kT$, sendo k a constante de Boltzmann e E é a energia de interação do momento de dipolo com o campo, dada por:

$$E = -\vec{\mu} \cdot \vec{\varepsilon} = -\mu \, \varphi \cos(\theta)$$

- a) Determine A como função de T , ε e μ .
- b) O momento de dipolo médio por molécula é definido pela média:

$$P = \mu \langle cos(\theta) \rangle$$

Determinar P como função de T e ε .

c) Esboce o gráfico de P versus ε para T constante.

d) A susceptibilidade elétrica é definida por:

$$\chi = \frac{\partial P}{\partial \varepsilon}$$

Determine χ a campo nulo e mostre que ela é inversamente proporcional À temperatura T . Notar que para pequennos valores de x vale a relação:

$$cotgh(x) \approx \frac{1}{x} + \frac{x}{3}$$

Solução:

a) Vejamos:

$$\int_0^{2\pi} \int_0^{\pi} \rho(\theta, \varphi) d\theta d\varphi = 1 = \int_0^{2\pi} \int_0^{\pi} \frac{1}{A} sen(\theta) e^{\beta \mu \varepsilon \cos(\theta)} d\theta d\varphi = \frac{2\pi}{A} \int_0^{\pi} sen(\theta) e^{\beta \mu \varepsilon \cos(\theta)} d\theta d\varphi$$

Usando a mudança de variável:

$$u = cos(\theta) \Rightarrow du = -sen(\theta)d\theta$$

Vamos definir, também, $\alpha = \beta \mu \, \varepsilon$.

Temos, então:

$$\int_{0}^{2\pi} \int_{0}^{\pi} \rho(\theta, \varphi) d\theta d\varphi = \frac{2\pi}{A} \int_{0}^{\pi} sen(\theta) e^{\beta\mu\varepsilon\cos(\theta)} d\theta = \frac{2\pi}{A} \int_{-1}^{1} e^{\alpha u} du = \frac{2\pi}{A} \left(\frac{e^{\alpha u}}{\alpha}\right) \Big|_{-1}^{1} = \frac{2\pi}{A\alpha} (e^{\alpha} - e^{-\alpha}) = \frac{4\pi senh(\alpha)}{A\alpha} = \frac{4\pi senh(\beta\mu\varepsilon)}{A\beta\mu\varepsilon} = 1$$

Dessa forma:

$$A = \frac{4\pi senh(\beta \mu \varepsilon)}{\beta \mu \varepsilon}$$

b) Por definição:

$$\langle cos(\theta) \rangle = \frac{1}{A} \int_{0}^{2\pi} \int_{0}^{\pi} cos(\theta) sen(\theta) e^{\alpha \cos(\theta)} d\theta d\varphi$$

Usando a mesma mudança de variável anterior:

$$\frac{1}{A} \int_{0}^{2\pi} \int_{0}^{\pi} \cos(\theta) \sin(\theta) e^{\alpha \cos(\theta)} d\theta d\varphi = \frac{2\pi}{A} \int_{-1}^{1} u e^{\alpha u} du$$

Existem duas maneiras para realizar a integral:

Método 1 (integração por partes)

$$U(u) = u \Rightarrow U'(u) = 1; V(u) = \frac{e^{\alpha u}}{\alpha} \Rightarrow V'(u) = e^{\alpha u}$$

Portanto:

$$\int_{-1}^{1} u \, e^{\alpha \, u} \mathrm{d}u = \frac{u e^{\alpha u}}{\alpha} \Big|_{-1}^{1} - \int_{-1}^{1} \frac{e^{\alpha u}}{\alpha} \mathrm{d}u = 2 \frac{\cosh(\alpha)}{\alpha} - \frac{1}{\alpha^{2}} e^{\alpha u} \Big|_{-1}^{1} = 2 \left[\frac{\cosh(\alpha)}{\alpha} - \frac{\sinh(\alpha)}{\alpha^{2}} \right]$$

Método 2 (derivada em relação à variável $a = \alpha$)

$$\int_{-1}^{1} u \, e^{\alpha \, u} \mathrm{d}u = \left(\int_{-1}^{1} \frac{\partial}{\partial a} e^{a \, u} \mathrm{d}u \right) \Big|_{a=\alpha} = \left(\frac{\partial}{\partial a} \left[\int_{-1}^{1} e^{a \, u} \mathrm{d}u \right] \right) \Big|_{a=\alpha} = 2 \left(\frac{\partial}{\partial a} \frac{\operatorname{senh}(a)}{a} \right) \Big|_{a=\alpha} = 2 \left[\frac{\operatorname{cosh}(\alpha)}{\alpha} - \frac{\operatorname{senh}(\alpha)}{\alpha^2} \right]$$

Assim:

$$\langle \cos(\theta) \rangle = \frac{1}{A} \int_0^{2\pi} \int_0^{\pi} \cos(\theta) sen(\theta) e^{\alpha \cos(\theta)} \mathrm{d}\theta \mathrm{d}\varphi = \frac{4\pi\alpha}{4\pi senh(\alpha)} \left[\frac{\cosh(\alpha)}{\alpha} - \frac{senh(\alpha)}{\alpha^2} \right] = \cot gh(\alpha) - \alpha^{-1}$$

De forma que finalmente obtemos:

$$P = \mu(\cot gh(\beta\mu\,\varepsilon) - (\beta\mu\,\varepsilon)^{-1})$$

c) Basta, em princípio, plotar a função encontrada no exercício acima.

Se
$$\alpha \gg 1 \Rightarrow \varepsilon \gg \frac{1}{\mu\beta} = \frac{kT}{\mu}$$
, $\alpha^{-1} \approx 0$ e $e^{-\alpha} \approx 0$, portanto:

$$P = \mu(\cot gh(\alpha) - (\alpha)^{-1}) \approx \mu \cot gh(\alpha) = \mu \frac{\cosh(\alpha)}{\sinh(\alpha)}$$

$$=\mu\frac{e^{\alpha}+e^{-\alpha}}{e^{\alpha}-e^{-\alpha}}\approx\mu\frac{e^{\alpha}}{e^{\alpha}}=\mu$$

Observe que se $\alpha \ll 1 \Rightarrow \varepsilon \ll \frac{kT}{\mu}$:

$$P = \mu(\cot gh(\alpha) - (\alpha)^{-1}) \approx \mu\left(\frac{1}{\alpha} + \frac{\alpha}{3} - \frac{1}{\alpha}\right) = \mu\frac{\alpha}{3} = \frac{\beta\mu^2\varepsilon}{3}$$

Daí, plotando $P(\varepsilon)$, a assíntota e a reta, nos dá o gráfico ao lado:

d) Como informa o enunciado:

$$\chi = \frac{\partial P}{\partial \varepsilon} = \frac{\partial \alpha}{\partial \varepsilon} \frac{\partial P}{\partial \alpha}$$

É muito conveniente trabalhar com lpha , pois torna as contas mais curtas...

Como:

$$\alpha = \beta \mu \, \varepsilon \Rightarrow \frac{\partial \alpha}{\partial \varepsilon} = \beta \mu$$

Agora resta calcular:

$$\frac{\partial P}{\partial \alpha} = \frac{\partial}{\partial \alpha} \left(\mu(\cot gh(\alpha) - (\alpha)^{-1}) \right) = \mu \left(\frac{\partial \cot gh(\alpha)}{\partial \alpha} - \frac{\partial(\alpha)^{-1}}{\partial \alpha} \right) = \frac{1}{\alpha^2} + 1 - \cot gh^2(\alpha)$$

Lembrando que se $\alpha \ll 1$:

$$\frac{1}{\alpha^2} + 1 - \cot gh^2(\alpha) \approx 1 + \frac{1}{\alpha^2} - \left(\frac{1}{\alpha} + \frac{\alpha}{3}\right)^2 = \frac{1}{3} - \frac{\alpha^2}{9}$$

De forma que:

$$\chi = \frac{\partial P}{\partial \varepsilon} = \frac{\partial \alpha}{\partial \varepsilon} \frac{\partial P}{\partial \alpha} = \beta \mu^2 \left(\frac{1}{(\beta \mu \, \varepsilon)^2} + 1 - \cot g h^2 (\beta \mu \, \varepsilon) \right)$$

Se $\alpha \ll 1$:

$$\chi \approx \mu^2 \beta \left(\frac{1}{3} - \frac{\alpha^2}{9} \right)$$

De forma que a campo nulo, como $\alpha=\beta\mu\,\varepsilon\Rightarrow\,se\,\,\varepsilon=0$: $\alpha=0$, a susceptibilidade elétrica será:

$$\chi = \frac{\mu^2 \beta}{3} = \frac{\mu^2}{3kT} \propto T^{-1}$$

Conforme pedido pelo enunciado.

Questão 7

Um condutor esférico maciço, de raio a e carregado com carga Q>0, está envolto por um material dielétrico esférico, de constante dielétrica $K=\epsilon/\epsilon_0$ e raio externo b -conforme a figura.

- a) Determine o campo elétricoem todo o espaço e esboce um gráfico de seu módulo E(r).
- b) Determine o potencial no centro das esferas, tomando-se como nulo o ptencial no infinito.
- c) Encontre as distribuições de carga livre e ligada (de polarização) nas esferas condutora e dielétrica. Faça uma figura mostrando onde as densidades de carga se localizam, indicando se são positivas ou negativas.
- d) Calcule a energia eletrostática do sistema.

Solução:

EUF - 2010/2

Questão 1

A interação entre dois átomos de massas m_1 e m_2 , que formam uma molécula, pode ser descrita pelo potencial de Lennard-Jones, dado por:

$$V(x) = A\left[\left(\frac{b}{x}\right)^{12} - 2\left(\frac{b}{x}\right)^{6}\right]$$

no qual A e b são parâmetros positivos e x a separação interatômica. Trate o problema classicamente e despreze qualquer tipo de rotação da molécula.

- a) Determine a posição de equilíbrio em função de A e b.
- b) Calcule a menor energia para dissociar a molécula.
- c) Mostre que o equilíbrio é estável e calcule a frequência de pequenas oscilações em torno da posição de equilíbrio.

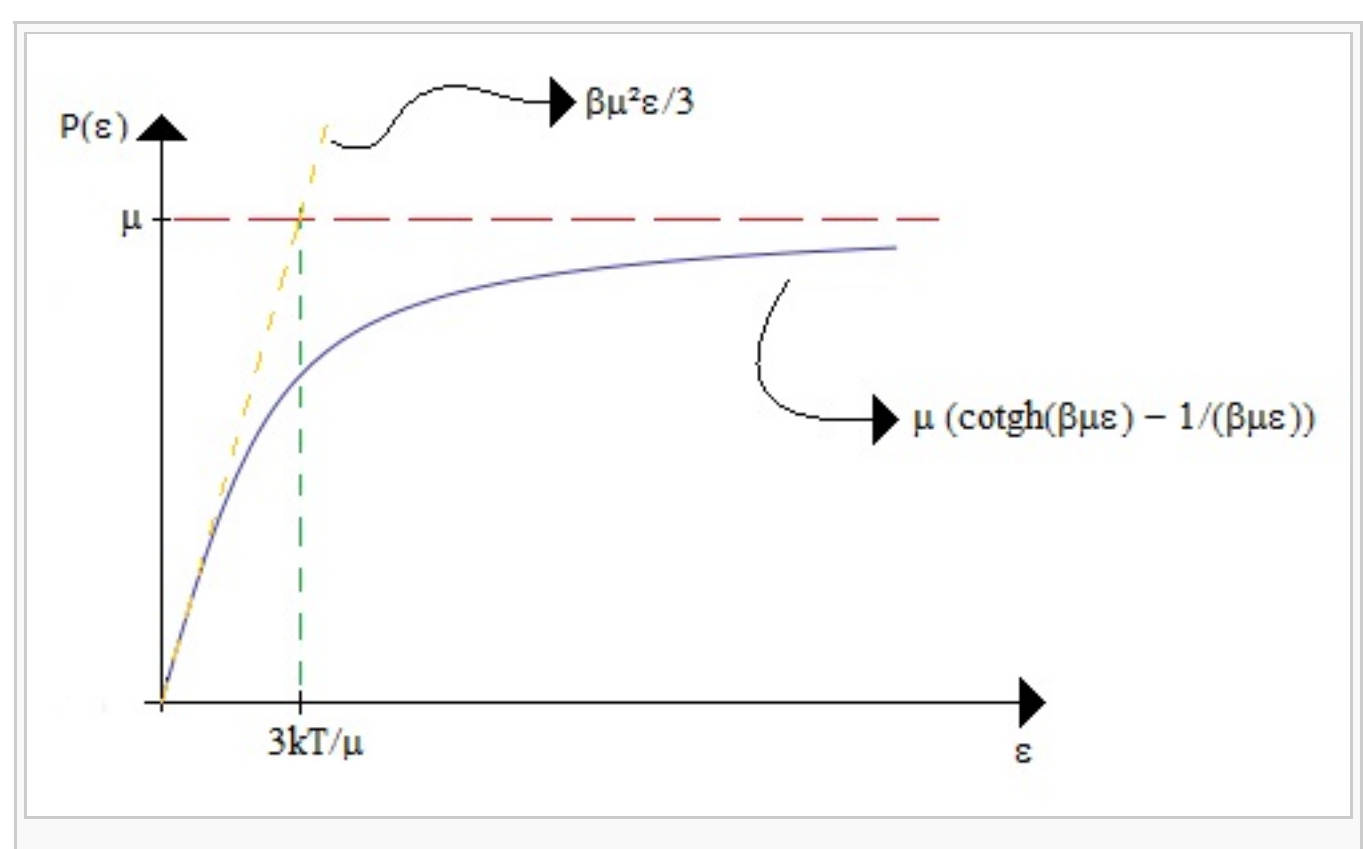


Gráfico do momento de dipolo elétrico médio, e seu comportamento nos limites de $\varepsilon \ll \frac{1}{\mu B}$ e de $\varepsilon \gg \frac{1}{\mu B}$.

d) Desenhe um gráfico do potencial de Lennard-Jones, indicando os parâmetros obtidos no item a) e b).

Solução:

a) Temos um ponto de equilíbrio quando:

$$\frac{\partial V(x)}{\partial x}\Big|_{x_0} = 0$$

Logo:

$$\frac{\partial V(x)}{\partial x}\Big|_{x_0} = A \frac{\partial}{\partial x} \left[\left(\frac{b}{x} \right)^{12} - 2 \left(\frac{b}{x} \right)^6 \right] \Big|_{x_0} = \frac{12b^6 A}{x_0^7} \left(1 - \left(\frac{b}{x_0} \right)^6 \right) = 0 \Rightarrow x_0 = b$$

Assim, temos um ponto de equilíbrio em $x_0 = b$.

Como o próximo item pergunta sobre energia de dissociação, é importante saber se esse ponto de equilíbrio é estável ou não - poderíamos ver isso graficamente de maneira imediata, mas façamos essa conta, apenas para tornar a resolução mais completa.

Para que um ponto de equilíbrio seja estável, é necessário que:

$$\frac{\partial^2 V(x)}{\partial x^2}\Big|_{x_0} > 0$$

Ox2 1x0

Mas:

$$\frac{\partial^2 V(x)}{\partial x^2} = A \frac{\partial}{\partial x} \left\{ \frac{\partial}{\partial x} \left[\left(\frac{b}{x} \right)^{12} - 2 \left(\frac{b}{x} \right)^6 \right] \right\} = 12 A b^6 \frac{\partial}{\partial x} \left(\frac{1}{x^7} - \frac{b^6}{x^{13}} \right) = \frac{12 b^6 A}{x^8} \left(\frac{13 b^6}{x^6} - 7 \right) \therefore \frac{\partial^2 V(x)}{\partial x^2} \Big|_{x_0 = b} = \frac{12 b^6 A}{b^8} \left(\frac{13 b^6}{b^6} - 7 \right) = \frac{60 A}{b^2} > 0$$

neste item.

Pois A e b são parâmetros positivos. Logo temos um ponto de mínimo, ou seja, de equlíbrio estável. Essa verificação é explicitamente pedida no item c), mas já foi feita

b) Para que o molécula se dissocie é necessário fornecer energia suficiente para que ele vá a $x \to \infty$. se olharmos o gráfico do item d), vemos que para que isto ocorra é necessário dar uma energia equivalente à diferença entre o potencial no ponto de mínimo e o potencial para $x \to \infty$, ou seja:

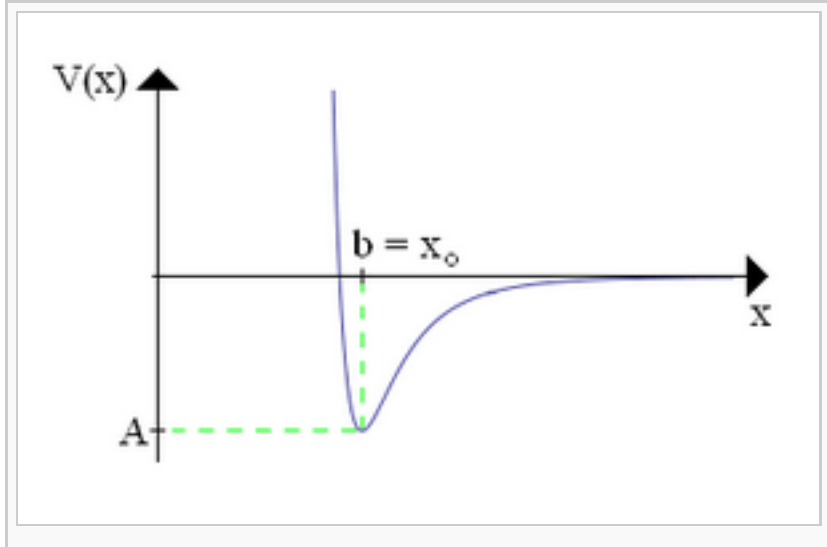
$$\Delta E = V(x \to \infty) - V(x_0 = b) = 0 - V(b) = -\left\{A\left[\left(\frac{b}{b}\right)^{12} - 2\left(\frac{b}{b}\right)^6\right]\right\} = A$$

Logo, para que a molécula se dissocie é necessário fornecermos uma energia $\Delta E = A$.

c) No item a) já verificou-se que x_0 trata-se de um ponto de equilíbrio estável. Resta calcularmos a freqüência para pequenas oscilações. Nesse regime sabemos que, se chamarmos a massa reduzida de μ e a freqüência angular de ω , vale a relação:

$$\frac{\partial^2 V(x)}{\partial x^2}\Big|_{x_0} = \mu \omega^2 = \frac{60A}{b^2} \Rightarrow \omega = \sqrt{\frac{60A}{\mu b^2}} = \sqrt{\frac{60A(m_1 + m_2)}{m_1 m_2 b^2}}$$

d) Vide gráfico ao lado.



Um gráfico do potencial de Lennard-Jones, com os parâmetros A e b devidamente indicados.

Questão 3

Uma fonte produz um feixe de nêutrons com energia cinética média de $0,0133\,eV$ e incerteza relativa na velocidade, $\Delta v/v$, de 10^{-4} . Num determinado instante, a função de onda unidimensional de um nêutron é descrita por um pacote de ondas dado por:

$$\Psi(x) = Ae^{-x^2/2(\Delta x)^2}e^{ik_0x}$$

Nessa expressão, A é uma constante, Δx é a incerteza padrão na posição, e $\hbar k_0$ é o momento linear médio

- a) Estime o comprimento de onda de de Broglie do nêutron e identifique a região do espectro eletromagnético correspondente a esse comprimento de onda.
- b) Estime a temperatura associada a essa fonte de nêutrons.
- c) Determine a constante A, expressando-a em termos de Δ_x nesse caso.
- d) Com um pacote de ondas desse tipo, o produto das incertezas na posição e no momento é o mínimo permitido pelo príncipio da incerteza. Estime Δx neste caso.

Solução:

NOTA: Nesse exercício utilizei, por comodidade, a mesma notação 'implícita' - e, na minha opinião, até um pouco confusa - do exercício, na qual:

$$\begin{split} E &= \bar{E} = \langle E \rangle = \frac{m \langle v^2 \rangle}{2} = \frac{\langle p^2 \rangle}{2m} \\ v &= \langle v \rangle; \ p = \langle p \rangle; \ \Delta x = \sqrt{\langle x^2 \rangle - \langle x \rangle^2}; \ \Delta v = \sqrt{\langle v^2 \rangle - \langle v \rangle^2}; \ \Delta p = \sqrt{\langle p^2 \rangle - \langle p \rangle^2} \\ \gamma &= \frac{1}{\sqrt{1 - \frac{v^2}{c^2}}}; \ \beta = \frac{v}{c} \end{split}$$

Apenas para estabelecer um critério para saber se o sistema é relativístico ou não, vou estabelecer que a partir de $\gamma=1,02$ o sistema é relativístico - isso significa que para β a partir de aproximadamente 0,2 o sistema passa a ser relativístico. Como:

$$E = mc^2(\gamma - 1) \Rightarrow \frac{E}{mc^2} + 1 = \gamma$$

Basta calcular $\frac{E}{mc^2}$ por esse critério e comparar com 0,02. Como $0,0133\,eV\approx 2,131\cdot 10^{-21}\,J$, temos:

$$\frac{E}{mc^2} \approx \frac{2,131 \cdot 10^{-21} J}{1,5074 \cdot 10^{-10} J} \approx 1,414 \cdot 10^{-11} \ll 0,02$$

O que caracteriza um regime clássico, de acordo com nosso critério, de forma que podemos utilizar $E = \frac{mv^2}{2}$ tranquilamente.

OBSERVAÇÃO: É um pouco mais prático efetuar a conta em eV, que ficaria assim...

$$\frac{E}{mc^2} \approx \frac{0.0133 \, eV}{940 \cdot 10^6 \, eV} \approx 1.415 \cdot 10^{-11} \ll 0.02$$

a) Como:

$$E = h\nu = \frac{hc}{\lambda} \Rightarrow \lambda = \frac{hc}{E}$$

Como $0,0133\,eV \approx 2,131\cdot 10^{-21}\,J$, logo:

$$\lambda \approx 9,322 \cdot 10^{-5} \, m$$

Este comprimento de onda se encontra na faixa do infravermelho (de $740\,nm$ até $300\,\mu m$).

b) Para associarmos à energia uma temperatura, podemos usar o teorema da equipartição, de forma que, para um sistema unidimensional, devemos ter a seguinte igualdade:

$$\bar{E} = \left\langle \frac{mv^2}{2} \right\rangle = \frac{kT}{2} \Rightarrow T = \frac{2\bar{E}}{k}$$

Assim:

$$T \approx 308,68 \, K = 35,53 \, ^{\circ}C$$

c) Para determinar a constante A basta utilizarmos a condição de normalização:

$$\int_{-\infty}^{\infty} \Psi^*(x) \Psi(x) dx = \int_{-\infty}^{\infty} |\Psi(x)|^2 dx = 1 = A^2 \int_{-\infty}^{\infty} e^{-x^2/(\Delta x)^2} dx = A^2 \sqrt{\pi} \Delta x \Rightarrow A = \frac{1}{\sqrt[4]{\pi} \sqrt{\Delta x}}$$

d) Como o enunciado informa que o pacote de ondas desse tipo é caracterizado por possuir incerteza mínima, e, como sabemos que:

$$\Delta x \, \Delta p \geqslant \frac{h}{2}$$

Logo, nosso pacote possui a propriedade de que:

$$\Delta x \, \Delta p = \frac{\hbar}{2} \Rightarrow \Delta x = \frac{\hbar}{2 \, \Delta p} = \frac{\hbar}{2 m \, \Delta v} = \frac{\hbar v}{2 n \, \Delta v}$$

Logo, já que o enunciado informa que $p = \hbar k_0$:

$$\Delta x = \frac{\hbar v}{2n \Delta v} = 5 \cdot 10^3 k_0^{-1}$$

OBSERVAÇÃO: Não está claro para mim se 'estimar' significa encontrar um valor numérico, ou se basta deixar tudo em função de k_0 .

Podemos determinar k_0 utilizando a energia cinética média, que se expressa pelo hamiltoniano:

$$H = E = \frac{p^2}{2m}$$

Logo:

$$E = \frac{\langle p^2 \rangle}{2m} = -\frac{\hbar^2}{2m} \int_{-\infty}^{\infty} \Psi^*(x) \frac{\partial^2 \Psi(x)}{\partial x^2} dx$$

Como:

$$\frac{\partial^{2} \Psi(x)}{\partial x^{2}} = \frac{\partial^{2} (Ae^{ik_{0}x}e^{-x^{2}/2(\Delta x)^{2}})}{\partial x^{2}} = \frac{\partial (Ae^{ik_{0}x}e^{-x^{2}/2(\Delta x)^{2}}[ik_{0} - x/(\Delta x)^{2}])}{\partial x}$$

$$= Ae^{ik_{0}x}e^{-x^{2}/2(\Delta x)^{2}} \left[ik_{0} \left(ik_{0} - \frac{x}{(\Delta x)^{2}} \right) - \frac{x}{(\Delta x)^{2}} \left(ik_{0} - \frac{x}{(\Delta x)^{2}} \right) - \frac{1}{(\Delta x)^{2}} \right]$$

Logo:

$$E = -\frac{\hbar^2 A^2}{2m} \int_{-\infty}^{\infty} e^{-x^2/(\Delta x)^2} \left[ik_0 \left(ik_0 - \frac{x}{(\Delta x)^2} \right) - \frac{x}{(\Delta x)^2} \left(ik_0 - \frac{x}{(\Delta x)^2} \right) - \frac{1}{(\Delta x)^2} \right] dx$$
$$= -\frac{\hbar^2 A^2}{2m} \int_{-\infty}^{\infty} e^{-x^2/(\Delta x)^2} \left[-k_0^2 - \frac{2ixk_0}{(\Delta x)^2} + \frac{x^2}{(\Delta x)^4} - \frac{1}{(\Delta x)^2} \right] dx$$

O termo ímpar possui integral nula e assim temos:

$$E = -\frac{\hbar^2 A^2}{2m} \int_{-\infty}^{\infty} e^{-x^2/(\Delta x)^2} \left[\frac{x^2}{(\Delta x)^4} - k_0^2 - \frac{1}{(\Delta x)^2} \right] dx$$

Usando a mudança de variável abaixo:

$$y = \frac{x}{\Delta x}; \, \mathrm{d}y = \frac{\mathrm{d}x}{\Delta x}$$

Ficamos com:

$$\begin{split} E &= -\frac{\hbar^2 A^2 \Delta x}{2m} \int_{-\infty}^{\infty} e^{-y^2} \left[\frac{y^2}{(\Delta x)^2} - k_0^2 - \frac{1}{(\Delta x)^2} \right] \mathrm{d}y = \frac{\hbar^2 A^2 \Delta x \sqrt{\pi}}{2m} \left[k_0^2 + \frac{1}{(\Delta x)^2} \right] - \frac{\hbar^2 A^2 \Delta x}{2m(\Delta x)^2} \int_{-\infty}^{\infty} y^2 e^{-y^2} \mathrm{d}y \\ &= \frac{\hbar^2}{2m} \left[k_0^2 + \frac{1}{(\Delta x)^2} \right] - \frac{\hbar^2}{4m(\Delta x)^2} = \frac{\hbar^2}{2m} \left[k_0^2 + \frac{1}{2(\Delta x)^2} \right] = 1,0001 \cdot \frac{\hbar^2 k_0^2}{2m} \approx 2,131 \cdot 10^{-21} J \end{split}$$

Logo, usando os valores de \hbar e de m - massa do nêutron -, temos:

$$k_0 = 2,5337 \cdot 10^{10} \, m^{-1}$$

Finalmente, temos que, usando o valor de k_0 :

$$\Delta x = 1,9735 \cdot 10^{-7} \, m$$

Questão 8

Uma partícula de massa m encontra-se inicialmente em um poço de potencial unidimensional dado por:

$$V(x) = \begin{cases} \infty, & x \le -L/2 \\ 0, & -L/2 < x < L/2 \\ \infty, & x > L/2 \end{cases}$$

a) Calcule as autofunções e as autoenergias do estado fundamental e do primeiro estado excitado.

b) Considere agora que o potencial expande-se instantaneamente para:

$$V(x) = \begin{cases} \infty, & x \le -L \\ 0, & -L < x < L \\ \infty, & x > L \end{cases}$$

Calcule a probabilidade da partícula realizar uma transição do estado fundamental do primeiro potencial para o primeiro estado excitado do segundo potencial.

- c) Calcule a probabilidade da partícula continuar no estado fundamental após a expansão.
- d) Considere que a partícula se encontre no estado fundamental após a expansão. Calcule a probabilidade da partícula ser encontrada fora da região -L/2 < x < L/2.

Solução:

a) Como o potencial é par, existem soluções pares e ímpares. Independentemente da paridade das soluções, na região fora do poço (|x| > L/2) a função de onda é nula. Para $|x| \le L/2$ vale a equação de Schrödinger:

$$-\frac{\hbar^2}{2m}\frac{\mathrm{d}^2}{\mathrm{d}x^2}\psi(x) = E\psi(x) \Rightarrow \frac{\mathrm{d}^2}{\mathrm{d}x^2}\psi(x) + \frac{2mE}{\hbar^2}\psi(x) = 0$$

Sendo:

$$k^2 = \frac{2mE}{\hbar^2}$$

Cuja solução é:

$$\psi(x) = Asen(kx) + Bcos(kx)$$

Sendo A e B finitos, claramente.

Com as condições de contorno:

$$\psi\left(-\frac{L}{2}\right) = Asen\left(-\frac{kL}{2}\right) + Bcos\left(-\frac{kL}{2}\right) = 0$$

$$\psi\left(\frac{L}{2}\right) = Asen\left(\frac{kL}{2}\right) + Bcos\left(\frac{kL}{2}\right) = 0$$

Logo, com o sistema acima, que pode ser escrito pela matriz:

$$\begin{pmatrix} sen\left(-\frac{kL}{2}\right) & cos\left(-\frac{kL}{2}\right) \\ sen\left(\frac{kL}{2}\right) & cos\left(\frac{kL}{2}\right) \end{pmatrix} \begin{pmatrix} A \\ B \end{pmatrix} = \begin{pmatrix} 0 \\ 0 \end{pmatrix}$$

Que possui soluções não triviais se:

$$sen\left(-\frac{kL}{2}\right)cos\left(\frac{kL}{2}\right)-sen\left(\frac{kL}{2}\right)cos\left(-\frac{kL}{2}\right)=sen\left(-\frac{kL}{2}-\frac{kL}{2}\right)=sen\left(-kL\right)=-sen\left(kL\right)=0 \Rightarrow kL=n\pi \Rightarrow k=\frac{n\pi}{L}$$

Com $n \in \mathbb{Z}$.

Logo:

$$\psi\left(\pm\frac{L}{2}\right) = Asen\left(\pm\frac{n\pi}{2}\right) + Bcos\left(\pm\frac{n\pi}{2}\right) = 0 \Rightarrow \begin{cases} A = 0 \ se \ n \ \acute{e} \ \acute{i}mpar \\ B = 0 \ se \ n \ \acute{e} \ par \end{cases}$$

Logo, para n ímpar:

$$\psi(x) = B\cos\left(\frac{n\pi x}{L}\right)$$

E para n par:

$$\psi(x) = Asen\left(\frac{n\pi x}{L}\right)$$

Nota: para n=0 a função de onda é nula devido à condição de contorno, portanto considere que $n\neq 0$ na normalização das funções de onda que será feita a seguir.

Para n par (com a mudança de variável $w = n\pi x/L$):

$$A^{2} \int_{-L/2}^{L/2} sen^{2} \left(\frac{n\pi x}{L}\right) dx = 1 = 2A^{2} \frac{L}{n\pi} \int_{0}^{n\pi/2} sen^{2} (w) dw = 2A^{2} \frac{L}{n\pi} \left(\frac{w}{2} - \frac{sen(w)cos(w)}{2}\right) \Big|_{0}^{n\pi/2} = 2A^{2} \frac{L}{n\pi} \frac{n\pi}{4} = A^{2} \frac{L}{2} = 1 \Rightarrow A = \sqrt{\frac{2}{L}} \frac{L}{n\pi} \frac{n\pi}{4} = A^{2} \frac{L}{2} = 1 \Rightarrow A = \sqrt{\frac{2}{L}} \frac{L}{n\pi} \frac{n\pi}{4} = A^{2} \frac{L}{2} = 1 \Rightarrow A = \sqrt{\frac{2}{L}} \frac{L}{n\pi} \frac{n\pi}{4} = A^{2} \frac{L}{2} = 1 \Rightarrow A = \sqrt{\frac{2}{L}} \frac{L}{n\pi} \frac{n\pi}{4} = A^{2} \frac{L}{2} = 1 \Rightarrow A = \sqrt{\frac{2}{L}} \frac{L}{n\pi} \frac{n\pi}{4} = A^{2} \frac{L}{2} = 1 \Rightarrow A = \sqrt{\frac{2}{L}} \frac{L}{n\pi} \frac{n\pi}{4} = A^{2} \frac{L}{2} = 1 \Rightarrow A = \sqrt{\frac{2}{L}} \frac{L}{n\pi} \frac{n\pi}{4} = A^{2} \frac{L}{2} = 1 \Rightarrow A = \sqrt{\frac{2}{L}} \frac{L}{n\pi} \frac{n\pi}{4} = A^{2} \frac{L$$

Para n impar (com a mudança de variável $w = n\pi x/L$):

$$A^{2} \int_{-L/2}^{L/2} \cos^{2} \left(\frac{n\pi x}{L} \right) dx = 1 = 2A^{2} \frac{L}{n\pi} \int_{0}^{n\pi/2} \cos^{2} (w) dw = 2A^{2} \frac{L}{n\pi} \left(\frac{w}{2} + \frac{sen(w)cos(w)}{2} \right) \Big|_{0}^{n\pi/2} = 2A^{2} \frac{L}{n\pi} \frac{n\pi}{4} = A^{2} \frac{L}{2} = 1 \Rightarrow A = \sqrt{\frac{2}{L}} \frac{L}{n\pi} \frac{n\pi}{4} = A^{2} \frac{L}{2} = 1 \Rightarrow A = \sqrt{\frac{2}{L}} \frac{L}{n\pi} \frac{n\pi}{4} = A^{2} \frac{L}{2} = 1 \Rightarrow A = \sqrt{\frac{2}{L}} \frac{L}{n\pi} \frac{n\pi}{4} = A^{2} \frac{L}{2} = 1 \Rightarrow A = \sqrt{\frac{2}{L}} \frac{L}{n\pi} \frac{n\pi}{4} = A^{2} \frac{L}{2} = 1 \Rightarrow A = \sqrt{\frac{2}{L}} \frac{L}{n\pi} \frac{n\pi}{4} = A^{2} \frac{L}{2} = 1 \Rightarrow A = \sqrt{\frac{2}{L}} \frac{L}{n\pi} \frac{n\pi}{4} = A^{2} \frac{L}{2} = 1 \Rightarrow A = \sqrt{\frac{2}{L}} \frac{L}{n\pi} \frac{n\pi}{4} = A^{2} \frac{L}{2} = 1 \Rightarrow A = \sqrt{\frac{2}{L}} \frac{L}{n\pi} \frac{n\pi}{4} = A^{2} \frac{L$$

Logo as autofunções ficam:

$$\psi(x) = \begin{cases} \sqrt{\frac{2}{L}} sen\left(\frac{n\pi x}{L}\right); \ para \ n \ par \\ \sqrt{\frac{2}{L}} cos\left(\frac{n\pi x}{L}\right); \ para \ n \ impar \end{cases}$$

Cujas autoenergias são dadas por:

$$E = \frac{\hbar^2 k^2}{2m} = \frac{n^2 \pi^2 \hbar^2}{2mL^2}$$

b) A resolução para esse problema é idêntica a feita no item a), exceto que devemos realizar a troca L o 2L

Logo as autofunções serão:

$$\psi(x) = \begin{cases} \sqrt{\frac{1}{L}} sen\left(\frac{n\pi x}{2L}\right); \ para \ n \ par \\ \sqrt{\frac{1}{L}} cos\left(\frac{n\pi x}{2L}\right); \ para \ n \ impar \end{cases}$$

As autoenergias passaram a ser:

$$E = \frac{\hbar^2 k^2}{2m} = \frac{n^2 \pi^2 \hbar^2}{8mL^2}$$

Vou denotar os estados do potencial antigo por $|n_v\rangle$, e os estados do potencial novo por $|n_n\rangle$ com $n\in\mathbb{N}^*$ nos dois casos.

Logo a probabilidade de obtermos uma transição entre o estado fundamental do potencial antigo ($|1_v\rangle$) e o estado primeiro estado excitado do potencial novo ($|2_n\rangle$) é dada por:

$$P_{|1_v\rangle \rightarrow |2_n\rangle} = |\langle 2_n | 1_v \rangle|^2 = \langle 2_n | 1_v \rangle (\langle 2_n | 1_v \rangle)^*$$

Logo só temos que calcular $\langle 2_n|1_v \rangle$ - lembre-se que a função de onda antiga é nula para |x|>L/2 e que a função de onda nova é nula para |x|>L:

$$\langle 2_n | 1_v \rangle = \int_{-\infty}^{\infty} \langle 2_n | x \rangle \langle x | 1_v \rangle dx = \frac{\sqrt{2}}{L} \int_{-L/2}^{L/2} sen\left(\frac{\pi x}{L}\right) cos\left(\frac{\pi x}{L}\right) dx = 0$$

Por ser a integral de uma função ímpar num intervalo par.

_

Logo:

$$\mathcal{P}_{|1_v\rangle \to |2_n\rangle} = 0$$

c) Logo a probabilidade de obtermos uma transição entre o estado fundamental do potencial antigo ($|1_v\rangle$) e o estado fundamental do potencial novo ($|1_n\rangle$) é dada por:

$$P_{|1_v\rangle \to |1_n\rangle} = |\langle 1_n | 1_v \rangle|^2 = \langle 1_n | 1_v \rangle (\langle 1_n | 1_v \rangle)^*$$

Logo só temos que calcular $\langle 1_n|1_v
angle$ - lembre-se que a função de onda antiga é nula para |x|>L/2 e que a função de onda nova é nula para |x|>L :

$$\langle \mathbf{1}_n | \mathbf{1}_v \rangle = \int_{-\infty}^{\infty} \langle \mathbf{1}_n | x \rangle \langle x | \mathbf{1}_v \rangle \mathrm{d}x = \frac{\sqrt{2}}{L} \int_{-L/2}^{L/2} \cos\left(\frac{\pi x}{2L}\right) \cos\left(\frac{\pi x}{L}\right) \mathrm{d}x$$

Realizando a troca de variável $w = \frac{\pi x}{2L}$:

$$\frac{2\sqrt{2}}{\pi} \int_{-\pi/4}^{\pi/4} \cos(w) \cos(2w) \mathrm{d}w = \frac{2\sqrt{2}}{\pi} \frac{3 sen(w) + sen(3w)}{6} \Big|_{-\pi/4}^{\pi/4} = \frac{2\sqrt{2}}{\pi} \frac{2\sqrt{2}}{3} = \frac{8}{3\pi}$$

Logo:

$$P_{|1_v\rangle \to |1_n\rangle} = \frac{64}{9\pi^2} \approx 0,7205 = 72,05\%$$

d) A probabilidade de se encontrar a partícula fora da região -L/2 < x < L/2 é dada por - com a mudança de variável $w = \frac{\pi x}{2L}$:

$$\mathcal{P} = \int_{-L}^{-L/2} \psi(x)^* \psi(x) dx + \int_{L/2}^{L} \psi(x)^* \psi(x) dx = \frac{1}{L} \int_{-L}^{-L/2} \cos^2\left(\frac{\pi x}{2L}\right) dx + \frac{1}{L} \int_{L/2}^{L} \cos^2\left(\frac{\pi x}{2L}\right) dx = \frac{2}{L} \int_{L/2}^{L} \cos^2\left(\frac{\pi x}{2L}\right) dx$$

$$= \frac{4}{\pi} \int_{\pi/4}^{\pi/2} \cos^2(w) dw = \frac{2}{\pi} \left(w + \sin(w)\cos(w)\right) \Big|_{\pi/4}^{\pi/2} = 1 - \frac{1}{2} - \frac{1}{\pi} = \frac{1}{2} - \frac{1}{\pi} = \frac{\pi - 2}{2\pi} \approx 0, 1817 = 18, 17\%$$

EUF - 2011/1

Questão 3

Para os itens a), b) e c), admita que no modelo de Bohr para uma partícula de massa m se movendo numa órbita circular de raio r e velocidade v, a força Coulombiana fosse substituída por uma força central do atrativa de intensidade kr (sendo k uma constante). Admita que os postulados de Bohr sejam válidos para este sistema. Para esta situação:

- a) Deduza a expressão para os raios r_n das órbitas de Bohr permitidas neste modelo em função do número quântico n e das constantes k, \hbar e m. Diga quais os valores possíveis de n neste caso.
- b) Lembrando que para o caso desta força central, a energia potencial correspondente é $V(r) = kr^2/2$, deduza a expressão para as energias E_n das órbitas permitidas em função do número quântico n e das constantes k, \hbar e m. Determine a freqüência irradiada quando a partícula faz uma transição de uma órbita para outra adjacente.
- c) Calcule o comprimento de onda de de Broglie associado à partícula em um estado de energia correspondente ao número quântico n=2 em função de k, \hbar e m.

Para o item d), considere um feixe de raios-X, contendo radiação de dois comprimentos de onda distintos, difratados por um cristal cuja distância interplanar é 1nm (ou $10^{-9}m$). A figura abaixo apresenta o espectro de intensidade na região de pequenos ângulos (medidos em relação à direção do feixe incidente).

Determine os comprimentos de onda dos raios-X presentes no feixe. Utilize $\pi \approx 3,14152 \approx 3$.

Solução:

Questão 6

- Coloca-se uma esfera metálica descarregada, de raio R, numa região do espaço inicialmente preenchida por um campo elétrico dado por $\vec{E}_i = E_0 \hat{k}$. Escolha a origem do sistema de coordenadasno centro da esfera.
- a) Esboce as linhas do campo em toda a região do espaço. Justifique o esboço utilizando argumentos físicos.
- b) Determine o campo elétrico $\vec{E}_f(\vec{r})$ em toda a região do espaço. Em particular, encontre os campos para os pontos em que $|\vec{r}| \gg R$ e $|\vec{r}| \approx R$ e verifique se eles são consistentes com o esboço do item a).
- c) Ache a densidade de carga na esfera. Se R=10cm e $E_0=100N/C$, calcule as cargas acumuladas nos hemisférios norte e sul da esfera.
- d) Suponha que a esfera metálica seja substituída por uma esfera dielétrica. Discuta qualitativamente o que ocorre neste caso e esboce as linhas de campo em toda a região do espaço.

Solução:

Questão 8

Considere uma partícula de massa m na presença de um potencial harmônico $V(x) = m\omega^2 x^2/2$, onde ω é a frequência ongular do oscilador e x é a coordenada da partícula (este é um problema unidimensional...).

a) São dadas as funções de onda estacionárias correspondentes ao estado fundamental ψ_0 e ao primeiro estado excitado ψ_1 :

$$\psi_0(x) = Ae^{-m\omega x^2/2\hbar}$$

$$\psi_1(x) = Bxe^{-m\omega x^2/2\hbar}$$

nas quais $A \in B$ são constantes de normalização. Calcule $A \in B$ supondo que as funções de onda sejam reais.

b) Seja E_0 a energia do estado fundamental. Sabemos que $E_1=E_0+\hbar\omega$ para o primeiro estado excitado, já que o quantum de energia do oscilador é $\hbar\omega$. Usando a equação de Schrödinger, encontre a energia E_0 .

c) Para os estados estacionários, o valor médio da posição $\langle x \rangle$ é sempre nulo. Construa uma função de onda não estacionária como combinação linear de ψ_0 e ψ_1 com coeficientes reais tais que o valor médio $\langle x \rangle$ seja o maior possível. Em outras palavras, considere o estado normalizado:

$$\psi(x) = \sqrt{1 - \beta^2} \psi_0(x) + \beta \psi_1(x)$$

com $0 \le \beta^2 \le 1$ e determine o coeficiente β que maximiza o valor de $\langle x \rangle$.

d) Suponha que a função de onda construída no item anterior descreva o estado do oscilador harmônico no tempo t=0. Escreva a função de onda do estado para um tempo t>0 arbitrário, supondo que nenhuma medição foi feita sobre o sistema. Para esse estado avalie o valor médio da posição $\langle x \rangle(t)$ em função do tempo.

Solução:

a) Como as funções de onda são reais $|\psi_i(x)|^2 = (\psi_i(x))^2$, logo a condição de normalização se torna:

$$\int_{-\infty}^{\infty} |\psi_i(x)|^2 dx = \int_{-\infty}^{\infty} (\psi_i(x))^2 dx = 1$$

Logo:

$$\int_{-\infty}^{\infty} (\psi_0(x))^2 dx = 1 = A^2 \int_{-\infty}^{\infty} e^{-m\omega x^2/\hbar} dx = A^2 \sqrt{\frac{\pi \hbar}{m\omega}} = 1 \Rightarrow A = \sqrt[4]{\frac{m\omega}{\pi \hbar}}$$

Também temos - com $\alpha = m\omega/\hbar$:

$$\int_{-\infty}^{\infty} (\psi_1(x))^2 dx = 1 = B^2 \int_{-\infty}^{\infty} x^2 e^{-\alpha x^2} dx = -B^2 \frac{\partial}{\partial \alpha} \left(\int_{-\infty}^{\infty} e^{-\alpha x^2} dx \right) = -B^2 \frac{\partial}{\partial \alpha} \left(\sqrt{\frac{\pi}{\alpha}} \right) = \frac{B^2}{2} \sqrt{\frac{\pi}{\alpha^3}} = \frac{B^2}{2} \sqrt{\frac{\pi \hbar^3}{m^3 \omega^3}} = 1 \Rightarrow B = \sqrt[4]{\frac{4m^3 \omega^3}{\pi \hbar^3}}$$

Na resolução dos próximos ítens, vamos utilizar A e B por conveniência.

b) A equação de Schrödinger é dada por:

$$-\frac{\hbar^2}{2m}\frac{d^2}{dx^2}\psi_0(x) + V(x)\psi_0(x) = E_0\psi(x)$$

Logo, ao aplicá-la a $\psi_0(x)$, obtemos:

$$-\frac{\hbar^2}{2m}\frac{\mathrm{d}^2}{\mathrm{d}x^2}\psi_0(x) + V(x)\psi_0(x) = E_0\psi_0(x) \Rightarrow \frac{\hbar\omega}{2}\frac{\mathrm{d}}{\mathrm{d}x}\left(xe^{-m\omega x^2/2\hbar}\right) + V(x)e^{-m\omega x^2/2\hbar} = E_0e^{-m\omega x^2/2\hbar}$$

$$\Rightarrow \frac{\hbar\omega}{2}e^{-m\omega x^2/2\hbar} - \frac{m\omega^2 x^2}{2}e^{-m\omega x^2/2\hbar} + \frac{m\omega^2 x^2}{2}e^{-m\omega x^2/2\hbar} = E_0e^{-m\omega x^2/2\hbar} \Rightarrow E_0 = \frac{\hbar\omega}{2}$$

Que é o resultado esperado se lembrarmos que a energia de um oscilador harmônico quântico é dada por:

$$E_n = \left(n + \frac{1}{2}\right)\hbar\omega$$

c) Por definição:

$$\begin{split} \langle x \rangle &= \int_{-\infty}^{\infty} \psi^*(x) x \psi(x) \mathrm{d}x = \int_{-\infty}^{\infty} \left[\left(\sqrt{1 - \beta^2} \right)^* \psi_0^*(x) + \beta^* \psi_1^*(x) \right] x \left[\sqrt{1 - \beta^2} \psi_0(x) + \beta \psi_1(x) \right] \mathrm{d}x \\ &= \int_{-\infty}^{\infty} x \left[|\sqrt{1 - \beta^2}|^2 |\psi_0(x)|^2 + |\beta|^2 |\psi_1(x)|^2 + \beta^* \psi_1^*(x) \sqrt{1 - \beta^2} \psi_0(x) + \beta \psi_1(x) \sqrt{1 - \beta^2}^* \psi_0^*(x) \right] \mathrm{d}x \end{split}$$

Os termos não mistos são funções ímpares, logo suas respectivas integrais são nulas. Assim:

$$\langle x \rangle = \int_{-\infty}^{\infty} \psi^{*}(x) x \psi(x) dx = \int_{-\infty}^{\infty} x \left[\beta^{*} \psi_{1}^{*}(x) \sqrt{1 - \beta^{2}} \psi_{0}(x) + \beta \psi_{1}(x) \sqrt{1 - \beta^{2}}^{*} \psi_{0}^{*}(x) \right] dx$$
$$= \int_{-\infty}^{\infty} x^{2} \beta^{*} B^{*} A e^{-\alpha x^{2}} \sqrt{1 - \beta^{2}} dx + \int_{-\infty}^{\infty} x^{2} A^{*} B \beta e^{-\alpha x^{2}} \sqrt{1 - \beta^{2}}^{*} dx$$

Como
$$A=A^*$$
 , $B=B^*$, $\beta=\beta^*$ e $\sqrt{1-\beta^2}=\sqrt{1-\beta^2}^*$, temos:

$$\langle x \rangle = AB(\beta^* \sqrt{1-\beta^2} + \beta \sqrt{1-\beta^2}^*) \int_{-\infty}^{\infty} x^2 e^{-\alpha x^2} \mathrm{d}x = \sqrt{2} \sqrt{\frac{\hbar}{m\omega}} \beta \sqrt{1-\beta^2} = \gamma \beta \sqrt{1-\beta^2}$$

Com:

$$\gamma = \sqrt{2} \sqrt{\frac{\hbar}{m\omega}}$$

Para extremalizar esse valor basta tomarmos a derivada e igualarmos a zero:

$$\frac{\mathrm{d}\langle x\rangle}{\mathrm{d}\beta}\Big|_{\beta_0} = \frac{\mathrm{d}}{\mathrm{d}\beta}\left(\gamma\beta\sqrt{1-\beta^2}\right)\Big|_{\beta_0} = \gamma\sqrt{1-\beta^2} - \gamma\beta^2\frac{1}{\sqrt{1-\beta^2}}\Big|_{\beta_0} = 0 \Rightarrow \sqrt{1-\beta_0^2} - \beta_0^2\frac{1}{\sqrt{1-\beta_0^2}} = 0 \Rightarrow 1-2\beta_0^2 = 0 \Rightarrow \beta_0 = \pm\sqrt{\frac{1}{2}}$$

Portanto temos como raízes:

$$\beta_{0+} = \sqrt{\frac{1}{2}}; \, \beta_{0-} = -\sqrt{\frac{1}{2}}$$

Agora vamos ver que tipo de extremos as soluções constituem:

$$\frac{d^2\langle x \rangle}{d\beta^2}\Big|_{\beta_{0\pm}} = \frac{d}{d\beta} \left(\gamma \sqrt{1-\beta^2} - \gamma \beta^2 \frac{1}{\sqrt{1-\beta^2}} \right) \Big|_{\beta_{0\pm}} = -\gamma \beta^2 \frac{1}{\sqrt{1-\beta^2}} - 2\gamma \beta \frac{1}{\sqrt{1-\beta^2}} - \gamma \beta^3 \frac{1}{(1-\beta^2)^{3/2}} \Big|_{\beta_{0\pm}}$$

Como:

$$-\gamma \beta^2 \frac{1}{\sqrt{1-\beta^2}} - 2\gamma \beta \frac{1}{\sqrt{1-\beta^2}} - \gamma \beta^3 \frac{1}{(1-\beta^2)^{3/2}} \Big|_{\beta_{0+}} = -\gamma \frac{\sqrt{2}}{2} - 2\gamma - \gamma = -\gamma \left(3 + \frac{\sqrt{2}}{2}\right) < 0$$

Portanto β_{0+} constitue ponto de máximo.

Como:

$$-\gamma \beta^2 \frac{1}{\sqrt{1-\beta^2}} - 2\gamma \beta \frac{1}{\sqrt{1-\beta^2}} - \gamma \beta^3 \frac{1}{(1-\beta^2)^{3/2}} \Big|_{\beta_{0-}} = -\gamma \frac{\sqrt{2}}{2} + 2\gamma + \gamma = \gamma \left(3 - \frac{\sqrt{2}}{2}\right) > 0$$

Portanto β_{0-} constitue ponto de mínimo.

Logo o valor de eta que maximiza o valor médio da posição para a função de onda proposta é $eta=eta_{0+}=\sqrt{rac{1}{2}}$

d) A função de onda de acordo com o item anterior, é dada por:

$$\psi(x) = \sqrt{1 - \beta_{0+}^2} \psi_0(x) + \beta_{0+} \psi_1(x)$$

De forma que:

$$\psi(x,t) = \sqrt{1 - \beta_{0+}^2} \psi_0(x) e^{-iE_0t/\hbar} + \beta_{0+} \psi_1(x) e^{-iE_1t/\hbar} = \sqrt{1 - \beta_{0+}^2} \psi_0(x,t) + \beta_{0+} \psi_1(x,t)$$

Logo, por definição:

$$\langle x(t) \rangle = \int_{-\infty}^{\infty} \psi^*(x,t) x \psi(x,t) dx = \int_{-\infty}^{\infty} x \left[|\sqrt{1-\beta^2}|^2 |\psi_0(x,t)|^2 + |\beta|^2 |\psi_1(x,t)|^2 + \beta^* \psi_1^*(x,t) \sqrt{1-\beta^2} \psi_0(x,t) + \beta \psi_1(x,t) \sqrt{1-\beta^2}^* \psi_0^*(x,t) \right] dx$$

Os termos não mistos são funções ímpares, logo suas respectivas integrais são nulas. Assim:

$$\langle x(t) \rangle = \frac{1}{2} \int_{-\infty}^{\infty} x \left[\psi_1^*(x,t) \psi_0(x,t) + \psi_1(x,t) \psi_0^*(x,t) \right] \mathrm{d}x = \frac{1}{2} \int_{-\infty}^{\infty} x \left[B^* x e^{-m\omega x^2/2\hbar} e^{iE_1t/\hbar} A e^{-m\omega x^2/2\hbar} e^{-iE_0t/\hbar} + B x e^{-m\omega x^2/2\hbar} e^{-iE_1t/\hbar} A^* e^{-m\omega x^2/2\hbar} e^{iE_0t/\hbar} \right] \mathrm{d}x = \frac{1}{2} \int_{-\infty}^{\infty} x \left[B^* x e^{-m\omega x^2/2\hbar} e^{iE_1t/\hbar} A e^{-m\omega x^2/2\hbar} e^{-iE_0t/\hbar} + B x e^{-m\omega x^2/2\hbar} e^{-iE_1t/\hbar} A^* e^{-m\omega x^2/2\hbar} e^{-iE_0t/\hbar} \right] \mathrm{d}x = \frac{1}{2} \int_{-\infty}^{\infty} x \left[B^* x e^{-m\omega x^2/2\hbar} e^{-iE_0t/\hbar} + B x e^{-m\omega x^2/2\hbar} e^{-iE_1t/\hbar} A^* e^{-m\omega x^2/2\hbar} e^{-iE_0t/\hbar} \right] \mathrm{d}x$$

Como $A = A^* e B = B^*$:

$$\begin{split} \langle x(t) \rangle &= \frac{1}{2} A B \left[e^{i(E_1 - E_0)t/\hbar} + e^{-i(E_1 - E_0)t/\hbar} \right] \int_{-\infty}^{\infty} x^2 e^{-\alpha x^2} \mathrm{d}x = -\frac{1}{\sqrt{\pi}} \frac{m\omega}{\hbar} \cos\left(\frac{(E_1 - E_0)t}{\hbar}\right) \frac{\partial}{\partial \alpha} \left(\int_{-\infty}^{\infty} e^{-\alpha x^2} \mathrm{d}x\right) = -\frac{m\omega}{\hbar} \cos\left(\frac{(E_1 - E_0)t}{\hbar}\right) \frac{\partial}{\partial \alpha} \left(\sqrt{\frac{1}{\alpha}}\right) \\ &= \frac{m\omega}{\sqrt{2}\hbar} \cos\left(\frac{(E_1 - E_0)t}{\hbar}\right) \sqrt{\frac{1}{\alpha^3}} = \sqrt{\frac{\hbar}{2m\omega}} \cos\left(\frac{(E_1 - E_0)t}{\hbar}\right) \end{split}$$

Questão 9

Seja uma partícula com momento angular l=1.

- a) Na representação onde as matrizes L^2 e L_z são diagonais, obtenha a matriz da compoenete L_x . Lembre que a matriz de L_x deve representar um operador hermitiano. Sugere-se que se utilize os operadores escada L_+ e L_- .
- b) Calcule os autovalores de $L_{\scriptscriptstyle x}$.
- c) Encontre o autovetor de L_x com o maior autovalor.
- d) Suponha agora que você encontrou o maior autovalor numa medição de L_x . Calcule as probabilidades de medir, respectivamente, $+\hbar$, 0 e $-\hbar$ numa medição posterior de L_x .

Solução:

a) Sabemos que:

$$L_{+} = L_{x} + iL_{y}; L_{-} = L_{x} - iL_{y}$$

Portanto
$$L_x = \frac{L_+ + L_-}{2}$$
.

Sabemos, também, que:

$$L_{+}|l,m\rangle = \hbar\sqrt{l(l+1) - m(m+1)}|l,m+1\rangle$$

$$L_{-}|l, m\rangle = \hbar \sqrt{l(l+1) - m(m-1)}|l, m-1\rangle$$

Logo, como para l = 1, os estados possíveis são:

$$|1,1\rangle$$
; $|1,0\rangle$ e $|1,-1\rangle$

Dessa forma:

$$L_{+}|1,1\rangle = \hbar\sqrt{1(1+1)-1(1+1)}|1,2\rangle = 0|1,2\rangle$$

$$L_{+}|1,0\rangle = \hbar\sqrt{1(1+1) - 0(0+1)}|1,1\rangle = \hbar\sqrt{2}|1,1\rangle$$

$$L_{+}|1,-1\rangle = \hbar\sqrt{1(1+1)-(-1)(-1+1)}|1,0\rangle = \hbar\sqrt{2}|1,0\rangle$$

Portanto os elementos de matriz não nulos são:

$$\langle 1, 1|L_{+}|1, 0\rangle = \hbar\sqrt{2}\langle 1, 1|1, 1\rangle = \hbar\sqrt{2}$$

$$\langle 1, 0 | L_{+} | 1, -1 \rangle = \hbar \sqrt{2} \langle 1, 0 | 1, 0 \rangle = \hbar \sqrt{2}$$

Sendo todos os outros elementos de matriz nulos, incluindo:

$$\langle 1, 1|L_{+}|1, 1\rangle = 0\langle 1, 1|1, 2\rangle = 0$$

Dessa forma fazemos a identificação:

$$L_{+} \rightarrow \begin{bmatrix} \langle 1, 1|L_{+}|1, 1\rangle & \langle 1, 1|L_{+}|1, 0\rangle & \langle 1, 1|L_{+}|1, -1\rangle \\ \langle 1, 0|L_{+}|1, 1\rangle & \langle 1, 0|L_{+}|1, 0\rangle & \langle 1, 0|L_{+}|1, -1\rangle \end{bmatrix} = \begin{bmatrix} 0 & \hbar\sqrt{2} & 0 \\ 0 & 0 & \hbar\sqrt{2} \\ 0 & 0 & 0 \end{bmatrix}$$

Analogamente:

$$L_{-}|1,1\rangle = \hbar\sqrt{1(1+1)-1(1-1)}|1,0\rangle = \hbar\sqrt{2}|1,0\rangle$$

$$L_{-}|1,0\rangle = \hbar\sqrt{1(1+1)-0(0-1)}|1,-1\rangle = \hbar\sqrt{2}|1,-1\rangle$$

$$L_{-}|1,-1\rangle = \hbar\sqrt{1(1+1)-(-1)(-1-1)}|1,-2\rangle = 0|1,-2\rangle$$

Portanto os elementos de matriz não nulos são:

$$\langle 1, 0 | L_{-} | 1, 1 \rangle = \hbar \sqrt{2} \langle 1, 0 | 1, 0 \rangle = \hbar \sqrt{2}$$

$$\langle 1, -1|L_{-}|1, 0\rangle = \hbar\sqrt{2}\langle 1, -1|1, -1\rangle = \hbar\sqrt{2}$$

Sendo todos os outros elementos de matriz nulos, incluindo:

$$\langle 1, -1|L_{-}|1, -1\rangle = 0\langle 1, -1|1, -2\rangle = 0$$

Dessa forma fazemos a identificação:

$$L_{-} \rightarrow \begin{bmatrix} \langle 1, 1|L_{-}|1, 1\rangle & \langle 1, 1|L_{-}|1, 0\rangle & \langle 1, 1|L_{-}|1, -1\rangle \\ \langle 1, 0|L_{-}|1, 1\rangle & \langle 1, 0|L_{-}|1, 0\rangle & \langle 1, 0|L_{-}|1, -1\rangle \end{bmatrix} = \begin{bmatrix} 0 & 0 & 0 \\ \hbar\sqrt{2} & 0 & 0 \\ 0 & \hbar\sqrt{2} & 0 \end{bmatrix}$$

Logo:

$$L_{x} = \frac{L_{+} + L_{-}}{2} \to \frac{1}{2} \begin{bmatrix} 0 & \hbar\sqrt{2} & 0 \\ 0 & 0 & \hbar\sqrt{2} \\ 0 & 0 & 0 \end{bmatrix} + \frac{1}{2} \begin{bmatrix} 0 & 0 & 0 \\ \hbar\sqrt{2} & 0 & 0 \\ 0 & \hbar\sqrt{2} & 0 \end{bmatrix} = \frac{1}{2} \begin{bmatrix} 0 & \hbar\sqrt{2} & 0 \\ \hbar\sqrt{2} & 0 & \hbar\sqrt{2} \\ 0 & \hbar\sqrt{2} & 0 \end{bmatrix} = \frac{\hbar}{\sqrt{2}} \begin{bmatrix} 0 & 1 & 0 \\ 1 & 0 & 1 \\ 0 & 1 & 0 \end{bmatrix}$$

Que é claramente hermitiano.

Nota: Como $L_x = \frac{L_+ + L_-}{2}$, e sabemos as propriedades dos operadores L_+ e L_- , ou seja, sabemos que a única ação que os operadores fazem sobre a função de onda na base $|l,m\rangle$ são (respectivamente) de 'adicionar' ao número quântico m uma unidade e de 'subtrair' ao número quântico m uma unidade; poder-se-ia utilizar tal fato para notar que ao calcular a matriz de L_x só podemos obter termos nas diagonais imediatamente acima e imediatamente abaixo da diagonal principal da matriz, diminuindo o número de elementos de matriz necessários a se calcular. É possível utilizar tal argumento para justificar o cálculo de apenas elementos não-nulos de L_+ e de L_- .

b) Para calcular os autovalores de L_x basta efetuar:

$$L_x|l,m\rangle = \lambda|l,m\rangle$$

Obteremos três autovalores que batizaremos de λ_+ , λ_0 e λ_- .

Logo:

$$\det \begin{pmatrix} -\lambda & \frac{\hbar}{\sqrt{2}} & 0\\ \frac{\hbar}{\sqrt{2}} & -\lambda & \frac{\hbar}{\sqrt{2}}\\ 0 & \frac{\hbar}{\sqrt{2}} & -\lambda \end{pmatrix} = 0 = (-\lambda)^3 + \lambda \hbar^2 \Rightarrow \lambda^3 - \lambda \hbar^2 = 0 \Rightarrow \lambda(\lambda - \hbar)(\lambda + \hbar) = 0$$

Portanto os autovalores dessa matriz são:

$$\lambda_{+}=\hbar$$
; $\lambda_{0}=0$; $\lambda_{-}=-\hbar$

c) O maior autovalor de L_x é $\lambda_+ = \hbar$. Para calcular o autovetor correspondente a este autovalor, basta notar que, por definição, autovetor é um vetor que segue a propriedade:

$$L_x|\psi\rangle = \lambda|\psi\rangle$$

-1.,

$$L_x|+_x\rangle = \lambda_+|+_x\rangle \to \begin{bmatrix} 0 & \frac{\hbar}{\sqrt{2}} & 0\\ \frac{\hbar}{\sqrt{2}} & 0 & \frac{\hbar}{\sqrt{2}} \\ 0 & \frac{\hbar}{\sqrt{2}} & 0 \end{bmatrix} \begin{bmatrix} a\\b\\c \end{bmatrix} = \hbar \begin{bmatrix} a\\b\\c \end{bmatrix}$$

Logo:

$$\hbar \begin{bmatrix} \frac{b}{\sqrt{2}} \\ \frac{a+c}{\sqrt{2}} \\ \frac{b}{\sqrt{2}} \end{bmatrix} = \hbar \begin{bmatrix} a \\ b \\ c \end{bmatrix} \Rightarrow a = \frac{b}{\sqrt{2}} = c : \begin{bmatrix} a \\ b \\ c \end{bmatrix} = \begin{bmatrix} \frac{b}{\sqrt{2}} \\ b \\ \frac{b}{\sqrt{2}} \end{bmatrix}$$

Como sabemos que a função de onda é normalizada, ou seja, $\langle +_x | +_x \rangle = 1$ temos que:

$$\begin{bmatrix} \frac{b^*}{\sqrt{2}} & b^* & \frac{b^*}{\sqrt{2}} \end{bmatrix} \begin{bmatrix} \frac{b}{\sqrt{2}} \\ b \\ \frac{b}{\sqrt{2}} \end{bmatrix} = |b|^2 \left(\frac{1}{2} + 1 + \frac{1}{2} \right) = 2|b|^2 = 1 \Rightarrow b = \frac{1}{\sqrt{2}} e^{i\varphi}$$

Com φ sendo uma fase arbitrária, que nesse caso pode ser escolhida de forma que o número b seja real.

Assim o autovetor será:

$$|+_x\rangle \rightarrow \begin{bmatrix} \frac{1}{2} \\ \frac{1}{\sqrt{2}} \\ \frac{1}{2} \end{bmatrix}$$

d) Conforme dito no enunciado, não há evolução temporal, logo, temos inicialmente:

$$|+_x\rangle \rightarrow \begin{bmatrix} \frac{1}{2} \\ \frac{1}{\sqrt{2}} \\ \frac{1}{2} \end{bmatrix}$$

Sabemos que, L_z é representado por uma matriz diagonal, cujos autovalores são \hbar , 0, $-\hbar$ e cujos respectivos autovetores são:

$$\begin{bmatrix} 1 \\ 0 \\ 0 \end{bmatrix} \equiv |+\rangle \; ; \; \begin{bmatrix} 0 \\ 1 \\ 0 \end{bmatrix} \equiv |0\rangle \; ; \; \begin{bmatrix} 0 \\ 0 \\ 1 \end{bmatrix} \equiv |-\rangle$$

Assim para calcular a probabilidade de se obter, numa determinada medição na direção z, o valor ħ, devemos efetuar:

$$\mathcal{P}_{+} = |\langle +|+_{x}\rangle|^{2} = \left| \begin{bmatrix} 1 & 0 & 0 \end{bmatrix} \begin{bmatrix} \frac{1}{2} \\ \frac{1}{\sqrt{2}} \\ \frac{1}{2} \end{bmatrix} \right|^{2} = \left| \frac{1}{2} \right|^{2} = \frac{1}{4} = 0, 25 = 25\%$$

Assim para calcular a probabilidade de se obter, numa determinada medição na direção z, o valor 0, devemos efetuar:

$$\mathcal{P}_0 = |\langle 0|+_x \rangle|^2 = \left| \begin{bmatrix} 0 & 1 & 0 \end{bmatrix} \begin{bmatrix} \frac{1}{2} \\ \frac{1}{\sqrt{2}} \\ \frac{1}{2} \end{bmatrix} \right|^2 = \left| \frac{1}{\sqrt{2}} \right|^2 = \frac{1}{2} = 0, 50 = 50\%$$

Assim para calcular a probabilidade de se obter, numa determinada medição na direção z, o valor $-\hbar$, devemos efetuar:

$$\mathcal{P}_{-} = |\langle -|+_{x}\rangle|^{2} = \left| \begin{bmatrix} 0 & 0 & 1 \end{bmatrix} \begin{bmatrix} \frac{1}{2} \\ \frac{1}{\sqrt{2}} \\ \frac{1}{2} \end{bmatrix} \right|^{2} = \left| \frac{1}{2} \right|^{2} = \frac{1}{4} = 0, 25 = 25\%$$

Note que, conforme esperado:

$$\mathcal{P}_+ + \mathcal{P}_0 + \mathcal{P}_- = 1$$

Observação adicional: tanto $\ket{+_x}$ quanto $\ket{+}$, $\ket{0}$ e $\ket{-}$ podem ter fases arbitrárias, que não vão alterar os resultados obtidos mesmo se levadas em conta. Lembre-se que

as fases de $|+\rangle$, $|0\rangle$ e $|-\rangle$ devem ser as mesmas, pois nossa definição de L_z não afeta as fases.

Questão 10

Um mol de um gás ideal monoatômico se encontra a temperatura T e ocupa um volume V. A energia interna por mol de um gás ideal é dada por $u = c_V T$, com c_V sendo o calor específico molar, que é considerado constante. Responda as questões abaixo:

- a) Considere a situação na qual o gás se encontra a uma temperatura T e sofre uma expansão quase-estática reversível na qual o seu volume passa de V para 2V. Calcule o trabalho realizado pelo gás durante a sua expansão.
- b) Ainda com relação ao processo físico descrito no item a), determine o calor trocado pelo gás com o reservatório térmico.
- c) Determine a variação de entropia do gás e do reservatório térmico no processo descrito no item a).
- d) Considere agora a situação em que o gás está isolado e sofre uma expansão livre na qual o seu volume passa de V para 2V. Determine as variações de entropia do gás e do universo durante o processo de expansão livre.

Solução:

a) Sabemos que para o gás ideal, valem as expressões:

$$u = c_V T$$
; $PV = NkT \Rightarrow P = \frac{NkT}{V}$; $\delta Q = \delta W + dU$; sendo, para processos reversíveis: $\delta W = PdV$

Como o gás está em constante contato com o reservatório, sua temperatura é constante durante todo processo, assim, sendo n o número de mols do gás:

$$dT = 0 \Rightarrow dU = 0$$
 já que $U = nc_V T = C_V T \Rightarrow dU = C_V dT$

Portanto, neste processo:

$$\delta Q = \delta W = P dV = \frac{NkT}{V} dV$$

Logo:

$$W_{A\rightarrow B} = W_{V\rightarrow 2V} = \int_A^B \delta W = \int_V^{2V} \frac{NkT}{V} dV = NkT \ln(2)$$

b) Como $\delta Q = \delta W$, temos que:

$$Q_{A\to B} = \int_A^B \delta Q = \int_A^B \delta W = \int_V^{2V} \frac{NkT}{V} \mathrm{d}V = NkT \ln(2) \therefore Q_{A\to B} = W_{A\to B}$$

c) Sabemos que vale a relação, já que T é constante:

$$T dS = \delta Q \Rightarrow \Delta S_g = \int_{S_A}^{S_B} dS = \int_A^B \frac{\delta Q}{T} = \frac{1}{T} \int_A^B \delta Q = \frac{Q_{A \to B}}{T} = \frac{W_{A \to B}}{T} = Nk \ln(2)$$

Esta é a variação de entropia do gás.

Para o reservatório, se chamarmos de $Q'_{A' \to B'}$ o calor cedido pelo reservatório, temos que:

$$Q_{A\rightarrow B} + Q'_{A'\rightarrow B'} = 0 \Rightarrow -Q_{A\rightarrow B} = Q'_{A'\rightarrow B'}$$

Logo, a variação de entropia do reservatório é:

$$\Delta S_r = \int_{S'}^{S'_B} dS = \int_{A'}^{B'} \frac{\delta Q'}{T} = \frac{Q'_{A' \to B'}}{T} = -\frac{Q_{A \to B}}{T} = -\frac{W_{A \to B}}{T} = -Nk \ln(2)$$

Portanto, conforme esperado, para tal processo:

$$\Delta S_{total} = \Delta S_q + \Delta S_r = 0$$

Já que o processo é reversível - em processos reversíveis a entropia total, também chamada de entropia do Universo, é nula.

d) Primeiro devo fazer um aviso: **cuidado!**, nesta questão não podemos utilizar que $\delta Q = \delta W + dU$ para encontrar a entropia, pois o processo **não** é reversível - a primeira lei sempre vale, mas o problema é que $TdS \neq \delta Q$. Seria necessário, nesse caso levar em conta a entropia decorrente do processo irreversível para a igualdade se manter; como no exercício não cita-se nada referente a isso, vamos proceder de outra maneira.

A expansão livre é, por definição, feita num recipiente no qual parte deste 'contém' vácuo. Como não há força contra a qual atuar, o trabalho realizado pelo gás é nulo - já que, por definição, o trabalho é dado pelo produto da força pelo deslocamento, logo $\delta W = 0$. Como nesse caso se realiza a expansão livre num recipiente isolado, $\delta Q = 0$. Devido à conservação da energia, a energia interna não pode variar, assim $dU = 0 \Rightarrow dT = 0$.

Entretanto, como S é função de estado, que só depende dos estados inicial e final do sistema - sendo que, neste caso, ambos processos, tanto o do item a) quanto este, possuem estados termodinâmicos iniciais e finais exatamente iguais, já que T é fixo e os volumes inicial e final são os mesmos em ambos casos - podemos usar um processo reversível para calculá-la. Logo, temos que:

$$\Delta S_{exlivre\;g} = \Delta S_g = \int_{S_A}^{S_B} \mathrm{d}S = \int_A^B \frac{\delta Q}{T} = \frac{1}{T} \int_A^B \delta Q = \frac{Q_{A \to B}}{T} = \frac{W_{A \to B}}{T} = Nk \ln(2)$$

Como o sistema está isolado: $\Delta S_r = 0$

Logo:

 $\Delta S_{total} = \Delta S_r + \Delta S_g = Nk \ln(2)$

Que não é nulo, conforme esperado para processos irreversíveis.

EUF - 2011/2

Questão 8

Seja a função de onda de uma partícula em uma dimensão dada por $\Psi(x,t)$. A densidade de probabilidade $\rho(x,t)$ é definida por $\rho(x,t) \equiv \Psi^*(x,t)\Psi(x,t)$. O valor de $\rho(x,t)$ pode mudar no tempo devido ao fluxo de probabilidade saindo ou entrando na região, que se pode expressar como uma equação de continuidade:

$$\frac{\partial \rho}{\partial t} = -\frac{\partial j}{\partial x}$$

onde j(x,t) é a densidade de corrente de probabilidade.

a) Dada a equação de Schrödinger:

$$i\hbar \frac{\partial \Psi}{\partial t} = \left[-\frac{\hbar^2}{2m} \frac{\partial^2}{\partial x^2} + V(x) \right] \Psi$$

escreva a derivada temporal de $\rho(x,t)$ em tremos de $\Psi(x,t)$ e $\Psi^*(x,t)$ e suas derivadas espaciais.

- b) Obtenha a forma explícita de j(x, t).
- c) Ache a equação relacinando a derivada do valor esperado da posição, $\frac{d\langle x\rangle}{dt}$, com o valor esperado do momento, $\langle p\rangle$. Dica: use integração por partes e assuma que as funções Ψ e sua derivada, $\frac{\partial \Psi}{\partial x}$, vão ao infinito mais rápido do que $\frac{1}{x}$.

Solução:

Antes de começar, vamos tomar nota de algumas coisas:

$$\rho(x, t) \equiv \Psi^*(x, t)\Psi(x, t)$$

$$\frac{\partial \rho}{\partial t} = \frac{\partial}{\partial t} \left[\Psi^*(x,t) \Psi(x,t) \right] = \frac{\partial \Psi^*(x,t)}{\partial t} \Psi(x,t) + \frac{\partial \Psi(x,t)}{\partial t} \Psi^*(x,t); i\hbar \frac{\partial \Psi}{\partial t} = \left[-\frac{\hbar^2}{2m} \frac{\partial^2}{\partial x^2} + V(x) \right] \Psi \Rightarrow -i\hbar \frac{\partial \Psi^*}{\partial t} = \left[-\frac{\hbar^2}{2m} \frac{\partial^2}{\partial x^2} + V(x) \right] \Psi^*$$

Também é bom já saber que:

$$\langle x|P = \frac{\hbar}{i} \frac{\partial}{\partial x}$$

Logo:

$$-\frac{\hbar^2}{2m}\frac{\partial^2}{\partial x^2} + \langle x|V = \langle x|\frac{P^2}{2m} + \langle x|V = \langle x|H \Rightarrow H = \frac{P^2}{2m} + V$$

a) Das expressões acima segue que:

$$\begin{cases} i\hbar\Psi^* \frac{\partial\Psi}{\partial t} = \Psi^* \left[-\frac{\hbar^2}{2m} \frac{\partial^2}{\partial x^2} + V(x) \right] \Psi \\ -i\hbar\Psi \frac{\partial\Psi^*}{\partial t} = \Psi \left[-\frac{\hbar^2}{2m} \frac{\partial^2}{\partial x^2} + V(x) \right] \Psi^* \end{cases}$$

Como já explicitado (exceto pelo fator $i\hbar$):

$$i\hbar \frac{\partial \rho}{\partial t} = i\hbar \left[\frac{\partial \Psi^*}{\partial t} \Psi + \frac{\partial \Psi}{\partial t} \Psi^* \right]$$

Logo:

$$i\hbar\frac{\partial\rho}{\partial t} = \Psi\left(\frac{\hbar^2}{2m}\frac{\partial^2}{\partial x^2} - V(x)\right)\Psi^* + \Psi^*\left(-\frac{\hbar^2}{2m}\frac{\partial^2}{\partial x^2} + V(x)\right)\Psi^* = \Psi\frac{\hbar^2}{2m}\frac{\partial^2\Psi^*}{\partial x^2} - \Psi^*\frac{\hbar^2}{2m}\frac{\partial^2\Psi}{\partial x^2} \Rightarrow \frac{\partial\rho}{\partial t} = \frac{\hbar}{2im}\left(\Psi\frac{\partial^2\Psi^*}{\partial x^2} - \Psi^*\frac{\partial^2\Psi}{\partial x^2}\right)$$

b) Notando que:

$$-\frac{\partial}{\partial x}\left(\Psi^*\frac{\partial\Psi}{\partial x}-\Psi\frac{\partial\Psi^*}{\partial x}\right)=\frac{\partial}{\partial x}\left(\Psi\frac{\partial\Psi^*}{\partial x}-\Psi^*\frac{\partial\Psi}{\partial x}\right)=\Psi\frac{\partial^2\Psi^*}{\partial x^2}-\Psi^*\frac{\partial^2\Psi}{\partial x^2}+\frac{\partial\Psi}{\partial x}\frac{\partial\Psi^*}{\partial x}-\frac{\partial\Psi^*}{\partial x}\frac{\partial\Psi}{\partial x}=\Psi\frac{\partial^2\Psi^*}{\partial x^2}-\Psi^*\frac{\partial^2\Psi}{\partial x^2}$$

Temos:

$$\frac{\partial \rho}{\partial t} = -\frac{\hbar}{2im}\frac{\partial}{\partial x}\left(\Psi^*\frac{\partial \Psi}{\partial x} - \Psi\frac{\partial \Psi^*}{\partial x}\right) = -\frac{\partial}{\partial x}\frac{\hbar}{2im}\left(\Psi^*\frac{\partial \Psi}{\partial x} - \Psi\frac{\partial \Psi^*}{\partial x}\right) = -\frac{\partial j}{\partial x} :: j(x,t) = \frac{\hbar}{2im}\left(\Psi^*\frac{\partial \Psi}{\partial x} - \Psi\frac{\partial \Psi^*}{\partial x}\right)$$

c) Por definição:

$$\frac{\mathrm{d}\langle X\rangle}{\mathrm{d}t} = \frac{\mathrm{d}}{\mathrm{d}t} \left(\int_{-\infty}^{\infty} \Psi^* x \Psi \mathrm{d}x \right) = \left(\int_{-\infty}^{\infty} \frac{\partial \Psi^*}{\partial t} x \Psi \mathrm{d}x \right) + \left(\int_{-\infty}^{\infty} \Psi^* x \frac{\partial \Psi}{\partial t} \mathrm{d}x \right) = \int_{-\infty}^{\infty} x \left(\frac{\partial \Psi^*}{\partial t} \Psi + \Psi^* \frac{\partial \Psi}{\partial t} \right) \mathrm{d}x = \int_{-\infty}^{\infty} x \left(\frac{\partial \rho}{\partial t} \right) \mathrm{d}x$$

$$= -\int_{-\infty}^{\infty} x \frac{\partial}{\partial x} \left[\frac{\hbar}{2im} \left(\Psi^* \frac{\partial \Psi}{\partial x} - \Psi \frac{\partial \Psi^*}{\partial x} \right) \right] dx$$

Fazendo integração por partes, com:

$$U(x) = x \Rightarrow U'(x) = 1$$

$$V'(x) = \frac{\partial j(x,t)}{\partial x} \Rightarrow V(x) = j(x,t) = \frac{\hbar}{2im} \left(\Psi^* \frac{\partial \Psi}{\partial x} - \Psi \frac{\partial \Psi^*}{\partial x} \right)$$

Defe

$$\frac{\mathrm{d}\langle X\rangle}{\mathrm{d}t} = -\int_{-\infty}^{\infty} x \frac{\partial}{\partial x} \left[\frac{\hbar}{2im} \left(\Psi^* \frac{\partial \Psi}{\partial x} - \Psi \frac{\partial \Psi^*}{\partial x} \right) \right] \mathrm{d}x = \int_{-\infty}^{\infty} \frac{\hbar}{2im} \left(\Psi^* \frac{\partial \Psi}{\partial x} - \Psi \frac{\partial \Psi^*}{\partial x} \right) \mathrm{d}x - \left[x \frac{\hbar}{2im} \left(\Psi^* \frac{\partial \Psi}{\partial x} - \Psi \frac{\partial \Psi^*}{\partial x} \right) \right] \Big|_{-\infty}^{\infty}$$

Como o último termo da integração por partes é da ordem $\propto 1/x$ (já que $x\Psi^*\frac{\partial\Psi}{\partial x}\propto x\frac{1}{x}\cdot\frac{1}{x}=\frac{1}{x}$ e o mesmo vale para o complexo conjugado), sua contribuição é nula.

Daí sobra apenas:

$$\frac{1}{2m} \int_{-\infty}^{\infty} \left(\Psi^* \frac{\hbar}{i} \frac{\partial \Psi}{\partial x} - \Psi \frac{\hbar}{i} \frac{\partial \Psi^*}{\partial x} \right) dx = \frac{1}{2m} \left(\langle P \rangle - \int_{-\infty}^{\infty} \Psi \frac{\hbar}{i} \frac{\partial \Psi^*}{\partial x} dx \right)$$

Vamos agora efetuar outra integração por partes, no segundo termo:

$$W(x) = \Psi \Rightarrow W'(x) = \frac{\partial \Psi}{\partial x}$$

$$Z'(x) = \frac{\hbar}{i} \frac{\partial \Psi^*}{\partial x} \Rightarrow Z(x) = \frac{\hbar}{i} \Psi^*$$

Daí, lembrando que termos do tipo $\Psi\Psi^* \propto \frac{1}{x^2}$:

$$-\int_{-\infty}^{\infty} \Psi \frac{\hbar}{i} \frac{\partial \Psi^*}{\partial x} \mathrm{d}x = \int_{-\infty}^{\infty} \Psi^* \frac{\hbar}{i} \frac{\partial \Psi}{\partial x} \mathrm{d}x - \frac{\hbar}{i} \Psi \Psi^* \Big|_{-\infty}^{\infty} = \langle P \rangle$$

já que o segundo termo da integral por partes imediatamente acima é nulo.

Logo:

$$\frac{\mathrm{d}\langle X\rangle}{\mathrm{d}t} = \frac{1}{2m} \left(\langle P \rangle - \int_{-\infty}^{\infty} \Psi \frac{\hbar}{i} \frac{\partial \Psi^*}{\partial x} \mathrm{d}x \right) = \frac{\langle P \rangle}{m}$$

Conforme a física clássica!

Podemos fazer o item c) usando o teorema de Ehrenfest, que relaciona a derivada temporal do valor esperado de um operador quântico A com o comutador desse operador com relação ao hamiltoniano do sistema:

$$\frac{\mathrm{d}}{\mathrm{d}t}\langle A \rangle = \frac{1}{i\hbar}\langle [A, H] \rangle + \left\langle \frac{\partial A}{\partial t} \right\rangle$$

Se o operador A é independente do tempo, o último termo é nulo.

Aplicando o teorema de Ehrenfest para o operador X, temos:

$$\frac{\mathrm{d}}{\mathrm{d}t}\langle X\rangle = \frac{1}{i\hbar}\langle [X,H]\rangle + \left\langle \frac{\partial X}{\partial t} \right\rangle$$

Já que o segundo termo é nulo (pois X é independente do tempo), e, como já explicitado anteriormente, $H=\frac{P^2}{2m}+V$ temos:

$$\frac{\mathrm{d}}{\mathrm{d}t}\langle X\rangle = \frac{1}{i\hbar}\langle [X,H]\rangle = \frac{1}{i\hbar}\left\langle \left[X,\frac{P^2}{2m} + V\right]\right\rangle = \frac{1}{i\hbar}\left\langle \left[X,\frac{P^2}{2m}\right]\right\rangle + \frac{1}{i\hbar}\langle [X,V]\rangle$$

Novamente, o segundo termo é nulo - afinal o potencial depende apenas de $m{x}$, de acordo com o enunciado. Logo:

$$\begin{split} \frac{\mathrm{d}}{\mathrm{d}t}\langle X\rangle &= \frac{1}{i\hbar}\left\langle \left[X,\frac{P^2}{2m}\right]\right\rangle = \frac{1}{2im\hbar}\langle [X,P^2]\rangle = \frac{1}{2im\hbar}\langle XP^2 - P^2X\rangle = \frac{1}{2im\hbar}\langle XPP - PPX\rangle = \frac{1}{2im\hbar}\langle (i\hbar + PX)P - PPX\rangle \\ &= \frac{1}{2im\hbar}\langle (i\hbar + PX)P - PPX\rangle = \frac{1}{2im\hbar}\langle i\hbar P + P(XP - PX)\rangle = \frac{1}{2im\hbar}\langle i\hbar P + P[X,P]\rangle = \frac{1}{2im\hbar}\langle i\hbar P + Pi\hbar\rangle = \frac{1}{2im\hbar}\langle 2i\hbar P\rangle = \frac{\langle P\rangle}{m} \end{split}$$

Já que $[X, P] = i\hbar = XP - PX \Rightarrow XP = i\hbar + PX$. Note que o resultado coincide com o obtido anteriormente.

Questão 9

Seja o seguinte hamiltoniano representativo de um sistema físico:

$$\hat{H} = \hbar \omega_0 (\hat{a}^{\dagger} \hat{a} + 1/2)$$

Os autoestados desse hamiltoniano são denominados $|n\rangle$, são não degenerados e satisfazem a relação $\hat{N}|n\rangle=n|n\rangle$, onde n é um número inteiro e $\hat{N}\equiv\hat{a}^{\dagger}\hat{a}$.

a) Assuma que os os operadores \hat{a} e \hat{a}^{\dagger} obedeçam à relação de comutação $[\hat{a}, \hat{a}^{\dagger}] = 1$. Mostre que os estados $\hat{a}|n\rangle$ e $\hat{a}^{\dagger}|n\rangle$ são autoestados de \hat{N} , usando as relações de comutação. Determine os autovalores correspondentes a estes estados, n' e n'', respectivamente.

b) Dado que todos estados $|n\rangle$ são não degenerados, determine a constante de proporcionalidade entre estes os estados $\hat{a}|n\rangle$ e os estados $|n'\rangle$ encontrados no item a).

Dica: lembre que todos os estados são normalizados. Assuma que o valor esperado do hamiltoniano em qualqueis de seus autoestados seja positivo, $\langle H \rangle \geq 0$, e que $\hat{a}|0\rangle = 0$.

O que se pode concluir sobre o número de estados $|n\rangle$: ele é finito ou infinito?

c) Assuma agora que os operadores \hat{a} e \hat{a}^{\dagger} obedeçam à relação de anticomutação $\{\hat{a},\hat{a}^{\dagger}\}=\hat{a}\hat{a}^{\dagger}+\hat{a}^{\dagger}\hat{a}=1$. Mostre que os estados $\hat{a}|n\rangle$ e $\hat{a}^{\dagger}|n\rangle$ são autoestados de \hat{N} , usando as relações de anticomutação, e determine os valores de n' e n'' correspondentes a estes estados. Dado que todos os estados $|n\rangle$ são não degenerados, determine a constante de proporcionalidade entre os estados $\hat{a}|n\rangle$ e esses estados $|n'\rangle$. Dica: lembre que todos estados são normalizados.

d) Assumindo, como no item c), que os operadores \hat{a} e \hat{a}^{\dagger} obedeçam à relação de anticomutação, que o valor esperado do hamiltoniano em qualqueis de seus autoestados seja positivo, $\langle H \rangle \geq 0$, e que $\hat{a}|0\rangle = 0$, isto implica que o número de estados $|n\rangle$ é finito. Quais são estes únicos estados $|n\rangle$ não nulos nesse caso?

Solução:

a) Como $\hat{N} = \hat{a}^{\dagger} \hat{a}$ e:

$$[\hat{a}, \hat{a}^{\dagger}] = \hat{a}\hat{a}^{\dagger} - \hat{a}^{\dagger}\hat{a} = 1 \Rightarrow \hat{a}^{\dagger}\hat{a} = \hat{a}\hat{a}^{\dagger} - 1$$

Logo:

$$\hat{N}\hat{a}|n\rangle = \hat{a}^{\dagger}\hat{a}\hat{a}|n\rangle = (\hat{a}\hat{a}^{\dagger}-1)\hat{a}|n\rangle = \hat{a}\hat{a}^{\dagger}\hat{a}|n\rangle - \hat{a}|n\rangle = \hat{a}\hat{N}|n\rangle - \hat{a}|n\rangle = n\hat{a}|n\rangle - \hat{a}|n\rangle = (n-1)a|n\rangle$$

Portanto $a|n\rangle$ é autoestado de \hat{N} , com autovalor n'=(n-1).

Como:

$$[\hat{a}, \hat{a}^{\dagger}] = \hat{a}\hat{a}^{\dagger} - \hat{a}^{\dagger}\hat{a} = 1 \Rightarrow \hat{a}\hat{a}^{\dagger} = 1 + \hat{a}^{\dagger}\hat{a}$$

Logo:

$$\hat{N}\hat{a}^{\dagger}|n\rangle = \hat{a}^{\dagger}\hat{a}\hat{a}^{\dagger}|n\rangle = \hat{a}^{\dagger}(\hat{a}^{\dagger}\hat{a}+1)|n\rangle = \hat{a}^{\dagger}\hat{a}^{\dagger}\hat{a}|n\rangle + \hat{a}^{\dagger}|n\rangle = \hat{a}^{\dagger}\hat{N}|n\rangle + \hat{a}^{\dagger}|n\rangle = n\hat{a}^{\dagger}|n\rangle + \hat{a}^{\dagger}|n\rangle = (n+1)a^{\dagger}|n\rangle$$

Portanto $a^{\dagger}|n\rangle$ é autoestado de \hat{N} , com autovalor n''=(n+1) .

b) Conforme o enunciado:

$$\hat{a}^{\dagger}|n\rangle = c_{+}|n'\rangle \Rightarrow (c_{+}|n'\rangle)^{\dagger} = c_{+}^{*}|n'\rangle^{\dagger} = (\hat{a}^{\dagger}|n\rangle)^{\dagger} = \langle n|\hat{a}$$

1-7

Logo:

$$|c_+|^2 = |c_+|^2 \langle n'|n'\rangle = \langle n'|c_+^*c_+|n'\rangle = (c_+^*|n'\rangle^\dagger)c_+|n'\rangle = \langle n|\hat{a}\hat{a}^\dagger|n\rangle = \langle n|1+\hat{a}^\dagger\hat{a}|n\rangle = \langle n|1+\hat{N}|n\rangle = (n+1) \Rightarrow c_+ = \sqrt{n+1}e^{i\varphi}$$

Se escolhermos uma fase nula:

$$c_{+} = \sqrt{n+1}$$

Note que como $|c_+|^2 \ge 0 \Rightarrow n+1 \ge 0 \Rightarrow n \ge -1$.

Também temos:

$$\hat{a}|n\rangle = c_-|n''\rangle \Rightarrow (c_-|n''\rangle)^{\dagger} = c_-^*|n''\rangle^{\dagger} = (\hat{a}|n\rangle)^{\dagger} = \langle n|\hat{a}^{\dagger}|$$

' '

$$|c_-|^2 = |c_-|^2 \langle n^{\prime\prime}|n^{\prime\prime}\rangle = \langle n^{\prime\prime}|c_-^*c_-|n^{\prime\prime}\rangle = (c_-^*|n^{\prime\prime}\rangle^\dagger)c_-|n^{\prime\prime}\rangle = \langle n|\hat{a}^\dagger\hat{a}|n\rangle = \langle n|\hat{N}|n\rangle = n \Rightarrow c_-^\prime = \sqrt{n}e^{i\varphi}$$

Se escolhermos uma fase nula:

$$c_{-} = \sqrt{n}$$

Note que como $|c_-|^2 \ge 0 \Rightarrow n \ge 0$.

Como n é inteiro e não há nenhum limite superior para n temos infinitos estados (um para cada $n \in \mathbb{N}$).

OBSERVAÇÃO: Obtivemos até agora os seguintes resultados:

$$\hat{a}^{\dagger}|n\rangle = \sqrt{n+1}|n'\rangle$$

$$\hat{a}|n\rangle = \sqrt{n}|n''\rangle$$

Não sabemos qual é o valor de n' ou de n''.

Mas sabemos que:

$$\hat{a}^{\dagger}\hat{a}|n\rangle = n|n\rangle = \sqrt{n}\hat{a}^{\dagger}|n''\rangle = \sqrt{(n''+1)n}|n'''\rangle \Rightarrow n''' = n; n = \sqrt{(n''+1)n} \Rightarrow n'' = n-1$$

Logo:

$$\hat{a}\hat{a}^{\dagger}|n\rangle = (1+\hat{a}^{\dagger}\hat{a})|n\rangle = (n+1)|n\rangle = \sqrt{n+1}\hat{a}|n'\rangle = \sqrt{n+1}\sqrt{n'}|n''''\rangle \Rightarrow n'''' = n; \sqrt{n+1}\sqrt{n'} = n+1 \Rightarrow n' = n+1$$

Portanto:

$$\hat{a}^{\dagger}|n\rangle = \sqrt{n+1}|n+1\rangle$$

$$\hat{a}|n\rangle = \sqrt{n}|n-1\rangle$$

Que são os chamados operadores de criação e destruição (ou operadores escada).

Note que, conforme dito no enunciado do exercício:

$$\hat{a}|0\rangle = \sqrt{0}|-1\rangle = 0$$

Note também que, conforme o enunciado:

$$\langle H \rangle = \langle n | \hat{H} | n \rangle = \hbar \omega_0 \langle n | (\hat{a}^\dagger \hat{a} + 1/2) | n \rangle = \hbar \omega_0 \langle n | (n+1/2) | n \rangle = \hbar \omega_0 (n+1/2) \geq 0$$

Já que $n \geq 0$.

c) Conforme o enunciado $\{\hat{a},\hat{a}^{\dagger}\}=1=\hat{a}\hat{a}^{\dagger}+\hat{a}^{\dagger}\hat{a}$. Logo:

$$\hat{a}\hat{a}^{\dagger} = 1 - \hat{a}^{\dagger}\hat{a}$$

$$\hat{a}^{\dagger}\hat{a} = 1 - \hat{a}\hat{a}^{\dagger}$$

Vamos mostrar que, nesse caso, $\hat{a}^{\dagger}|n\rangle$ e $\hat{a}|n\rangle$ são autoestados de \hat{N} :

$$\hat{N}\hat{a}^{\dagger}|n\rangle = \hat{a}^{\dagger}\hat{a}\hat{a}^{\dagger}|n\rangle = \hat{a}^{\dagger}(1-\hat{a}^{\dagger}\hat{a})|n\rangle = \hat{a}^{\dagger}(1-\hat{N})|n\rangle = (1-n)\hat{a}^{\dagger}|n\rangle$$

$$\hat{N}\hat{a}|n\rangle = \hat{a}^{\dagger}\hat{a}\hat{a}|n\rangle = (1 - \hat{a}\hat{a}^{\dagger})\hat{a}|n\rangle = \hat{a}|n\rangle - \hat{a}\hat{a}^{\dagger}\hat{a}|n\rangle = \hat{a}|n\rangle - n\hat{a}|n\rangle = (1 - n)\hat{a}|n\rangle$$

Logo $\hat{a}^{\dagger}|n\rangle$ e $\hat{a}|n\rangle$ são autoestados de \hat{N} , com n'=n''=(1-n).

Conforme o enunciado:

$$\hat{a}^{\dagger}|n\rangle = c_1|n'\rangle \Rightarrow c_1^*|n'\rangle^{\dagger} = \langle n|\hat{a}$$

Logo:

$$|c_1|^2 = |c_1|^2 \langle n'|n' \rangle = \langle n'|\hat{a}\hat{a}^\dagger|n' \rangle = \langle n'|1 - \hat{a}^\dagger\hat{a}|n' \rangle = \langle n'|1 - \hat{N}|n' \rangle = (1-n) \Rightarrow c_1 = \sqrt{1-n}$$

Também temos:

$$\hat{a}|n\rangle = c_2|n'\rangle \Rightarrow c_2^*|n'\rangle^{\dagger} = \langle n|\hat{a}^{\dagger}$$

Logo:

$$|c_2|^2 = |c_2|^2 \langle n'|n' \rangle = \langle n'|\hat{a}^{\dagger}\hat{a}|n' \rangle = \langle n'|\hat{N}|n' \rangle = n \Rightarrow c_2 = \sqrt{n}$$

d) Note que como $|c_1|^2 \ge 0 \Rightarrow (1-n) \ge 0 \Rightarrow n \le 1$.

Note que como $|c_2|^2 \ge 0 \Rightarrow n \ge 0$.

Portanto $n \in \mathbb{N} | n = 0; n = 1$.

OBSERVAÇÃO: Como nota final, sabemos apenas que:

$$\hat{a}^{\dagger}|n\rangle = c_1|n'\rangle = \sqrt{1-n}|n'\rangle$$

$$\hat{a}|n\rangle = c_2|n''\rangle = \sqrt{n}|n''\rangle$$

Mas:

$$\hat{a}^{\dagger}\hat{a}|n\rangle = n|n\rangle = \sqrt{n}\hat{a}^{\dagger}|n''\rangle = \sqrt{n}\sqrt{1-n''}|n'''\rangle \Rightarrow n''' = n; 1-n'' = n \Rightarrow n'' = 1-n$$

E:

$$\hat{a}\hat{a}^{\dagger}|n\rangle = (1-\hat{a}^{\dagger}\hat{a})|n\rangle = (1-n)|n\rangle = \sqrt{1-n}\hat{a}|n'\rangle = \sqrt{1-n}\sqrt{n'}|n''''\rangle \Rightarrow n'''' = n; \ 1-n' = n \Rightarrow n' = 1-n$$

Logo:

$$\hat{a}^{\dagger}|n\rangle = \sqrt{1-n}|1-n\rangle$$

$$\hat{a}|n\rangle = \sqrt{n}|1-n\rangle$$

Veja que, conforme o enunciado:

$$\langle H \rangle = \langle n | \hat{H} | n \rangle = \hbar \omega_0 \langle n | (\hat{a}^{\dagger} \hat{a} + 1/2) | n \rangle = \hbar \omega_0 \langle n | (n+1/2) | n \rangle = \hbar \omega_0 (n+1/2) \geq 0$$

Já que $n \geq 0$.

Como n = 0 ou n = 1, temos que:

$$\hat{a}^{\dagger}|1\rangle = 0|0\rangle; \, \hat{a}^{\dagger}|0\rangle = 1|1\rangle; \, \hat{a}|1\rangle = 1|0\rangle; \, \hat{a}|0\rangle = 0|1\rangle$$

Questão 10

A lei de Stefan-Boltzmann diz que a densidade de energia total do campo eletromagnético dentro de uma cavidade em equilíbrio térmico é dado por:

$$u(T) = aT^4$$

onde a é uma constante.

- a) Podemos derivar a lei de Stefan-Boltzmann usando argumentos termodinâmicos. Sabendo que, em equilíbrio termoidinâmico, a densidade de energia da radiação independe do material que forma as paredes, podemos concluir que qualquer variável extensiva da radiação em uma cavidadedeverá ser proporcional ao volume da cavidade e depender apenas da temperatura. Em particular, a energia interna e a entropia da radiação serão U = u(T)V e S = s(T)V, respectivamente. Podemos usar o eletromagnetismo clássico para calcular a pressão de radiação nas paredes da cavidade. Ela tem a forma de $P = \frac{u(T)}{2}$. Usando essas informações e a primeira da
- eletromagnetismo clássico para calcular a pressão de radiação nas paredes da cavidade. Ela tem a forma de $P=rac{m(1)}{3}$. Usando essas informações e a primeira da termodinâmica, demonstre lei de Stefan-Boltzmann.
- b) Agora obtenha esse resultado usando física estatística, assumindo que a radiação eletromagnética é um gás de fótons.
- 1. Calcule a função de partição, Z, e mostre que o número médio de fótons com energia ϵ_j é e $\beta = \frac{1}{k_B T}$:

$$\bar{n}_j = \frac{1}{\beta} \frac{\partial \ln(Z)}{\partial \epsilon_j} = \frac{1}{e^{\beta \epsilon_j} - 1}$$

2. Obtenha a lei de Stefan-Boltzmann. Você pode usar que o número total de fótons por unidade de volume e freqüência entre $[\omega, \omega + d\omega]$ é dado por:

$$g(\omega)d\omega = \frac{\kappa \omega^2 d\omega}{e^{\beta \epsilon_\omega} - 1}$$

com κ uma constante de unidade apropriada e $\epsilon_{\omega}=\hbar\omega$ é a energia de um fóton.

Solução:

a) Pela primeira lei da termodinâmica - supondo um processo reversível - e como U = Vu(T); $P = \frac{u(T)}{3}$:

$$\delta Q = T dS = dU + P dV = u dV + V du + \frac{u}{3} dV = \frac{4u}{3} dV + V du$$

Como u é só função de T:

$$du = \frac{du}{dT}dT$$

Logo:

$$dS = \frac{4u}{3T}dV + \frac{V}{T}\frac{du}{dT}dT = \left(\frac{\partial S}{\partial V}\right)_T dV + \left(\frac{\partial S}{\partial T}\right)_V dT$$

Portanto:

$$\left(\frac{\partial S}{\partial V}\right)_T = \frac{4u}{3T}; \left(\frac{\partial S}{\partial T}\right)_V = \frac{V}{T} \frac{\mathrm{d}u}{\mathrm{d}T}$$

Através das relações de Maxwell, obtemos a seguinte igualdade:

$$\left(\frac{\partial^2 S}{\partial V \partial T}\right) = \left(\frac{\partial^2 S}{\partial T \partial V}\right) \Rightarrow \frac{1}{T}\frac{\mathrm{d}u}{\mathrm{d}T} = \frac{4}{3T}\frac{\mathrm{d}u}{\mathrm{d}T} - \frac{4u}{3T^2} \Rightarrow \frac{1}{3T}\frac{\mathrm{d}u}{\mathrm{d}T} = \frac{4u}{3T^2} \Rightarrow \frac{\mathrm{d}u}{\mathrm{d}T} = \frac{4u}{T} \Rightarrow \frac{\mathrm{d}u}{u} = 4\frac{\mathrm{d}T}{T}$$

Logo:

$$\frac{\mathrm{d}u}{u} = 4\frac{\mathrm{d}T}{T} \Rightarrow \int \frac{\mathrm{d}u}{u} = 4\int \frac{\mathrm{d}T}{T} \Rightarrow \ln u = 4\ln T + \ln a = \ln(aT^4) \Rightarrow u = aT^4$$

Conforme o enunciado.

)

2. Apenas para fazer uma observação, essa questão é muito parecida com uma questão mais antiga do EUF - a da prova de 2009/2 (http://nerdyard.com/wiki/Solu%C3%A7%C3%B5es_de_Exerc%C3%ADcios:_EUF#Quest.C3.A3o_4_2|) . Na questão mais antiga, as constantes aparecem todas no

problema e κ é um valor numérico dado - naquela ocasião $\kappa = \frac{8\pi h}{c^3} J s^4/m^3$. No fim da questão mais antiga não se obtem a lei de Stefan-Boltzmann exatamente por causa

da constante - Stefan-Boltzmann se refere à distribuição de potência de radiação numa certa área e não à distribuição de energia num certo volume (densidade de energia), como ocorre ao fim da questão da prova 2009/2.

Logo, existem duas maneiras de se resolver a questão e abaixo vem a primeira.

Primeiro, devemos ter ciência que vamos escolher a unidade de uma segunda constante α de forma tal que nosso resultado tenha unidades compatíveis com uma potência por área (W/m^2) .

Logo, como possuímos uma 'densidade de fótons' podemos multiplicar o número de fótons num volume pela energia de cada um deles e obter uma densidade de energia. Vamos multiplicar tudo por α , apenas para compatibilizar as unidades - portanto a unidade de α deve ser de velocidade (m/s):

$$u = \alpha \int_0^\infty \hbar \omega g(\omega) d\omega = \alpha \kappa \int_0^\infty \frac{\hbar \omega^3 d\omega}{e^{\beta \hbar \omega} - 1}$$

Usando a mudança de variável:

$$\omega = \frac{x}{\beta \hbar} \Rightarrow d\omega = \frac{dx}{\beta \hbar}$$

Logo:

$$u = \frac{\alpha \kappa}{\beta^4 \hbar^3} \int_0^\infty \frac{x^3}{e^x - 1} dx; \int_0^\infty \frac{x^3}{e^x - 1} dx = \frac{\pi^4}{15}$$

Assim:

$$u = \frac{\alpha \kappa \pi^4}{15\beta^4 \hbar^3} = \frac{\alpha \kappa (\pi kT)^4}{15\hbar^3} = \sigma T^4$$

Se soubéssemos os valores de $\sigma=\frac{2\pi^5k^4}{15c^2h^3}$ e $\kappa=\frac{8\pi}{c^3}$, poderíamos encontrar o valor de alpha:

$$\sigma = \frac{\alpha \kappa (\pi k)^4}{15\hbar^3} = \frac{2\pi^5 k^4}{15c^2 h^3} \Rightarrow \alpha \kappa = \frac{1}{(2\pi c)^2} \Rightarrow \alpha = 2^5 \pi^3 c = 32\pi^3 c$$

Logo a unidade de α é de velocidade, como já havíamos dito.

EUF 2012/1

Questão 1

Duas esferas ocas, ambas de massa M e raio R, que estão girando em torno do centro de massa (CM) do sistema com período T_0 são mantidas a uma distância $d_0=8R$ uma da outra por um fio ideal que passa pelos respectivos centros, conforme ilustra a figura. Num dado instante um motor, colocado dentro de uma das esferas , começa a enrolar o fio lentamente, aproximando as duas esferas. Considere que o momento de inércia do motor seja desprezível frente o das esferas. Desconsdere os efeitos da gravidade e expresse todos os resultados em termos de M, R e T_0 . Dado: o momento de inércia da casca esférica em relação a um eixo que passa pelo seu centro é $I_0=2MR^2/3$.

- a) Determine o módulo do momento angular desse sistema em relação ao seu centro de massa, antes do motor ser ligado.
- b) Calcule a velocidade angular de rotação, ω_f , no instante em que a esfera encosta-se à outra.
- c) Calcule a variação de energia cinética do sistema até esse instante.
- d) Qual foi o trabalho realizado pelo motor para fazer com que as esferas encostem?

Solução:

a) Como (claramente) o centro de massa será exatamente na metade da distância entre as massas, temos que o momento de inércia de cada uma das esferas em relação ao centro de massa será, pelo teorema dos eixos paralelos:

$$I = M \left(\frac{d_0}{2}\right)^2 + I_0 = 8MR^2 + \frac{2MR^2}{3} = \frac{26MR^2}{3} \Rightarrow I_{tot} = 2I$$

Lembrando que:

$$\omega = \frac{2\pi}{T_0}$$

Logo temos um momento angular total de:

$$L = 2I\omega = \frac{4\pi I}{T_0} = \frac{104\pi MR^2}{3T_0}$$

b) Como o motor não dá momento angular para as esferas (já que tal motor só atua na direção do centro de massa), o momento angular se conserva, de forma que:

$$L_0 = \frac{104\pi MR^2}{3T_0} = \frac{4\pi I}{T_0} = \frac{4\pi I_{novo}}{T} \Rightarrow T = \frac{I_{novo}T_0}{I}$$

O centro de massa será exatamente na metade da distância entre as massas, temos que o 'momento de inércia novo' de cada uma das esferas em relação ao centro de massa será, pelo teorema dos eixos paralelos:

$$I_{novo} = MR^2 + I_0 = MR^2 + \frac{2MR^2}{3} = \frac{5MR^2}{3} \Rightarrow I_{totnovo} = 2I_{novo}$$

De forma que:

$$T = \frac{I_{novo}T_0}{I} = \frac{5}{26}T_0 \Rightarrow \omega_f = \frac{2\pi}{T} = \frac{52\pi}{5T_0}$$

Questão 4

Considere um elétron que se encontra confinado dentro de um poço de potencial unidimensional V(x) dado por:

$$V(x) = \begin{cases} \infty; & x < 0 \\ 0; & 0 \le x \le d \\ \infty; & x > d \end{cases}$$

a) Escreva a equação de Schrödinger para este elétron e as condições de contorno que devem ser satisfeitas pelas funções de onda.

b) Obtenha as funções de onda normalizadas e determine os valores das energias permitidas para este elétron.

Admita agora que este elétron se encontre no estado quântico cuja função de onda dentro do poço é dada por:

$$\psi(x) = \sqrt{\frac{2}{d}} sen\left(\frac{3\pi x}{d}\right)$$

c) Determine o número quântico n do estado ocupado por este elétrone seu comprimento de onda nesse estado.

d) Determine a probabilidade de encontrar este elétron entre x = 0 e x = d/6.

Solução:

a) Como o potencial é infinito fora da região confinada (sendo a região confinada definida por x tal que $x \in [0, d]$), não há função de onda. Logo:

$$\psi(x) = 0$$
 para $x < 0$ e para $x > d$

Para a região confinada ($x \in [0, d]$) vale a 'equação de Schrödinger independente do tempo':

$$-\frac{\hbar^2}{2m}\frac{\mathrm{d}^2\psi(x)}{\mathrm{d}x^2} = E\psi(x) \Rightarrow \frac{\mathrm{d}^2\psi(x)}{\mathrm{d}x^2} + \frac{2mE}{\hbar^2}\psi(x) = 0$$

Já vou definir k para destacar a semelhança dessa equação com a equação do oscilador harmônico:

$$\frac{\mathrm{d}^2\psi(x)}{\mathrm{d}x^2} + k^2\psi(x) = 0; \text{ com } k^2 \equiv \frac{2mE}{\hbar^2}$$

Sendo que $\psi(x)$ deve cumprir às condições de contorno $\psi(0) = 0$ e $\psi(d) = 0$ nessa região.

b) Ansatz:

De fato:

$$\psi(x) = Asen(kx)$$

$$-k^2 A sen(kx) + k^2 A sen(kx) = 0$$

Note que $\psi(0) = Asen(k0) = 0$, cumprindo a primeira condição de contorno. Para cumprir a segunda condição de contorno:

$$\psi(d) = Asen(kd) = 0$$

os valores de k devem ser tais que:

$$k = \frac{n\pi}{d} \operatorname{com} n \in \mathbb{Z}$$

$$\psi(x) = Asen\left(\frac{n\pi x}{d}\right)$$

Aplicando a condição de normalização:

$$\int_{0}^{d} |\psi(x)|^{2} dx = 1 = \int_{0}^{d} A^{2} sen^{2} \left(\frac{n\pi x}{d}\right) dx = A^{2} \left(\frac{x}{2}\Big|_{0}^{d} - \frac{sen\left(\frac{2n\pi x}{d}\right)}{\frac{4n\pi}{d}}\Big|_{0}^{d}\right) = A^{2} \frac{d}{2} = 1 \Rightarrow A = \sqrt{\frac{2}{d}}$$

[000.

Assim:

$$\psi(x) = \sqrt{\frac{2}{d}} sen\left(\frac{n\pi x}{d}\right)$$

Sendo
$$E = \frac{\hbar^2 k^2}{2m} = \frac{\hbar^2 n^2 \pi^2}{2md^2}$$

c) Como:

$$\lambda = \frac{2\pi}{k}$$

Vemos que:

$$\lambda = \frac{2\pi d}{3\pi} = \frac{2d}{3}$$

Por inspeção, vê-se que n = 3.

d) Batizando essa probabilidade de $P_{0-d/6}$, temos:

$$P_{0-d/6} = \int_0^{d/6} |\psi(x)|^2 dx = \frac{2}{d} \int_0^{d/6} sen^2 \left(\frac{3\pi x}{d}\right) dx dx = \frac{2}{d} \left(\frac{x}{2}\Big|_0^{d/6} - \frac{sen\left(\frac{6\pi x}{d}\right)}{\frac{12\pi}{d}}\Big|_0^{d/6}\right) = \frac{2}{d} \left(\frac{d}{6} - 0\right) = \frac{1}{3} \approx 0,333\%$$

Formulário

Toda prova vem com um formulário. É *muito* importante consultá-lo, pois ele é o melhor caminho - caso você não se lembre de tudo - de abreviar as contas. Vou escrever o formulário da forma na qual ele se encontra na prova - exceto pelas observações entre chaves.

Constantes Físicas

Velocidade da luz no vácuo: $c \approx 3, 0 \cdot 10^8 \, m/s$

Constante de Planck: $h \approx 6.63 \cdot 10^{-34} \, J \, s \approx 4.14 \cdot 10^{-15} \, eV \, s$

'h c': $hc \approx 1240 eV \, nm$ Constante de Wien: $W \approx 2,898 \cdot 10^{-3} K \, m$

Permeabilidade Magnética do vácuo: $\mu_0 = 4\pi \cdot 10^{-7} N/A^2 \approx 12, 6 \cdot 10^{-7} N/A^2$

Permissividade Elétrica do vácuo: $\epsilon_0 = \frac{1}{\mu_0 c^2} \approx 8,85 \cdot 10^{-12} F/m$

Constante Elétrica: $\frac{1}{4\pi\epsilon_0} \approx 8,89 \cdot 10^9 N \, m^2/C^2$

Constante Gravitacional: $G \approx 6,67 \cdot 10^{-11} N \, m^2 / Kg^2$

Carga Elétrica: $e \approx 1,60 \cdot 10^{-19}C$

Massa do Elétron: $m_e \approx 9, 11 \cdot 10^{-31} Kg \approx 511 KeV/c^2$

Comprimento de Onda Compton: $\lambda_C \approx 2,43 \cdot 10^{-12} m$

Massa do Próton: $m_p \approx 1,673 \cdot 10^{-27} Kg \approx 938 MeV/c^2$ Massa do Nêutron: $m_n \approx 1,675 \cdot 10^{-27} Kg \approx 940 MeV/c^2$ Massa do Deuteron: $m_d \approx 3,344 \cdot 10^{-27} Kg \approx 1876 MeV/c^2$ Massa da Partícula α : $m_{\alpha} \approx 6,645 \cdot 10^{-27} Kg \approx 3727 MeV/c^2$

Constante de Rydberg: $R_H \approx 1, 10 \cdot 10^7 m^{-1}$ 'Rhc': $R_H hc \approx 13, 6 \ eV$ Raio de Bohr: $a_0 \approx 5, 29 \cdot 10^{-11} m$ Constante de Avogrado: $N_A \approx 6, 02 \cdot 10^{23} \ mol^{-1}$

Constante de Boltzmann: $k_B \approx 1,38 \cdot 10^{-23} \, J/K \approx 8,62 \cdot 10^{-5} \, eV/K$

Constante Molar dos Gases: $R \approx 8,31 \cdot J \, mol^{-1} K^{-1}$ Constante de Stefan-Boltzmann: $\sigma \approx 5,67 \cdot 10^{-8} \, Wm^{-2} K^{-4}$

Raio do Sol: $R_{\odot} \approx 6,96 \cdot 10^8 \, m$ Massa do Sol: $m_{\odot} \approx 1,99 \cdot 10^{30} \, Kg$ Raio da Terra: $R_{\oplus} \approx 6,37 \cdot 10^6 \, m$ Massa da Terra: $m_{\oplus} \approx 5,98 \cdot 10^{24} \, Kg$ Distância Sol-Terra: $1 \, UA \approx 1,50 \cdot 10^{11} \, m$

Conversão de Joule para erg: $1 J = 10^7 erg$

Conversão de elétron-volts para Joule: $1 eV \approx 1,60 \cdot 10^{-19} J$

Constantes Numéricas

 $\pi \approx 3,142$ $\ln(3) \approx 1,099$ $\ln(5) \approx 1,609$ $\ln(10) \approx 2,303$

 $\log_{10}e \approx 0,434$ $\cos(30^\circ) = \cos(\pi/6) = \sqrt{3}/2 \approx 0,866$

 $ln(2) \approx 0,693$ $sen(30^\circ) = sen(\pi/6) = 1/2$

Mecânica Clássica

$$\vec{L} = \vec{r} \times \vec{p}$$
 $\frac{d\vec{L}}{dt} = \vec{r} \times \vec{F}$ $L_i = \sum_j I_{ij} \omega_j$ $T_R = \frac{1}{2} \sum_{ij} I_{ij} \omega_i \omega_j$ $I = \int r^2 dm$

$$\vec{r} = r\hat{e}_r \qquad \qquad \vec{v} = \dot{r}\hat{e}_r + r\dot{\theta}\hat{e}_\theta \qquad \qquad \vec{a} = \left(\ddot{r} - r\dot{\theta}^2\right)\hat{e}_r + \left(r\ddot{\theta} + 2\dot{r}\dot{\theta}\right)\hat{e}_\theta$$

$$\vec{r} = \rho \hat{e}_{\rho} + z \hat{e}_{z} \qquad \vec{v} = \dot{\rho} \hat{e}_{\rho} + \rho \dot{\varphi} \hat{e}_{\varphi} + \dot{z} \hat{e}_{z} \qquad \vec{a} = \left(\ddot{\rho} - \rho \dot{\varphi}^{2} \right) \hat{e}_{\rho} + \left(\rho \ddot{\varphi} + 2 \dot{\rho} \dot{\varphi} \right) \hat{e}_{\theta} + \ddot{z} \hat{e}_{z}$$

$$\vec{r} = r\hat{e}_r \qquad \qquad \vec{v} = \dot{r}\hat{e}_r + r\dot{\theta}\hat{e}_\theta + r\dot{\varphi}sen(\theta)\hat{e}_\varphi \qquad \vec{a} = \left(\ddot{r} - r\dot{\theta}^2 - r\dot{\varphi}^2sen^2(\theta)\right)\hat{e}_r + \left(r\ddot{\theta} + 2\dot{r}\dot{\theta} - r\dot{\varphi}^2sen(\theta)cos(\theta)\right)\hat{e}_\theta + \left(r\ddot{\varphi}sen(\theta) + 2\dot{r}\dot{\varphi}sen(\theta) + 2\dot{r}\dot{\varphi}sen(\theta) + 2\dot{r}\dot{\varphi}sen(\theta)\right)\hat{e}_\theta + \left(r\ddot{\varphi}sen(\theta) + 2\dot{r}\dot{\varphi}sen(\theta)\right)\hat{e}_\theta + \left(r\ddot{\varphi}sen(\theta)$$

$$E = \frac{m\dot{r}^2}{2} + \frac{L^2}{2mr^2} + V(r) \qquad \qquad \dot{\theta} = \frac{L}{mr^2} \qquad \qquad V(r) = -\int_{r_0}^r F(r') dr' \qquad \qquad V_{ef}(r) = V(r) + \frac{L^2}{2mr^2}$$

$$\int_{R_0}^{R} \frac{dr}{\sqrt{E - V(r) - \frac{L^2}{2mr^2}}} = \sqrt{2}m(t - t_0) \qquad \qquad \frac{d^2u}{d\theta^2} + u = -\frac{m}{L^2u^2}F(1/u) \qquad \qquad \left(\frac{du}{d\theta}\right)^2 + u^2 = \frac{2m}{L^2}[E - V(1/u)]$$

$$\frac{d}{dt} \left(\frac{\partial L}{\partial \dot{q}_k}\right) - \frac{\partial L}{\partial q_k} = 0 \qquad \qquad \frac{d}{dt} \left(\frac{\partial T}{\partial \dot{q}_k}\right) - \frac{\partial T}{\partial q_k} = Q_k \qquad \qquad Q_k = \sum_{i=1}^{N} F_{ix} \frac{\partial x_i}{\partial q_k} + F_{iy} \frac{\partial y_i}{\partial q_k} + F_{iz} \frac{\partial z_i}{\partial q_k} \qquad \qquad Q_k = \frac{\partial V}{\partial q_k} \qquad \qquad L = T - V$$

$$H = \sum_{i=1}^{T} p_k \dot{q}_k - L \qquad \qquad \dot{q}_k = \frac{\partial H}{\partial p_k} \qquad \qquad \dot{p}_k = -\frac{\partial H}{\partial q_k} \qquad \qquad \frac{\partial H}{\partial t} = -\frac{\partial L}{\partial t}$$

Lei de Newton no sistema girante de coordenadas:

$$\left(\frac{\mathrm{d}^2 r}{\mathrm{d}t^2}\right)_{rot} = \left(\frac{\mathrm{d}^2 r}{\mathrm{d}t^2}\right)_{fixo} - 2\vec{\omega} \times \vec{v'} - \vec{\omega} \times (\vec{\omega} \times \vec{r}) - \vec{\dot{\omega}} \times \vec{r}$$

Eletromagnetismo

$$\oint \vec{E} \cdot d\vec{l} + \frac{\partial}{\partial t} \int \vec{B} \cdot d\vec{S} = 0 \qquad \oint \vec{D} \cdot d\vec{S} = Q = \int \rho dV \qquad \oint \vec{H} \cdot d\vec{l} - \frac{\partial}{\partial t} \int \vec{D} \cdot d\vec{S} = I = \int \vec{J} \cdot d\vec{S}$$

$$\vec{\nabla} \times \vec{E} + \frac{\partial \vec{B}}{\partial t} = 0 \qquad \vec{\nabla} \cdot \vec{B} = 0 \qquad \vec{\nabla} \cdot \vec{D} = 0 \qquad \vec{\nabla} \times \vec{H} - \frac{\partial \vec{D}}{\partial t} = \vec{J}$$

Obtida de "http://nerdyard.com/wiki/Solu%C3%A7%C3%B5es_de_Exerc%C3%ADcios:_EUF"